



**PONTIFICIA UNIVERSIDAD CATÓLICA DEL ECUADOR
FACULTAD DE INGENIERÍA**

Trabajo de Titulación como requisito previo para la obtención del título de
Magíster en Tecnologías de Información mención Gestión y Administración de TI

**Análisis de los requisitos para una plataforma HPC (High Performance Computing),
características, beneficios y campos de aplicación.**

Autor: Álvaro Paúl Carrera Carriel

Director: Santiago Silva Proaño

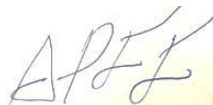
Quito, 2023.

PONTIFICIA UNIVERSIDAD CATÓLICA DEL ECUADOR

DECLARACIÓN Y AUTORIZACIÓN

YO, ALVARO PAUL CARRERA CARRIEL, con C.I. 091961912-2, autor del trabajo de titulación “Análisis de los requisitos para una plataforma HPC (High Performance Computing), características, beneficios y campos de aplicación.”. En mi carácter de estudiante de maestría, declaro y autorizo revisar el presente trabajo de titulación.

También, autorizo a la Pontificia Universidad Católica del Ecuador a conservar una copia de la tesis en su repositorio de la biblioteca de la PUCE, con la finalidad de proporcionar el conocimiento adquirido hacia los demás estudiantes, profesores y personal de interés.



ALVARO PAUL CARRERA CARRIEL

0919619122

APROBACIÓN DEL TUTOR

En mi carácter de Director (a) – Tutor (a) del Trabajo de Posgrado Titulado: **“Análisis de los requisitos para una plataforma HPC (High Performance Computing), características, beneficios y campos de aplicación”**, presentado por el maestrante **ÁLVARO PAÚL CARRERA CARRIEL**, titular de la Cédula de Identidad N.º 0919619122 para optar al Grado de Magíster en Educación mención gestión del aprendizaje mediado por TIC, considero que dicho Trabajo de Investigación reúne los requisitos y méritos suficientes para ser sometido a la evaluación por parte de los Lectores – Evaluadores que se designen para tal fin por parte de las autoridades de la Facultad de Ciencias de la Educación.

En la ciudad de Quito, a los ... días de ...de 202...

Santiago David Silva Proaño C.I. 171481593-1

ssilva068@puce.edu.ec

NRO TELEFONO: 0992388692

NOTA:

Se comunica que en el servicio de análisis Turnitin, el referido trabajo de titulación alcanzó el siguiente resultado: ... % índice de similitud con otras fuentes.

TURNITIN: INCLUIR HOJA DEL INFORME CON EL PORCENTAJE

Tesis HPC

ORIGINALITY REPORT

6%

SIMILARITY INDEX

6%

INTERNET SOURCES

1%

PUBLICATIONS

1%

STUDENT PAPERS

PRIMARY SOURCES

1

www.coursehero.com

Internet Source

1%

2

community.rstudio.com

Internet Source

<1%

3

groups.io

Internet Source

<1%

4

gitlab.rc.uab.edu

Internet Source

<1%

5

repositorio.puce.edu.ec

Internet Source

<1%

6

Submitted to Pontificia Universidad Catolica
del Ecuador - PUCE

Student Paper

<1%

7

Submitted to Universidad Carlos III de Madrid

Student Paper

<1%

8

www.renata.edu.co

Internet Source

<1%

9

sizin.tistory.com


Internet Source

<1%

DECLARACIÓN DE AUTENTICIDAD Y RESPONSABILIDAD

Yo, Álvaro Paul Carrera Carriel, como correspondiente autor del trabajo de titulación titulado “Análisis de los requisitos para una plataforma HPC (High Performance Computing), características, beneficios y campos de aplicación” presentado para optar por el grado de Magister en Tecnologías de la Información mención Gestión y Administración de TI, procedo con la siguiente declaración de autenticidad y responsabilidad:

1. Declaro que el presente trabajo de titulación goza como resultado de investigación propia y esfuerzo dedicado. Los conceptos, trabajo práctico, análisis, resultados y conclusiones planteados en el presente documento son de mi autoría, salvo cuando se indique lo contrario en una referencia conveniente con su correspondiente fuente de cita.
2. También, declaro que este trabajo de titulación es original dado que ha sido desarrollado con ética y respeto de los principios de integridad académica. Las referencias, citas, documentos o herramientas informáticas utilizadas de otras fuentes poseen su debido reconocimiento siguiendo las normas establecidas por la institución.
3. Por consiguiente, he procedido con ética bajo los principios de integridad académica para el desarrollo del trabajo de titulación, conservando siempre una honestidad intelectual con estricto parámetro científico a lo largo del transcurso proceso investigativo.



ALVARO PAUL CARRERA CARRIEL

DEDICATORIA

Dedico este trabajo de titulación a Dios, por otorgarme el don de la vida.

A mis profesores de maestría y tutor de tesis por su paciencia y dedicación altruista en impartir su conocimiento académico a lo largo de este proceso de trabajo de titulación.

A mis padres Rosa Carriel y Rafael Carrera por brindarme su apoyo incondicional y aconsejarme en mis momentos duros de todo mi tiempo de vida.

A mis hermanos Karina, Rafael y Zulina por su ejemplo de lucha y perseverancia ante las adversidades presentadas en un país extranjero.

Álvaro Paul Carrera Carriel

ÍNDICE DE CONTENIDOS

INTRODUCCIÓN	13
CAPÍTULO I: PLANTEAMIENTO DEL PROBLEMA	15
1.1. Formulación del problema	15
1.2. Objetivos de la Investigación.....	16
1.2.1. <i>Objetivo General</i>	16
1.2.2. <i>Objetivos Específicos</i>	16
1.3. Justificación de la Investigación	17
CAPÍTULO II: FUNDAMENTACIÓN TEÓRICA.....	18
2.1. Antecedentes de la Investigación.....	18
2.2. High Performance Computing (HPC).....	19
2.2.1 Que es High Performance Computing.....	19
2.2.2. Características HPC.....	20
2.2.3. Beneficios	22
2.2.4. Campos de Aplicación.....	23
2.2.5. HPC en Latinoamérica	25
2.2.6. Top 500.....	26
2.3. Clúster HPC	28
2.3.1. Open HPC.....	29
2.3.2. Ganglia Monitoring System	29
2.4. Virtualización HPC.....	30

2.5.	Paralelización de Cómputo HPC	32
2.5.1.	Concurrencia y Paralelización de algoritmos	32
2.5.2.	Punto Flotante HPC, Número Pi y RStudio	33
CAPÍTULO III: METODOLOGÍA		35
3.1.	Tipo de Investigación.....	35
3.2.	Fases del Análisis de la plataforma HPC.....	35
3.2.1.	Instalación de componentes y construcción del clúster virtualizado	35
3.2.2.	Ejecución del programa de aproximación del número pi con sus respectivas pruebas	35
3.3.	Posibles Limitaciones	35
3.4.	Herramientas de Apoyo para el Análisis	36
3.5.	Métodos de Validación	36
CAPÍTULO IV: PRESENTACIÓN Y ANÁLISIS DE LA PLATAFORMA.....		37
4.1.	Propuesta de la Arquitectura del Clúster HPC.....	37
4.1.1.	Especificación de características del Cluster.....	37
4.1.2.	Clúster Virtualizado	38
4.1.3.	Instalación del Clúster OpenHPC.....	40
4.1.4.	Script de aproximación del número Pi	56
4.2.	Presentación de la Plataforma HPC y entorno del script del <i>número Pi</i>	57
4.2.1.	Ganglia Monitoring para OpenHPC.....	57
4.2.2.	Script de aproximación del número pi en RStudio Server	62
4.3.	Análisis de Desempeño y Pruebas de la Plataforma HPC.....	63
4.3.1.	Ejecución del Script del número Pi	63
4.3.2.	Análisis de Desempeño del Clúster.....	66
4.3.3.	Análisis de métricas de desempeño de carga única del nodo master	68

CAPÍTULO V: ANÁLISIS DE RESULTADOS	75
5.1. Reporte de Carga	75
5.2. Espacio libre en Almacenamiento	75
5.3. Velocidad de Procesamiento.....	76
5.4. Reporte de Memoria	77
5.5. Reporte de Red.....	78
5.6. Reporte de Paquetes.....	79
CONCLUSIONES Y RECOMENDACIONES	81
Conclusiones	81
Recomendaciones	83
TRABAJOS A FUTURO	84
REFERENCIAS.....	85
ANEXOS	88
ANEXO 1. Instalación del SO CentOS 7 en vmWARE Workstation Pro 17	88
ANEXO 2. Instalación y Configuración de OpenHPC.....	94
ANEXO 3. Configuración de los nodos C1 y C2	118
ANEXO 4. Instalación y Configuración de RStudio Server.....	124

ÍNDICE DE TABLAS

Tabla 1 Beneficios de HPC.....	22
Tabla 2 Campos de Aplicación de la HPC.....	24
Tabla 3 Top 5 Mejores Supercomputadoras	27
Tabla 4 Características de Virtualización HPC.....	31
Tabla 5 Características del Cluster.....	38
Tabla 6 Softwares de Apertura.....	38
Tabla 7 Aplicaciones Operacionales para HPC	39
Tabla 8 Script Aproximación <i>Número Pi</i>	57
Tabla 9 Librería Paralela Mclapply	64
Tabla 10 Resumen de Variables y Funciones	64
Tabla 11 Resumen de Ejecución de la Simulación del número pi.....	65

ÍNDICE DE GRÁFICOS

Gráfico 1 Funcionamiento de Arquitectura HPC.....	20
Gráfico 2 Niveles de Computación Paralela	21
Gráfico 3 Laboratorio de innovación de HPC e IA de Dell Technologies	21
Gráfico 4 Uso de Recursos de un Sistema HPC	22
Gráfico 5 Beneficio de Desempeño del Cluster.....	23
Gráfico 6 Empresas Miembros de la Comunidad OpenHPC.....	25
Gráfico 7 Descripción de Arquitectura de Clúster Físico	28
Gráfico 8 Diagrama de Gobernanza de Proyecto OpenHPC	29
Gráfico 9 Acceso al funcionamiento del Sistema Ganglia	30
Gráfico 10 Diagrama de Arquitectura para vHPC	32
Gráfico 11 Arquitectura del Clúster.....	37
Gráfico 12 Vista general del Cluster Virtualizado.....	39
Gráfico 13 Acceso SSH al Host Master.....	40
Gráfico 14 Registro del Host Master	40
Gráfico 15 Registro de Nodos Master, C1 y C2	41
Gráfico 16 Desactivación del Firewall.....	41
Gráfico 17 Actualización del SO CentOS 7.....	42
Gráfico 18 Instalación de OpenHPC en el Host Master	43
Gráfico 19 Aprovisionamiento de OpenHPC en el Host Master	44
Gráfico 20 Habilitación del Servicio NTP.....	44
Gráfico 21 Gestión de Recursos Host Master	45
Gráfico 22 Configuración de Interfaz de Red del Host Master	45
Gráfico 23 Habilitación de Aprovisionamiento	46
Gráfico 24 Iniciación de BD MariaDB	46
Gráfico 25 Adición de Servidor NTP en Host Master	47
Gráfico 26 Instalación de Paquetes de Ganglia en Host Master	47
Gráfico 27 Instalación Demonios de Ganglia en Host Master.....	48
Gráfico 28 Habilitación de los Servicios de Ganglia en Grid TesisMaster	49
Gráfico 29 Instalación de Clustershell en Host Master.....	50
Gráfico 30 Registro de los Nodos C1 y C2.....	50

Gráfico 31	Nodos de Aprovisionamiento C1 y C2	51
Gráfico 32	Registro de Nodos de Aprovisionamiento	51
Gráfico 33	Acceso a Ganglia C1 y C2.....	52
Gráfico 34	Nombre del Clúster OpenHPC	52
Gráfico 35	Vista Parámetro udp_send_channel.....	53
Gráfico 36	Vista Parámetro udp_recv_channel	53
Gráfico 37	Vista Parámetro tcp_accept_channel.....	53
Gráfico 38	Activación Démonio Gmond en C1 y C2.....	54
Gráfico 39	Instalación de R en Host Master	55
Gráfico 40	Descarga de RStudio Server en Host Master.....	55
Gráfico 41	Instalación de RStudio Server en Host Master	56
Gráfico 42	Estado Activo de RStudio Server	56
Gráfico 43	Reporte del Grid TesisMaster	58
Gráfico 44	Reporte de CPU y Red.....	59
Gráfico 45	Reporte de OpenHPC.....	59
Gráfico 46	Carga Promedio del Grid TesisMaster.....	60
Gráfico 47	Promedio de Carga de OpenHPC	61
Gráfico 48	Métricas de Open HPC	62
Gráfico 49	Entorno RStudio Server	63
Gráfico 50	Ejecución de mclapply en terminal CentOS	64
Gráfico 51	Resultado de Simulación del número pi en RStudio Server.....	65
Gráfico 52	Análisis General de Carga del Grid TesisMaster.....	66
Gráfico 53	Distribución de carga del servidor	67
Gráfico 54	Nodos agrupados de carga única	67
Gráfico 55	Resumen de Carga del Nodo Master	68
Gráfico 56	Contexto CPU	69
Gráfico 57	Inactividad de Procesos del CPU.....	69
Gráfico 58	Uso de carga del sistema del CPU.....	70
Gráfico 59	Carga de multicpu al sistema	70
Gráfico 60	Multicpu a nivel de sistema	71
Gráfico 61	Espacio usado en el disco	71

Gráfico 62 Espacio Total del disco	72
Gráfico 63 Memoria Cache.....	72
Gráfico 64 Memoria Disponible	73
Gráfico 65 Bytes enviados y recibidos	73
Gráfico 66 Paquetes enviados y recibidos	74
Gráfico 67 Total de procesos y de ejecución	74
Gráfico 68 Reporte de Carga	75
Gráfico 69 Almacenamiento libre.....	76
Gráfico 70 Velocidad del CPU	77
Gráfico 71 Reporte de Memoria	78
Gráfico 72 Reporte de Red.....	79
Gráfico 73 Reporte de Paquetes.....	80
Gráfico 74 Creación de Nodos Virtuales	88
Gráfico 75 Nombre del Nodo Virtual	89
Gráfico 76 Información del Nuevo Nodo Virtual.....	90
Gráfico 77 Página de Bienvenida CentOS 7	91
Gráfico 78 Encendido de Tarjeta de Red	91
Gráfico 79 Resumen Instalación CentOS 7	92
Gráfico 80 Configuración de CentOS 7.....	93
Gráfico 81 Selección de versión OpenHPC	94
Gráfico 82 Selección de Versión de Arquitectura de SO.....	95
Gráfico 83 Acceso SSH al Nodo Master	95
Gráfico 84 Registro del Nodo Master	96
Gráfico 85 Registro de Nodos Computo C1 y C2	96
Gráfico 86 Deshabilitación del Firewall	97
Gráfico 87 Actualización del SO CentOS 7.....	97
Gráfico 88 Instalación de OpenHPC en el Nodo Master	98
Gráfico 89 Instalación de Aprovisionamiento de OpenHPC	99
Gráfico 90 Habilidadación del Servicio NTP	99
Gráfico 91 Instalación de Gestión de Recursos	100
Gráfico 92 Configuración de Interfaz de Red	100

Gráfico 93 Restauración y Habilitación de Aprovisionamiento	101
Gráfico 94 Construcción de Imagen CHROOT	102
Gráfico 95 Instalación Dependencias de OpenHPC	103
Gráfico 96 Instalación Paquete Slurm	104
Gráfico 97 Instalación del Kernel	104
Gráfico 98 Instalación de Módulos de Usuario	105
Gráfico 99 Iniciación de BD y Credenciales	105
Gráfico 100 Incorporación de Cliente NFS	106
Gráfico 101 Creación del Servidor NFS	106
Gráfico 102 Adición de Servidor NTP	107
Gráfico 103 Configuración del Script Perl	108
Gráfico 104 Servidor NFS para Memoria.....	109
Gráfico 105 Habilitación de Registros del Sistema	109
Gráfico 106 instalación de Paquetes de Ganglia.....	110
Gráfico 107 Instalación de los Demonios de Ganglia.....	110
Gráfico 108 Habilitación de los Servicios de Ganglia.....	111
Gráfico 109 Instalación de Clustershell.....	112
Gráfico 110 Archivos de Credenciales de Usuario.....	112
Gráfico 111 Actualización del Kernel	113
Gráfico 112 Imagen de Archivo VNFS	114
Gráfico 113 Configuración de Interfaz de Aprovisionamiento	114
Gráfico 114 Adición de los Nodos Computo.....	115
Gráfico 115 Lista de Nodos de Aprovisionamiento.....	115
Gráfico 116 Vista de Nodos de Aprovisionamiento	116
Gráfico 117 Creación de Usuario de Prueba.....	116
Gráfico 118 Instalación de Compiladores.....	117
Gráfico 119 Compilación de Prueba Test	117
Gráfico 120 Acceso SSH al nodo C1.....	118
Gráfico 121 Actualización del SO en C1	119
Gráfico 122 Registro de Nodos en C1	119
Gráfico 123 Deshabilitación de Firewall en C1	120

Gráfico 124	Instalación Démonio Gmond en C1.....	120
Gráfico 125	Ingreso al directorio de Ganglia.....	121
Gráfico 126	Nombre del Clúster.....	121
Gráfico 127	Configuración Parámetro udp_send_channel	122
Gráfico 128	Configuración Parámetro udp_recv_channel.....	122
Gráfico 129	Configuración Parámetro tcp_accept_channel	122
Gráfico 130	Activación Démonio Gmond en C1.....	123
Gráfico 131	Actualización SO CentOS 7	124
Gráfico 132	Instalación de R	125
Gráfico 133	Descarga de RStudio Server	126
Gráfico 134	Instalación de RStudio Server.....	126
Gráfico 135	Estado de RStudio Server	127
Gráfico 136	Descarga de Herramientas de R.....	128
Gráfico 137	Página Ingreso a RStudio Server	128

PONTIFICIA UNIVERSIDAD CATÓLICA DEL ECUADOR
FACULTAD DE INGENIERÍA
MAESTRIA EN TECNOLOGÍAS DE LA INFORMACIÓN MENCIÓN GESTIÓN
Y ADMINISTRACIÓN DE TI

**Análisis de los requisitos para una plataforma HPC (High Performance Computing),
características, beneficios y campos de aplicación.**

Autor: Álvaro Paul Carrera Carriel

Director -Tutor: Santiago Silva P.

Fecha: 30 de agosto de 2023

RESUMEN

En la medida que los datos se incrementan a nivel exponencial, la necesidad de resolver problemas complejos requiere de cómputo masivo. Considerando esta situación, la HPC (por sus siglas en ingles High Performance Computing) facilita el procesamiento de grandes volúmenes de datos, de una forma más veloz que una computadora convencional. Las soluciones HPC ejecutan grandes modelos de cálculos analíticos en infraestructuras que alojan supercomputadoras para emplearlos en el campo médico, científico, automotriz, gubernamental, etc.

Un grid está compuesto por un grupo de ordenadores conectados entre sí en una red informática. El clúster HPC agrupa varios servidores informáticos que son nodos de alta velocidad interconectadas entre sí y que a su vez gestiona las cargas de trabajo. Un nodo se encarga de ejecutar uno o varios servidores de aplicaciones.

Este trabajo de titulación aspira a realizar un análisis de desempeño de una plataforma HPC y comparar sus características, beneficios y campos de aplicación, con la finalidad de otorgar conceptos básicos y fundamentales sobre el uso de herramientas para configurar un clúster HPC. También se realiza un breve análisis de las métricas de desempeño de la plataforma HPC y de la simulación de aproximación del número pi con el objetivo de proveer un conocimiento alentador sobre el uso de centros HPC para investigadores, estudiantes y público en general que fomenten la investigación científica.

Palabras Clave: HPC, Grid, Clúster, Supercomputadoras.

PONTIFICIA UNIVERSIDAD CATÓLICA DEL ECUADOR
FACULTAD DE INGENIERÍA
MAESTRIA EN TECNOLOGÍAS DE LA INFORMACIÓN MENCIÓN GESTIÓN
Y ADMINISTRACIÓN DE TI

**Analysis of the requirements for an HPC (High Performance Computing) platform,
characteristics, benefits and fields of application.**

Author: Álvaro Paul Carrera Carriel

Director -Tutor: Santiago Silva P.

Date: August 30, 2023

ABSTRACT

As data increases exponentially, the need to solve complex problems requires massive computing. Considering this situation, HPC (High Performance Computing) facilitates the processing of large volumes of data faster than a conventional computer. HPC solutions run large analytical calculation models on infrastructures that host supercomputers for use in the medical fields, scientific, automotive, government, etc.

A grid is made up of a group of computers connected to each other in a computer network. The HPC cluster groups several computer servers that are high-speed nodes interconnected with each other and which in turn manages the workloads. A node is responsible for running one or more application servers.

This present degree work aims to carry out a performance analysis of an HPC platform and compare its characteristics, benefits and fields of application, in order to provide basic and fundamental concepts on the use of tools to configure an HPC cluster. A brief analysis of the performance metrics of the HPC platform and the approximation simulation of the pi number is also carried out with the aim of providing encouraging knowledge about the use of HPC centers for researchers, students and the general public that promote research. scientific.

Keywords: HPC, Grid, Cluster, Supercomputers.

INTRODUCCIÓN

La High Performance Computing (HPC) por sus siglas en inglés o también conocida como computación de alto rendimiento se encarga de ejecutar procesos aritméticos complejos que son capaces de llevarse a cabo solo en supercomputadoras. Aquellos procesos aritméticos requieren del uso de supercomputadoras para dar respuesta a soluciones complejas en distintos escenarios. Estos pueden ser informática militar, entornos climáticos y sismológicos, estudios sobre el genoma humano e infraestructura terrestre de geolocalización, etc.

Con el avance de algoritmos aritméticos que simplifican su ejecución. La HPC permite que la simulación de aquellos algoritmos se lo haga de manera autónoma para generar resultados óptimos en su escenario de aplicación que se lo realice.

Con nuevas tecnologías innovadoras que implican investigación continua, diseño, desarrollo, componentes y sistemas tecnológicamente superiores. Los modelos para las simulaciones basadas en la ciencia permiten generar soluciones que antes se podría decir que eran muy difíciles de llevarlas a cabo. Esto permite a través de un software paralelo avanzado ejecutar algoritmos de manera muy rápida, lo que genera una ventaja competitiva para el escenario actual en el que vivimos.

La informática en alto rendimiento (HPC) es un conjunto de buenas prácticas productivas sobre algoritmos, arquitecturas y tecnologías para realizar tareas de informática científica sobre flujos de trabajos más exigentes con el avance tecnológico actual.

Los entornos en áreas de aplicación de la HPC incluyen modelos de simulación de datos en el diseño de armas nucleares, ámbito científico, métodos de predicción de fenómenos naturales e inteligencia militar para apoyo a la seguridad nacional. El rendimiento de la HPC en dichas áreas de aplicación ha generado un tiempo de solución eficiente para el avance tecnológico.

La HPC es de vital ayuda en el enfoque de la investigación informática mediante los entornos anteriormente mencionados para aprovechar los paradigmas informáticos novedosos. (James A. Ang, 2022).

Para el desarrollo del presente trabajo de titulación se procederá a realizar un análisis de desempeño de un clúster HPC que muestra el uso de recursos y carga de la red mediante la aplicación de Ganglia Monitoring. También, la ejecución del script de algoritmo matemático de aproximación del número Pi para verificar su simulación a través del entorno de RStudio Server.

CAPÍTULO I: PLANTEAMIENTO DEL PROBLEMA

1.1. Formulación del problema

En la actualidad las computadoras tradicionales ejecutan cargas de procesamiento convencional acorde a las necesidades de las personas. La constante aparición de problemas complejos científicos que las computadoras convencionales no son capaces de resolverlas. La HPC¹ saca provecho en procesar grandes volúmenes de datos para mejorar la calidad de vida del ser humano. La evolución tecnológica en volúmenes de datos comerciales o infraestructuras de ciudades inteligentes es necesario dominar la computación en alto rendimiento.

A nivel mundial se puede conseguir computadoras convencionales que el usuario lo encuentra en distintas gamas acorde a las necesidades requeridas. La diferencia entre una computadora convencional y una computadora de alto rendimiento HPC es en la ejecución de procedimientos de operaciones de cálculos complejos como lo son del tipo científicos, analíticos o de ingeniería. Debido a los altos costos de inversión que acarrea implantar los entornos HPC y el manejo de gran cantidad de datos que hay que procesar se recurre a la computación HPC para que los pueda realizar.

De acuerdo con (James A. Ang, 2022) “La informática de alto rendimiento ha sido, y continúa siendo, una tecnología habilitadora clave para el diseño y la prueba de I+D de sistemas nuevos y mejorados. El Plan de estrategia militar nacional de Estados Unidos depende de la capacidad de la comunidad científica y de ingeniería de dicha nación para continuar investigando, diseñando, desarrollando y produciendo ideas, componentes y sistemas tecnológicamente superiores.”

Entre las situaciones que se identificaron como puntos críticos en los proyectos de High

¹ HPC High Performance Computing

Performance Computing tenemos:

- a) La falta de ejecución de grandes volúmenes de datos en la computación paralela o distribuida.
- b) Su implementación es muy costosa y requiere de mucho conocimiento.
- c) La necesidad de adaptación de los sistemas informáticos en un entorno de clúster HPC para los cálculos aritméticos adecuados.
- d) Los data center requieren de una infraestructura de climatización óptima para la ejecución de los altos volúmenes de datos.

En la región de Latinoamérica, los centros de procesamiento de datos tipo HPC son muy limitados debido a su alto costo de implementación y uso del manejo de datos para el desarrollo investigativo que es un factor considerable por los centros de investigación que apuestan sobre la tecnología en HPC. Referente a Centroamérica, su principal centro de estudios para la HPC se encuentra en México en la ciudad de Guadalajara. En Sudamérica se encuentra en Brasil en la ciudad de Sao Paulo. Con respecto a los centros HPC en el Ecuador, los únicos centros en poseer entornos HPC son la Universidad San Francisco de Quito, la ESPE y el CEDIA (Corporación Ecuatoriana para el Desarrollo de la investigación y la Academia).

1.2. Objetivos de la Investigación

1.2.1. Objetivo General

Analizar los requisitos para una plataforma HPC (High Performance Computing), características, beneficios y campos de aplicación.

1.2.2. Objetivos Específicos

- Recabar información sobre los requerimientos de una plataforma HPC que permita identificar sus características, beneficios y campos de aplicación.

- Construir un clúster virtualizado mediante la herramienta de configuración OpenHPC.
- Realizar el análisis de desempeño de un clúster mediante la aplicación Ganglia Monitoring.
- Efectuar la ejecución de aproximación del número pi en el entorno RStudio Server para verificar su simulación.

1.3. Justificación de la Investigación

El siguiente trabajo de titulación está dirigido al análisis de los requisitos de una plataforma HPC, sus características, beneficios y campos de aplicación. La razón para realizar el presente trabajo de titulación es debido a la escasa implementación de centros HPC que fomenten el desarrollo investigativo en las instituciones para resolver problemas complejos relacionados con el procesamiento acelerado en la ejecución de tareas. Con el avance de las infraestructuras de TI en aplicaciones, simulaciones, mediciones y cálculos; se requieren opciones de cómputo en paralelo para lograr procesos óptimos que generen resultados favorables hacia el avance científico y tecnológico de la humanidad en general.

Referente a lo anterior, la tecnología HPC busca ejecutar procesos de manera paralela que brinden soluciones a problemas complejos en el ámbito científico, industrial, medico, físico, químico y meteorológico. Motivo por el cual se realiza este presente trabajo de titulación.

CAPÍTULO II: FUNDAMENTACIÓN TEÓRICA

2.1. Antecedentes de la Investigación

Para (Rivera, 2017) en su proyecto de titulación cuyo objetivo principal fue el de analizar la escalabilidad del modelo de predicción climática WRF en clústeres HPC en base a las comunicaciones y procesos MPI². Entre sus resultados obtuvo un desempeño máximo en su red Infiniband de 25.9, QDR de 25.9 y Ethernet de 6.4 con referencia a una ejecución secuencial como parte de las configuraciones para aumentar su desempeño. Consiguió una conclusión de ser una opción favorable para los requerimientos de su plataforma porque están enfocados hacia la portabilidad.

(Andrés, 2021) en su proyecto de tesis tuvo como objetivo realizar un estudio sobre la paralelización de ACO mediante MPI (por sus siglas en inglés Message Passing Interface) y programación de GPU haciendo uso de la plataforma CUDA con un diseño de análisis de la paralelización de dos componentes principales del algoritmo con una muestra de 48 procesadores. Para sus resultados se basó en las métricas de speedup, eficiencia y Karp-Flatt para evaluar el MPI con la tecnología de HPC.

² ¿Qué es MPI? (Message Passing Interface) Interfaz de mapeo de mensajes.

2.2. High Performance Computing (HPC)

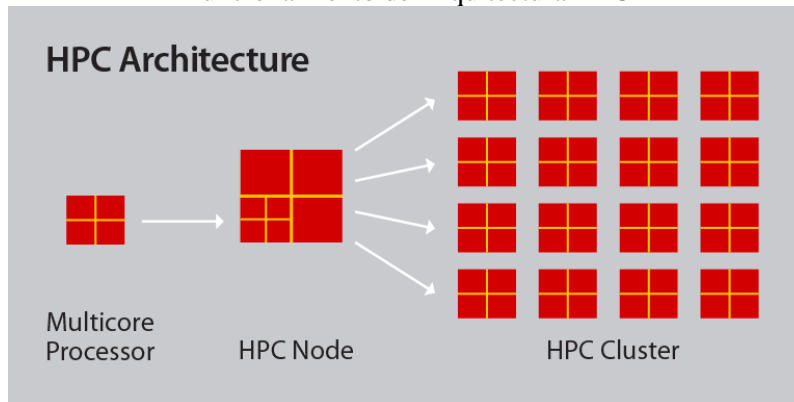
2.2.1 Que es High Performance Computing

Como lo define (Corral García, 2021) en su tesis doctoral, la HPC es una supercomputación que requiere de un rendimiento amplio sobre las computadoras convencionales que no son capaces de realizar resoluciones de problemas científicos, en el campo de ingeniería o de empresa. Con esta tecnología de supercomputación se puede obtener resultados satisfactorios sobre una variedad de escenarios complejos que no se los puede resolver de manera empírica o teórica en ordenadores simples. Factores de requerimientos como almacenamiento, memoria o computación hace que la HPC en la era moderna presente impactos favorables en los diferentes campos de aplicación para el desarrollo progresivo de la humanidad actualmente.

La función de una arquitectura HPC radica en que los servidores informáticos se reconectan a una red de clúster que se explica a detalle en el apartado 2.3. lo que es un clúster. Las aplicaciones y algoritmos se ejecutan de forma simultánea en los servidores de clústeres que están conectados al almacenamiento de datos para realizar las distintas tareas que se vayan a emplear. A continuación, mediante el siguiente gráfico se muestra cómo funciona una arquitectura HPC. (RCAB, 2023)

Se observa a continuación en el Gráfico 1 el funcionamiento de una arquitectura de entorno HPC, donde el nodo de cómputo del servidor posee un procesador multinúcleo interconectado entre sí para conformar lo que es el clúster HPC.

Gráfico 1
Funcionamiento de Arquitectura HPC



Fuente: (RCAB, 2023)

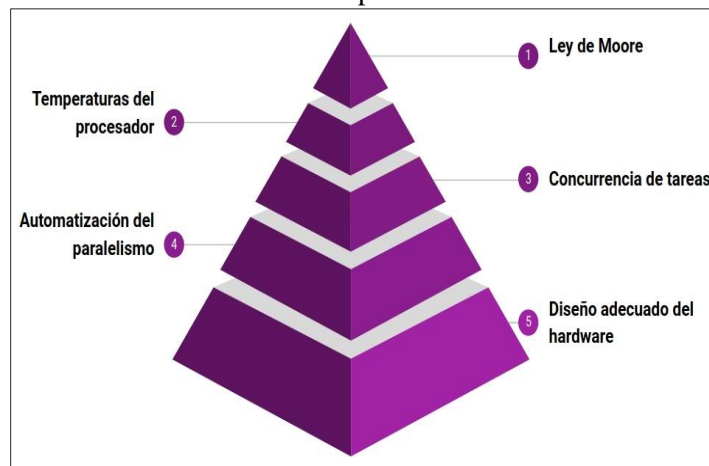
2.2.2. Características HPC

Entre las principales características de HPC se pueden destacar las siguientes:

Tecnología computacional paralela: Se refiere a la ejecución de varias tareas de manera simultánea en servidores informáticos masivos que permite el uso de miles o hasta millones de procesadores.

Como se puede apreciar en el siguiente Gráfico 2 cada uno de los niveles de recursos que utiliza la computación paralela, en el nivel 1 hace uso de la ley de Moore que potencia los componentes informáticos haciéndolos más reducidos y de rápida ejecución. En el nivel 2 realiza una refrigeración permanente y óptima del procesador. Con el nivel 3 se procede con la concurrencia de tareas que trabajan al mismo tiempo. Para el nivel 4 se adopta estrategias para la automatización de procesos de una manera proporcional al número de núcleos; y en el nivel 5 se adopta una solución en el hardware que permite la paralelización acorde a los procesadores que se estén utilizando. (Fabián Bernal, 2020)

Gráfico 2
Niveles de Computación Paralela



Fuente: (Fabián Bernal, 2021)

Conjunto de Clústeres: Es un esquema en el que coexisten varios clústeres HPC dentro de servidores informáticos conectados entre sí por medio de una red de comunicación. Se encarga de gestionar la carga de trabajo de cómputo en paralelo, que, a su vez, está compuesta de nodos de ordenadores para la ejecución de tareas. A continuación, se divide en el siguiente Gráfico 3 el centro HPC del laboratorio de innovación de la empresa Dell Technologies.

Gráfico 3
Laboratorio de innovación de HPC e IA de Dell Technologies

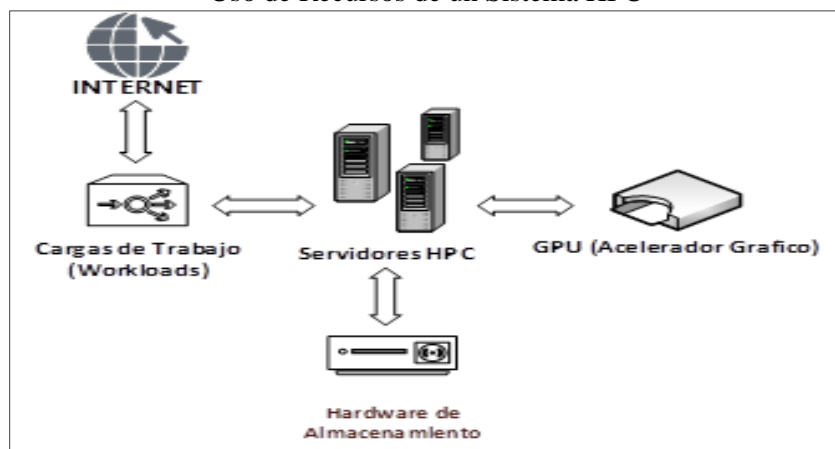


Fuente: (DataCenterMarket, 2022)

Alto rendimiento en tecnología computacional: Implica recursos informáticos de un clúster HPC como almacenamiento, redes, memoria y sistemas de archivos. Estos exigen una alta velocidad en ejecución y baja latencia en sus nodos para la optimización y rendimiento del clúster. (IBM, 2023)

Se muestra en el siguiente Gráfico 4 cada uno de los recursos informáticos que conforman un servidor HPC.

Gráfico 4
Uso de Recursos de un Sistema HPC



Fuente: El Autor

2.2.3. Beneficios

Dentro de los beneficios de la tecnología HPC se destaca los indicados a continuación en la Tabla 1.

Tabla 1
Beneficios de HPC

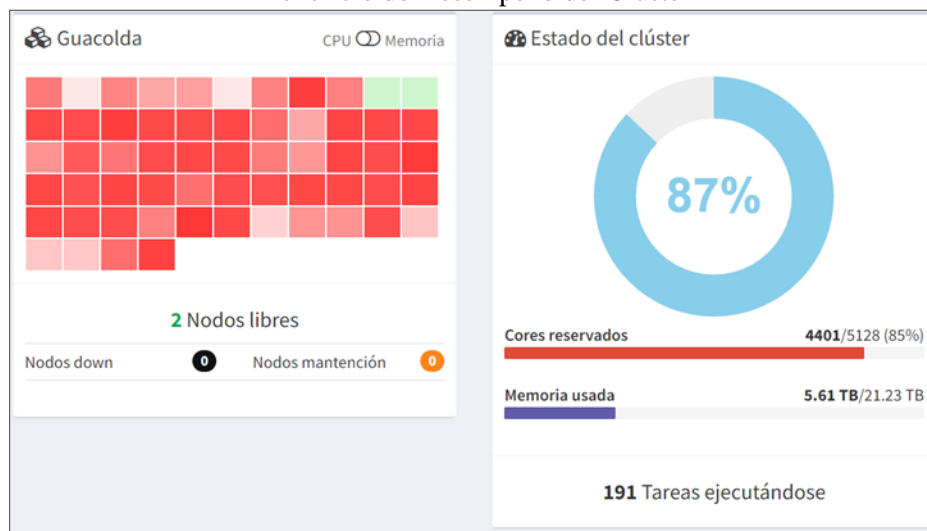
Beneficios High Performance Computing		
Beneficio	Detalle	
Reducción de pruebas	en de	Se puede utilizar para simulaciones de diversos ámbitos que facilita la reducción de pruebas consecutivas para determinar un resultado obtenido.

cómputo	
Novedoso	Impulsa la innovación hacia la investigación en ciertos sectores del campo científico. Esto revoluciona contantemente los desafíos de la humanidad mejorando su calidad de vida en la actualidad.
Prontitud	Con las nuevas tecnologías en GPU (Unidades de procesamiento gráfico) se obtiene una carga de red de menos latencia que optimiza los accesos a memoria para alcanzar respuestas veloces a los cálculos que se realicen.
Reducción de Costos	A mayor demanda en tiempos de respuestas se puede evitar el desperdicio de tiempo y dinero para la ejecución de cargas de trabajo de HPC que brinda una libre elección del servicio según la necesidad que se requiera.

Fuente: (Oracle , 2023)

Se divisa en el siguiente Gráfico 5 el beneficio del funcionamiento de un clúster HPC con cada uno de sus nodos, el estado de sus cores y su memoria.

Gráfico 5
Beneficio de Desempeño del Cluster



Fuente: (NLHPC, 2023)

2.2.4. Campos de Aplicación

Para la presente Tabla 2 se describe cada uno de los campos donde se aplica la HPC acorde al entorno en el que se lo requiera implementar.

Tabla 2
Campos de Aplicación de la HPC
Campos de Aplicación HPC

Campo	Descripción
Empresarial	Se aplica modelos financieros por medio de la ciencia de datos para emplear tecnologías de inteligencia artificial y aprendizaje automático porque es un motor clave para las empresas en capital e innovación.
Gubernamental	Se realiza estudios sobre el impacto ambiental para la investigación científica en el uso de materia energética, defensa nuclear o ataque biológico, etc.
Médico	Se aplica para crear vacunas, investigar sobre nuevos medicamentos y desarrollar tratamientos medicinales para la innovación médica.
Investigativo	Se lo emplea para la implementación de chips en la industria farmacéutica en materia de laboratorios de dinámica molecular.
Manufactura	Se aplica en la simulación de la ingeniería para la rama de la industria que utiliza la robótica con diseños avanzados en la mejora de su automatización.
Colaborativo	Genera soluciones que aplican la computación cuántica para desarrollar modelos de programación paralela, fomentando la investigación o descubrimientos biomédicos.
Centro de datos	Se emplea soluciones HPC en la nube para favorecer el acceso a la información que se optimiza por medio de cargas de trabajo en el ámbito de negocios o defensa gubernamental.

Fuente: (InsideHPC, 2023)

Se muestra a continuación en el Gráfico 6 un ejemplo de las empresas miembros de la Comunidad OpenHPC que hacen uso de la plataforma a nivel mundial.

Gráfico 6
Empresas Miembros de la Comunidad OpenHPC



Fuente: (openHPC, 2020)

2.2.5. HPC en Latinoamérica

En el caso de Latinoamérica se tiene el caso de “RedCLARA” que es una organización que integra una red de representantes de sistemas nacionales de HPC en la región, centros de supercomputación y observación de representantes internacionales que fomenta el fortalecimiento de competencias en desarrollo de proyectos que involucren la computación científica y de alto rendimiento. Lo conforman centros de investigación científica con soluciones HPC para el uso de comunidad de estudiantes, investigadores y tecnólogos, entre ellos, se encuentra el Ecuador por medio de CEDIA (Corporación Ecuatoriana para el Desarrollo de la Investigación y la Academia). (RedCLARA, 2023)

A través de la RedCLARA se conforma también CARLA (Conferencia Latinoamericana de High Performance Computing) conforme a (CARLA, 2023) “se encarga de proporcionar un foro para

fomentar el crecimiento y la fortaleza de la comunidad de Computación de Alto Rendimiento (HPC) en América Latina a través del intercambio y la difusión de nuevas ideas, técnicas e investigaciones en HPC y sus áreas de aplicación.”

2.2.6. Top 500

El top 500 es una página que enlista las 500 supercomputadoras a nivel mundial que mide su rendimiento en base a experiencias de usuarios y proveedores. Su top de lista se actualiza semestralmente para dar seguimiento a la evolución de los ordenadores HPC. Tiene como objetivo proporcionar una lista de sistemas de propósito general para aplicaciones de gama alta que sean capaces de resolver problemas científicos. La medida de desempeño que emplea para el ranking es el HPL (High Performance Linpack Benchmark) que es una aplicación que resuelve un sistema lineal aleatorio de aritmética de doble precisión (64 bits) en computadoras de memoria distribuida. (TOP 500, 2022)

Mediante la Tabla 3 se muestra el top 5 de las supercomputadoras con sus principales características. Se toma en cuenta el ranking con fecha de la última publicación semestral del mes de noviembre del año 2022.

Tabla 3
Top 5 Mejores Supercomputadoras
Ranking 5 Mejores Supercomputadores

Posición	Sistema	Fabricante	País	Procesador	Cores	Rmax (PFlop/s)	Rpeak (PFlop/s)	Potencia (kW)	SO	Campo de Aplicación
1	Frontier	HPE (Hewlett Packard Enterprise)	EEUU	AMD Optimized 3rd Gen 64C 2GHz	8,730,112	1,102.00	1,685.65	21,100.00	HPE Cray OS	Oak Ridge National Laboratory
2	Supercomputer Fugaku	Fujitsu	Japón	A64FX 48C 2.2GHz	7,630,848	442.01	537.21	29,899.23	Red Hat Enterprise Linux	RIKEN Center for Computational Science
3	LUMI	HPE	Finlandia	AMD Optimized 3rd Gen 64C 2GHz	2,220,288	309.10	428.70	6,016	HPE Cray OS	EuroHPC/CSC
4	Leonardo	ATOS	Italia	Xeon Platinum 8358 32C 2.6GHz	1,463,616	174.70	255.75	5,610	Linux	EuroHPC/CINECA
5	Summit	IBM	EEUU	IBM POWER9 22C 3.07GHz	2,414,592	148.60	200.79	10,096	RHEL 7.4	Ridge National Laboratory

Fuente: (Top500, 2022)

*PFlop/s: Operaciones de Punto Flotante por segundo

*Rmax: Rendimiento Máximo Alcanzado

*Rpeak: Rendimiento Máximo Teórico

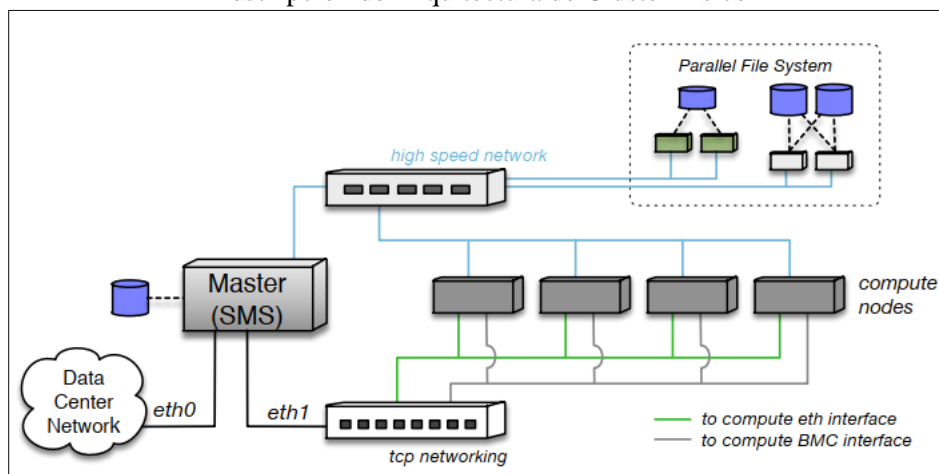
2.3. Clúster HPC

Un clúster es una agrupación de nodos de cómputo autónomos e independientes que se integran en una red privada de alta velocidad, donde cada uno posee su propio sistema operativo. Sus nodos son de funcionamiento básico que alcanzan un rendimiento limitado con respecto a procesadores paralelos masivos. Aunque en conjunto muestran una mejor relación costo-beneficio y una escalabilidad considerable frente a los demás computadores convencionales. (Corral García, 2021, p. 11)

Por otro lado, un cluster HPC agrupa varios servidores informáticos conectados entre sí, que trabajan con grandes tareas para un gran desempeño computacional. Se encarga de gestionar la carga de trabajos masivos en computación paralela que integran CPU de alto rendimiento o GPU (Unidad de procesamiento gráfico) con la particularidad que puede contener alrededor de 1000 nodos o más. (IBM, 2023)

Se divide en el presente Gráfico 7 una breve descripción de los componentes que conforman un clúster físico HPC.

Gráfico 7
Descripción de Arquitectura de Clúster Físico

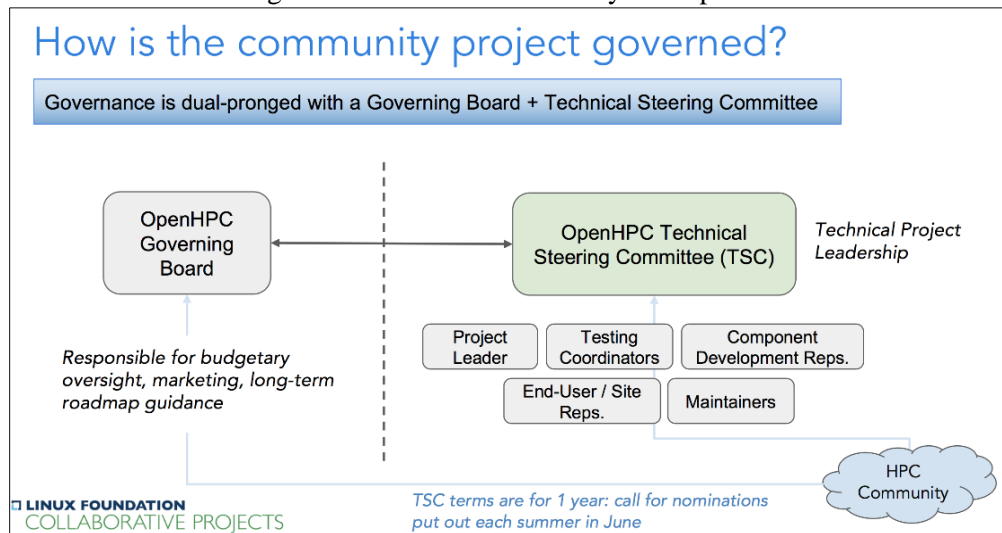


Fuente: (openHPC, 2020)

2.3.1. Open HPC

Open HPC es una herramienta colaborativa *Open Source* para implementar y/o administrar clústeres de distribución Linux para sistemas HPC. Contiene herramientas de provisionamiento, administración de recursos, clientes de E/S, herramientas de desarrollo y una gama de bibliotecas científicas. Además, integra fuentes de fabricantes de equipos, sitios de supercomputadoras e instituciones de investigación. (openHPC, 2020). A continuación, se muestra en el Gráfico 8 como está estructurado el gobierno del proyecto OpenHPC y de cada uno de los actores que lo intervienen.

Gráfico 8
Diagrama de Gobernanza de Proyecto OpenHPC



Fuente: (openHPC, 2020)

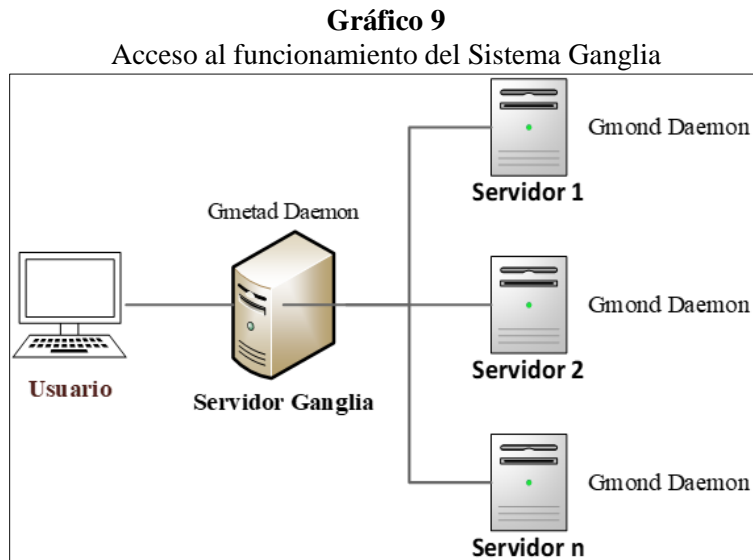
2.3.2. Ganglia Monitoring System

Ganglia es un sistema de monitoreo distribuido escalable para sistemas HPC como clústeres y grids³. Su diseño es a nivel jerárquico conformado por clústeres que aprovechan las tecnologías utilizadas. Optimiza considerablemente el uso de recursos de los nodos por medio de la estructura

³ Grid --- Conecta un grupo de ordenadores que forman un superordenador virtual

de datos y algoritmos. Su implementación es robusta porque concentra varios sistemas operativos, arquitecturas de procesador y miles de clústeres a nivel mundial. Es requerido actualmente por laboratorios científicos y campus universitarios. (NVIDIA DEVELOPER, 2023)

A continuación, se divide en el Gráfico 9 el acceso al sistema por parte de los usuarios a cada uno de los servidores para proceder al monitoreo del clúster desplegado.



Fuente: El Autor⁴⁵

2.4. Virtualización HPC

La virtualización HPC se refiere a la creación de un número de servidores virtuales que están alojados dentro un servidor físico u host. Añade flexibilidad, eficiencia operativa, agilidad y seguridad para ejecutar múltiples aplicaciones en una misma máquina que administra los recursos de memoria, CPU y red. Reduce el tiempo considerablemente en la recopilación de información y datos.

Entre las principales características que se pueden encontrar en este tipo de Arquitectura están las

⁴ Gmond: Datos que contiene en memoria el servidor.

⁵ Gmetad: Consulta periódicamente a los datos Gmond

descritas en la siguiente Tabla 4.

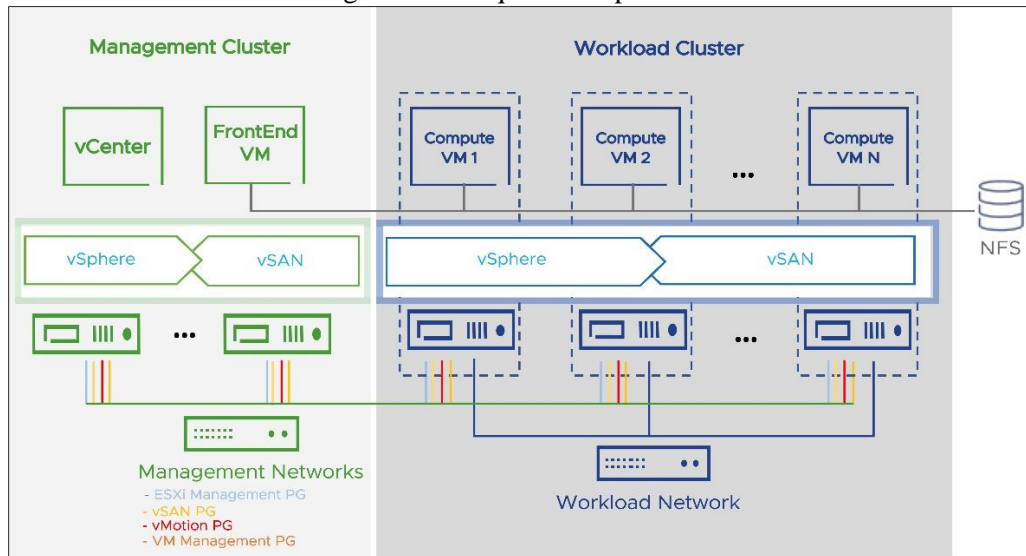
Tabla 4
Características de Virtualización HPC
Características de la Virtualización HPC

Tipo	Descripción
Flexibilidad y Agilidad	Acelera el aprovisionamiento de infraestructuras de TI según las necesidades requeridas para agilizar la iteración. Prioriza más tiempo a obtener información sin mucha demanda a implementaciones o rediseños.
Eficiencia Operativa	Se reduce considerablemente el tiempo de instalación y configuración para prestaciones de gestión centralizada. Optimiza las operaciones de aprovisionamiento y mantenimiento de infraestructuras.
Menor Complejidad	Su aporte significativo en la oferta de servicios de valor en copias y análisis de seguridad, cortafuegos y gestión de operaciones.
Control de datos y confidencialidad de los clientes	Cada máquina virtual se blindada en seguridad porque forma parte del mismo clúster para acceder a los archivos que correspondan.

Fuente: (vmWARE, 2023)

A continuación, se visualiza en el Gráfico 10 el diagrama de arquitectura HPC virtualizada.

Gráfico 10
Diagrama de Arquitectura para vHPC



Fuente: (Yuankun Fu, 2022)

2.5. Paralelización de Cómputo HPC

2.5.1. Concurrencia y Paralelización de algoritmos

Este proceso se realiza con la ejecución de dos o más tareas de cómputo independientes dentro de un mismo lapso. Por lo regular, es utilizado en sistemas multitareas donde un único núcleo aplica una técnica de división para que se ejecuten de manera simultánea para un paralelismo virtual. Con referencia al análisis y diseños de algoritmos se considera la descomposición y asignación de tareas a las unidades de procesamiento. La metodología PCAM (Partitioning, Communication, Agglomeration and Mapping) presenta una paralelización funcional que realiza una descomposición natural de las operaciones con respecto a objetivos computacionales independientes.

La paralelización de códigos secuenciales se centra en optimizar las comunicaciones entre procesos y maximizar la computación. Acorde al modelo de programación que se use, su objetivo es disminuir de manera eficiente los tiempos de ejecución. Las tareas paralelas tienden a variar su

tiempo de ejecución, lo que considera un equilibrio equitativo en la carga para coordinar fragmentos de códigos asociados al problema que se presenta. La paralelización de bucles permite realizar cálculos que recorren iterativamente el algoritmo, es necesario que no exista dependencias entre las instrucciones para las distintas iteraciones y ser ejecutadas sin un orden establecido. (Corral García, 2021, pp. 13,14,16)

2.5.2. Punto Flotante HPC, Número Pi y RStudio

El punto flotante por segundo es la métrica de rendimiento que más se utiliza en la HPC, no obstante, no es la única medida que se refleje en el ámbito de las supercomputadoras. Los sistemas HPC son clasificados en un ranking que basa sus resultados en técnicas de benchmark. Las características del ranking se reflejan con la información del fabricante, número de procesadores y núcleos, memoria, consumo de energía y sistema operativo. El benchmark se enfoca en el rendimiento máximo de ejecución sobre las operaciones de punto flotante para determinados sistemas de ecuaciones que no comprometa la memoria o red interna. (Corral García, 2021, p. 8)

El valor del *número Pi* tiene mucha significancia en los campos del cálculo y la física. Hay variedad de métodos que permiten encontrar su valor aproximado. Para alcanzar su resultado se lo emplea por una serie de sumatorias que se la representa de la siguiente manera.

$$\sum_{n=0}^{\infty} \frac{(-1)^n}{2n+1} = \frac{\pi}{4}$$

Dicha expresión concurre en una serie infinita que genera el siguiente resultado de $\pi/4$

$$\pi = \frac{4}{1} - \frac{4}{3} + \frac{4}{5} - \frac{4}{7} + \frac{4}{9} - \frac{4}{11} \dots$$

La fórmula del *número Pi* necesita de un número n para llegar al valor aproximado del mismo.

Con la condición de que, si n es un número cercano a 3,000,000 su valor más próximo será de:

3.1415924535897932384646433832779502784197169399134454111...

Observando este resultado, el mismo se lo puede expresar en un algoritmo o lenguaje de programación para representar el valor del *número Pi*. (Velazquez, 2017)

En ese contexto se puede usar R, que es un lenguaje de programación de ambiente de software orientado al análisis estadístico, representación gráfica y generación de reportes. RStudio es un IDE alojado en un servidor Linux que se accede a través de un navegador web para potenciar la productividad en un entorno centralizado. R para HPC es de mucha utilidad porque ofrece herramientas de paquetes y funciones para realizar procesamiento en paralelo consiguiendo la máxima optimización de recursos. Su experiencia de uso refiere una escalabilidad en resolver problemas, brindar solución y tecnología ajustable. (Alvear, 2018)

CAPÍTULO III: METODOLOGÍA

3.1. Tipo de Investigación

Para el desarrollo del presente proyecto de titulación se utilizó el tipo de investigación cuantitativa que sirvió para el análisis de la plataforma HPC con la elaboración de las pruebas de desempeño.

3.2. Fases del Análisis de la plataforma HPC

Para el análisis de la plataforma HPC de este trabajo de titulación, se determinó una metodología establecida en dos fases, con el objetivo de abarcar la definición de los objetivos para el reconocimiento de los requisitos planteados.

3.2.1. Instalación de componentes y construcción del clúster virtualizado

Para esta primera fase se procede a realizar las respectivas instalaciones de componentes del sistema HPC incluyendo las herramientas de aprovisionamiento. Posteriormente, se realizó la construcción del clúster virtual para analizar el desempeño del mismo.

3.2.2. Ejecución del programa de aproximación del número pi con sus respectivas pruebas

Ejecutado el diseño del clúster en la fase anterior se procedió a realizar la ejecución del programa de aproximación del *número Pi* para determinar las pruebas obtenidas de su simulación. En esta fase se trabaja de manera iterativa para comprobar la aproximación del *número Pi* y verificar el desempeño del clúster con sus respectivas métricas.

3.3. Posibles Limitaciones

Este trabajo de titulación se enfocó en el uso de las herramientas Open HPC, vmWARE y RStudio. Debido a que la plataforma HPC exige bastantes recursos para su funcionamiento, se recurrió a la herramienta de virtualización para optimizar la construcción del clúster, aunque no se refleje mejoras en la paralelización debido a que se está ejecutando en un solo procesador físico. De igual

manera, se hace uso de una arquitectura básica del clúster que consiste en usar un solo Grid, que es un nodo master y dos nodos cómputo. La mayoría de los laboratorios de HPC a nivel mundial tienen acceso restringido a sus plataformas debido básicamente al tema de seguridad en su infraestructura de trabajos en HPC, solo permiten el ingreso previo a solicitud por parte de los encargados del centro de HPC en las instituciones.

Para la realización de las pruebas de aproximación del *número Pi*, el acceso a los entornos de laboratorios HPC tiene la limitante de ser de uso exclusivo de sus usuarios, por lo que se recurrió al uso del entorno RStudio para realizar las pruebas de simulación correspondientes.

3.4. Herramientas de Apoyo para el Análisis

Mediante la aplicación de Ganglia se realizó el análisis de desempeño de la plataforma con una de sus principales métricas que es la de carga del servidor. El código del script de aproximación del *número Pi* se encuentra disponible en el repositorio de GitHub de la Universidad del Sureste de California (USC).

3.5. Métodos de Validación

Para validar las pruebas de desempeño y simulación del *número Pi* se realizó ejecuciones de manera local. Como se lo planteó en la primera fase detallada en el apartado 3.2.1 se procedió a la configuración del nodo master donde se alojó la plataforma OpenHPC. Para garantizar su respectiva prueba de desempeño se ejecutó el script del *número Pi* desarrollado en lenguaje de programación R y ser ejecutado en el entorno RStudio Server.

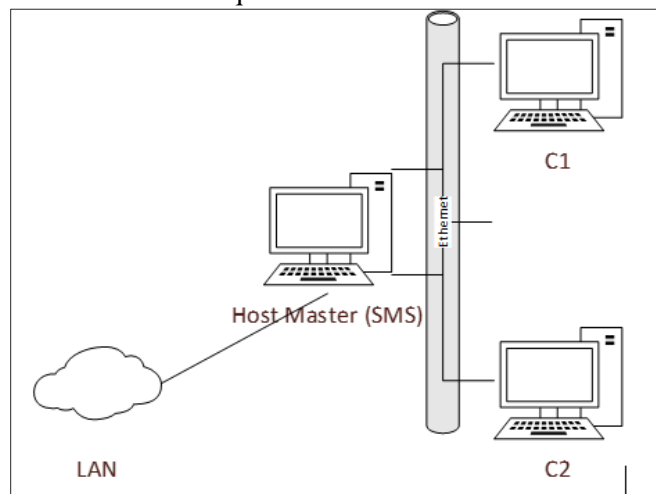
CAPÍTULO IV: PRESENTACIÓN Y ANÁLISIS DE LA PLATAFORMA

En este capítulo se explica cómo se implementó el clúster virtualizado en el hipervisor de VMWare y su configuración con la herramienta OpenHPC. Posteriormente, se realizó el análisis de las principales métricas disponibles en la plataforma HPC con la aplicación de Ganglia Monitoring. Por último, se realizó la ejecución del script del *número Pi* en el entorno RStudio Server para verificar su simulación de aproximación.

4.1. Propuesta de la Arquitectura del Clúster HPC

Se presenta en el siguiente Gráfico 11 la arquitectura del clúster virtual compuesta por los nodos host master, C1 y C2 que servirán para su configuración con la herramienta OpenHPC. Los procedimientos para la configuración de los componentes generales del clúster se los puede visualizar en el correspondiente apartado de ANEXO 2.

Gráfico 11
Arquitectura del Clúster



Fuente: El Autor

4.1.1. Especificación de características del Cluster

Se detalla en la siguiente Tabla 5 las características de cada uno de los nodos que conforman el clúster que son los nodos master, C1 y C2 respectivamente.

Tabla 5
Características del Cluster

Máquina Virtual	Hostname	Disco	Memoria RAM	Velocidad de Transmisión	Sistema Operativo
Master	TesisMaster	20 GB	2 GB	1 Gbits/s	CentOS 7x
Cómputo 1	C1	8 GB	1 GB	1 Gbits/s	CentOS 7x
Cómputo 2	C2	8 GB	1 GB	1 Gbits/s	CentOS 7x

Fuente: El Autor

4.1.2. Clúster Virtualizado

El presente clúster se lo desarrolló con la herramienta VMWare Workstation Pro versión 17 para aprovechar la optimización de recursos de manera considerable en la presentación de la propuesta planteada en el inicio del Capítulo 4. Por ser un clúster virtualizado la ejecución del paralelismo se limita debido a que su arquitectura está implementada en un solo procesador, por consiguiente, se recurre al entorno RStudio Server que se encuentra configurado en el nodo master del grid TesisMaster.

Se muestra a continuación en la Tabla 6 la información de los paquetes de softwares usados en el trabajo para llevar a cabo la instalación del clúster.

Tabla 6
Softwares de Apertura

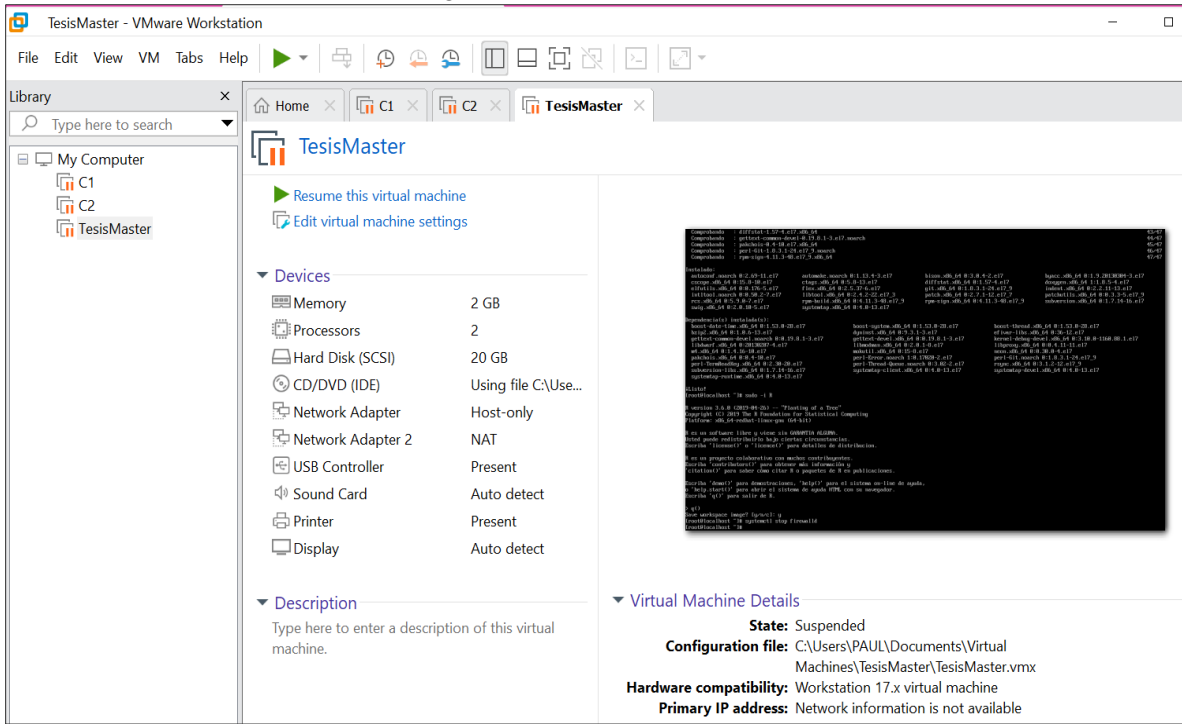
Software	Versión	Descripción
VMWare Workstation Pro	17x	Hypervisor para crear máquinas virtuales.
CentOS(x86_64)	7x	Sistema operativo de distribución de RHEL.
Yum	3.5.2	Gestor de descargas por paquetes para RHEL.

Fuente: El Autor

A continuación, se visualiza en el Gráfico 12 el clúster virtualizado con la herramienta VMWare Workstation Pro con cada uno de los nodos que conforman el Grid que son TesisMaster, C1 y C2 respectivamente. El proceso de instalación de las aplicaciones de apertura del clúster se encuentra

de manera detallada en el apartado de ANEXO 1.

Gráfico 12
Vista general del Cluster Virtualizado



Fuente: El Autor

Se presenta en la Tabla 7 las aplicaciones que servirán para el análisis, configuración y construcción del Grid TesisMaster, en el que posteriormente se realizará las pruebas de simulación de aproximación del número π en el entorno RStudio Server.

Tabla 7
Aplicaciones Operacionales para HPC

Software	Versión	Arquitectura	Descripción
OpenHPC	1.3.9.	X86_64	Paquetes de configuración para construir el cluster.
Ganglia Monitoring	3.7.2.	X86_64	Sistema de monitoreo de reporte estadístico del clúster.
Lenguaje R	3.5.	X86_64	Lenguaje de programación para cómputo estadístico y gráficos.
RStudio Server	1.0.136	X86_64	Entorno de desarrollo integrado para lenguaje R y ejecución del script.

Fuente: El Autor

4.1.3. Instalación del Clúster OpenHPC

Se ingresa a la configuración interna del clúster mediante conexión *SSH* (por sus siglas en inglés *Secure Shell*) es un protocolo de seguridad para gestionar el control a través de internet por medio de acceso de autenticación. Para la instalación del clúster se accede con la dirección ip *192.168.223.142* que corresponde al nodo master donde se alojará todos los componentes de instalación y configuración como se observa en el Gráfico 13. El proceso completo de instalación y configuración del clúster se lo puede encontrar en el apartado de ANEXOS 2,3 y 4.

Se accede al ip pública por SSH para realizar la configuración
[tesismaster@localhost ~]# ssh root@192.168.223.142

Gráfico 13

Acceso SSH al Host Master

```
[tesismaster@localhost ~]# ssh root@192.168.223.142
root@192.168.223.142's password:
Last login: Fri Apr 21 09:53:58 2023 from 192.168.223.142
[root@localhost ~]#
```

Fuente: El Autor

Se puede definir las direcciones ip de los nodos mediante el comando *“echo”* o ingresando al directorio de hosts *“/etc/hosts”* a través del comando *“vi /etc/hosts”*. El mismo proceso se lo realiza para la configuración en el nodo master y los nodos cómputos C1 y C2 que se visualizan en los Gráficos 14 y 15 respectivamente.

Se asigna el nombre del host “master” a la red local
[root@localhost ~]# echo 192.168.223.142 master >> /etc/hosts

Gráfico 14

Registro del Host Master

```
[root@localhost ~]# echo 192.168.223.142 master >> /etc/hosts
[root@localhost ~]#
```

Fuente: El Autor

**Se actualiza el Sistema Operativo
CentOS 7**

```
[root@localhost ~]# yum -y update  
[root@localhost ~]# yum -y install wget
```

Gráfico 17
Actualización del SO CentOS 7

```
Dependencias resueltas  
-----  
Package                Arquitectura      Versión           Repositorio      Tamaño  
-----  
Instalando:  
wget                   x86_64           1.14-18.el7_6.1  base             547 k  
Resumen de la transacción  
-----  
Instalar 1 Paquete  
Tamaño total de la descarga: 547 k  
Tamaño instalado: 2.0 M  
Downloading packages:  
wget-1.14-18.el7_6.1.x86_64.rpm | 547 kB 00:00:02  
Running transaction check  
Running transaction test  
Transaction test succeeded  
Running transaction  
  Instalando : wget-1.14-18.el7_6.1.x86_64 1/1  
  Comprobando : wget-1.14-18.el7_6.1.x86_64 1/1  
Instalado:  
wget.x86_64 0:1.14-18.el7_6.1  
¡Listo!  
[root@localhost ~]#
```

Fuente: El Autor

Se procede con la instalación del clúster OpenHPC en el nodo master mediante el comando “*yum*” (por sus siglas en inglés yellowdog updater modified) para instalar distribución de paquetes en Linux que se visualiza en el siguiente Gráfico 18.

Se instala OpenHPC en el nodo master

```
[root@localhost ~]# yum -y install  
http://build.openhpc.community/OpenHPC:/1.3/CentOS\_7/x86\_64/ohpc-release-1.31.el7.x86\_64.rpm
```

Gráfico 18
 Instalación de OpenHPC en el Host Master

```

Dependencias resueltas
=====
Package                Arquitectura      Versión          Repositorio      Tamaño
=====
Instalando:
ohpc-release           x86_64           1.3-1.e17       /ohpc-release-1.3-1.e17.x86_64  1.4 k
Instalando para las dependencias:
epel-release           noarch           7-11            extras            15 k
=====
Resumen de la transacción
=====
Instalar 1 Paquete (+1 Paquete dependiente)

Tamaño total: 16 k
Tamaño total de la descarga: 15 k
Tamaño instalado: 26 k
Downloading packages:
epel-release-7-11.noarch.rpm                | 15 kB  00:00:00
Running transaction check
Running transaction test
Transaction test succeeded
Running transaction
  Instalando      : epel-release-7-11.noarch                1/2
  Instalando      : ohpc-release-1.3-1.e17.x86_64           2/2
  Comprobando     : ohpc-release-1.3-1.e17.x86_64           1/2
  Comprobando     : epel-release-7-11.noarch                2/2

Instalado:
ohpc-release.x86_64 0:1.3-1.e17

Dependencia(s) instalada(s):
epel-release.noarch 0:7-11

¡Listo!
[root@localhost ~]#
  
```

Fuente: El Autor

Se instala los servicios de aprovisionamiento en el nodo master porque provee una gama de componentes para la configuración del clúster que se muestra en el siguiente Gráfico 19.

<p>Se instala el aprovisionamiento en el nodo master</p> <pre> [root@localhost ~]# yum -y install ohpc-base [root@localhost ~]# yum -y install ohpc-warewulf </pre>
--

Gráfico 19
Aprovisionamiento de OpenHPC en el Host Master

```

Instalado:
ohpc-warewulf.x86_64 0:1.3.0-3.1.ohpc.1.3.0

Dependencia(s) instalada(s):
apr.x86_64 0:1.4.0-7.e17
audit-libs-python.x86_64 0:2.8.5-4.e17
dhcp.x86_64 12:4.2.5-83.e17.centos.1
glibc-devel.x86_64 0:2.17-326.e17_9
httpd.x86_64 0:2.4.6-98.e17.centos.7
kernel-headers.x86_64 0:3.10.0-1160.08.1.e17
libdb-devel.x86_64 0:5.3.21-25.e17
libmanage-python.x86_64 0:2.5-14.e17
mariadb-server.x86_64 1:5.5.68-1.e17
perl-BSD-Resource.x86_64 0:1.29.07-1.e17
perl-DBD-MySQL.x86_64 0:4.023-6.e17
perl-ExtUtils-Install.noarch 0:1.58-299.e17_9
perl-ExtUtils-Manifest.noarch 0:1.61-244.e17
perl-FCGI.x86_64 1:0.74-8.e17
perl-Term-ReadLine-Gnu.x86_64 0:1.26-2.e17
perl-devel.x86_64 4:5.16.3-299.e17_9
pigz.x86_64 0:2.3.4-1.e17
postgresql-libs.x86_64 0:9.2.24-8.e17_9
python-IPy.noarch 0:0.75-6.e17
systemtap-sdt-devel.x86_64 0:4.0-13.e17
tftp-server.x86_64 0:5.2-22.e17
warewulf-common-ohpc.x86_64 0:3.8.1-14.2.ohpc.1.3.6
warewulf-provision-initramfs.x86_64-ohpc.noarch 0:3.8.1-56.1.ohpc.1.3.9
warewulf-provision-server-ipxe.x86_64-ohpc.noarch 0:3.8.1-56.1.ohpc.1.3.9
warewulf-vnfs-ohpc.x86_64 0:3.8.1-33.1.ohpc.1.3.7
apr-util.x86_64 0:1.5.2-6.e17
checkpolicy.x86_64 0:2.5-8.e17
gdbm-devel.x86_64 0:1.10-8.e17
glibc-headers.x86_64 0:2.17-326.e17_9
httpd-tools.x86_64 0:2.4.6-98.e17.centos.7
libgroup.x86_64 0:0.41-21.e17
libpcap.x86_64 14:1.5.3-13.e17_9
mariadb.x86_64 1:5.5.68-1.e17
mod_perl.x86_64 0:2.0.11-1.e17
perl-CGI.noarch 0:3.63-4.e17
perl-DBD-Pg.x86_64 0:2.19.3-5.e17_9
perl-ExtUtils-MakeMaker.noarch 0:6.68-3.e17
perl-ExtUtils-ParseXS.noarch 1:3.18-3.e17
perl-Linux-Pid.x86_64 0:0.04-18.e17
perl-Test-Harness.noarch 0:3.28-3.e17
perl-version.x86_64 3:0.99.07-6.e17
policycoreutils-python.x86_64 0:2.5-34.e17
pyparsing.noarch 0:1.5.6-9.e17
setools-libs.x86_64 0:3.3.8-4.e17
tcpdump.x86_64 14:4.9.2-4.e17_7.1
warewulf-cluster-ohpc.x86_64 0:3.8.1-10.5.ohpc.1.3.6
warewulf-ipmi-ohpc.x86_64 0:3.8.1-12.3.ohpc.1.3.6
warewulf-provision-ohpc.x86_64 0:3.8.1-56.1.ohpc.1.3.9
warewulf-provision-server-ohpc.x86_64 0:3.8.1-56.1.ohpc.1.3.9
xinetd.x86_64 2:2.3.15-14.e17

```

Fuente: El Autor

Se procede con la instalación de sincronizar los relojes de la hora local con la hora global en el host master mediante el protocolo *NTPD* (por sus siglas en ingles Network Time Protocol Date) con el servidor de “*time.haii.or.th*” que servirá para el monitoreo del clúster en tiempo real como se muestra en el siguiente Gráfico 20.

```

Se habilita el servicio NTP en el nodo master
[root@localhost ~]# systemctl enable ntpd.service
[root@localhost ~]# echo "server time.haii.or.th" >> /etc/ntp.conf
[root@localhost ~]# systemctl restart ntpd

```

Gráfico 20
Habilitación del Servicio NTP

```

[root@localhost ~]# systemctl enable ntpd.service
Created symlink from /etc/systemd/system/multi-user.target.wants/ntpd.service to /usr/lib/systemd/system/ntpd.service.
[root@localhost ~]# echo "server time.haii.or.th" >> /etc/ntp.conf
[root@localhost ~]# systemctl restart ntpd
[root@localhost ~]#

```

Fuente: El Autor

Se instala los servicios de gestión de recursos en el nodo master con el servidor de gestor de cargas de trabajo Slurm para luego añadir una imagen de cómputo que se observa en el siguiente Gráfico

21.

Se añade los servicios de gestión de recursos en el nodo master.

```
[root@localhost ~]# yum -y install ohpc-slurm-server
[root@localhost ~]# perl -pi -e "s/ControlMachine=\S+/ControlMachine=master/"
/etc/slurm/slurm.conf
```

Gráfico 21

Gestión de Recursos Host Master

```
Instalado:
  ohpc-slurm-server.x86_64 0:1.3.8-3.1.ohpc.1.3.8

Dependencia(s) instalada(s):
  hwloc-libs.x86_64 0:1.11.8-4.el7
  munge-devel-ohpc.x86_64 0:0.5.13-7.1.ohpc.1.3.7
  munge-ohpc.x86_64 0:0.5.13-7.1.ohpc.1.3.7
  pmix-ohpc.x86_64 0:2.2.2-9.1.ohpc.1.3.7
  slurm-example-configs-ohpc.x86_64 0:18.08.8-4.1.ohpc.1.3.8.1
  slurm-perlapi-ohpc.x86_64 0:18.08.8-4.1.ohpc.1.3.8.1
  slurm-slurmdbd-ohpc.x86_64 0:18.08.8-4.1.ohpc.1.3.8.1
  libtool-ltdl.x86_64 0:2.4.2-22.el7_3
  munge-libs-ohpc.x86_64 0:0.5.13-7.1.ohpc.1.3.7
  pdsh-mod-slurm-ohpc.x86_64 0:2.33-97.1.ohpc.1.3.7
  slurm-devel-ohpc.x86_64 0:18.08.8-4.1.ohpc.1.3.8.1
  slurm-ohpc.x86_64 0:18.08.8-4.1.ohpc.1.3.8.1
  slurm-slurmctld-ohpc.x86_64 0:18.08.8-4.1.ohpc.1.3.8.1

¡Listo!
[root@localhost ~]# perl -pi -e "s/ControlMachine=\S+/ControlMachine=master/" /etc/slurm/slurm.conf
[root@localhost ~]#
```

Fuente: El Autor

Se configura la interfaz de red interna en el nodo master y habilitarla para su aprovisionamiento a los demás nodos como se detalla en el siguiente Gráfico 22.

Configuración de interfaz interna.

```
[root@localhost ~]# perl -pi -e "s/device = eth1/device = ens33/" /etc/warewulf/provision.conf
```

Habilitar el servicio tftp para la distribución de imagen en el nodo de cómputo.

```
[root@localhost ~]# perl -pi -e "s/^\s+disable\s+= yes/ disable = no/" /etc/xinetd.d/tftp
```

Habilitar la interfaz interna para aprovisionamiento.

```
[root@localhost ~]# ifconfig ens33 192.168.223.142 netmask 255.255.255.0 up
```

Gráfico 22

Configuración de Interfaz de Red del Host Master

```
[root@localhost ~]# perl -pi -e "s/device = eth1/device = ens33/" /etc/warewulf/provision.conf
[root@localhost ~]# perl -pi -e "s/^\s+disable\s+= yes/ disable = no/" /etc/xinetd.d/tftp
[root@localhost ~]# ifconfig ens33 192.168.223.142 netmask 255.255.255.0 up
```

Fuente: El Autor

Se habilita los servicios de aprovisionamiento de la base de datos MariaDB, servidor web http y

el protocolo *DHCP* (por sus siglas en ingles Dynamic Host Configuration Protocol) que se puede apreciar en el siguiente Gráfico 23.

Gráfico 23
Habilitación de Aprovisionamiento

```
[root@localhost ~]# systemctl restart xinetd
[root@localhost ~]# systemctl enable mariadb.service
[root@localhost ~]# systemctl restart mariadb
[root@localhost ~]# systemctl enable httpd.service
[root@localhost ~]# systemctl restart httpd
[root@localhost ~]# systemctl enable dhcpd.service
Created symlink from /etc/systemd/system/multi-user.target.wants/dhcpd.service to /usr/lib/systemd/system/dhcpd.service.
[root@localhost ~]#
```

Fuente: El Autor

Se inicializa los servicios de la base de datos de MariaDB con sus credenciales de acceso *ssh* por Warewulf para la muestra de datos del clúster en la plataforma HPC que se puede apreciar en el siguiente Gráfico 24.

Se inicializa base de datos Warewulf y accesos ssh.

```
[root@localhost ~]# wwininit database
[root@localhost ~]# wwininit ssh_keys
```

Gráfico 24
Iniciación de BD MariaDB

```
¡Listo!
[root@localhost ~]# wwininit database
database: Checking to see if RPM 'mysql-server' is installed NO
database: Checking to see if RPM 'mariadb-server' is installed OK
database: Activating Systemd unit: mariadb
database: + /bin/systemctl -q enable mariadb.service OK
database: + /bin/systemctl -q restart mariadb.service OK
database: + mysqladmin --defaults-extra-file=/tmp/0.RPeNMseD5wZX/my.cnf OK
database: Database version: UNDEF (need to create database)
database: + mysql --defaults-extra-file=/tmp/0.RPeNMseD5wZX/my.cnf ware OK
database: + mysql --defaults-extra-file=/tmp/0.RPeNMseD5wZX/my.cnf ware OK
database: + mysql --defaults-extra-file=/tmp/0.RPeNMseD5wZX/my.cnf ware OK
database: Checking binstore kind SUCCESS
Done.
[root@localhost ~]# wwininit ssh_keys
ssh_keys: Checking ssh keys for root OK
ssh_keys: Checking root's ssh config OK
ssh_keys: Checking for default RSA host key for nodes NO
ssh_keys: Creating default node ssh_host_rsa_key:
ssh_keys: + ssh-keygen -q -t rsa -f /etc/warewulf/vnfs/ssh/ssh_host_rsa OK
ssh_keys: Checking for default DSA host key for nodes NO
ssh_keys: Creating default node ssh_host_dsa_key:
ssh_keys: + ssh-keygen -q -t dsa -f /etc/warewulf/vnfs/ssh/ssh_host_dsa OK
ssh_keys: Checking for default ECDSA host key for nodes NO
ssh_keys: Creating default node ssh_host_ecdsa_key:
ssh_keys:
ssh_keys: Checking for default Ed25519 host key for nodes NO
ssh_keys: Creating default node ssh_host_ed25519_key:
ssh_keys: OK
Done.
[root@localhost ~]#
```

Fuente: El Autor

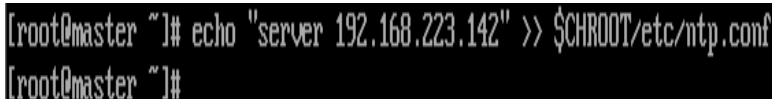
Se añade el servidor NTP en el nodo master para obtener información en tiempo real del clúster OpenHPC que se puede visualizar en el siguiente Gráfico 25.

Se añade servidor NTP del nodo master hacia los nodos cómputos

```
[root@localhost ~]# echo "server 192.168.223.142" >> $CHROOT/etc/ntp.conf
[root@localhost ~]# chroot $CHROOT systemctl enable ntpd
```

Gráfico 25

Adición de Servidor NTP en Host Master



```
[root@master ~]# echo "server 192.168.223.142" >> $CHROOT/etc/ntp.conf
[root@master ~]#
```

Fuente: El Autor

Se realiza la instalación del paquete de servicios de Ganglia en el host master que monitorea el desempeño del grid en el clúster OpenHPC y que se aprecia en el siguiente Gráfico 26.

Se instala Ganglia meta-package en el nodo master

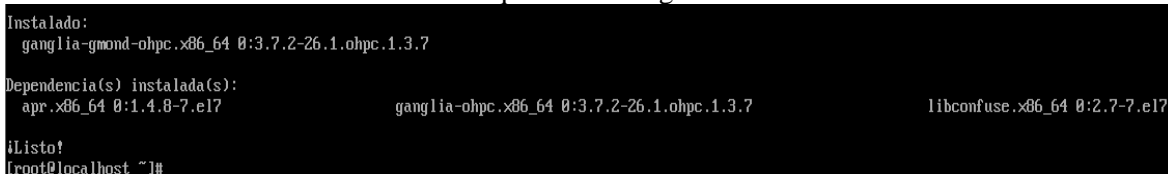
```
[root@localhost ~]# yum -y install ohpc-ganglia
```

Se instala Ganglia en los nodos computo

```
[root@localhost ~]# yum -y --installroot=$CHROOT install ganglia-gmond-ohpc
```

Gráfico 26

Instalación de Paquetes de Ganglia en Host Master



```
Instalado:
  ganglia-gmond-ohpc.x86_64 0:3.7.2-26.1.ohpc.1.3.7

Dependencia(s) instalada(s):
  apr.x86_64 0:1.4.8-7.e17                ganglia-ohpc.x86_64 0:3.7.2-26.1.ohpc.1.3.7                libconfuse.x86_64 0:2.7-7.e17

¡Listo!
[root@localhost ~]#
```

Fuente: El Autor

Se instala el demonio “gmond” de ganglia en el host master y los nodos computos C1 y C2 que se visualiza en el siguiente Gráfico 27.

Gráfico 27
Instalación Demonios de Ganglia en Host Master

```

Instalado:
ohpc-ganglia.x86_64 0:1.3.8-3.1.ohpc.1.3.8

Dependencia(s) instalada(s):
ganglia-devel-ohpc.x86_64 0:3.7.2-26.1.ohpc.1.3.7      ganglia-gmetad-ohpc.x86_64 0:3.7.2-26.1.ohpc.1.3.7      ganglia-gmond-ohpc.x86_64 0:3.7.2-26.1.ohpc.1.3.7
ganglia-gmond-python-ohpc.x86_64 0:3.7.2-26.1.ohpc.1.3.7      ganglia-ohpc.x86_64 0:3.7.2-26.1.ohpc.1.3.7      ganglia-web-ohpc.x86_64 0:3.7.2-26.1.ohpc.1.3.7
libXpm.x86_64 0:3.5.12-2.el7_9      libconfuse.x86_64 0:2.7-7.el7      libjpeg-turbo.x86_64 0:1.2.90-8.el7
libmencached.x86_64 0:1.0.16-5.el7      libxslt.x86_64 0:1.1.28-6.el7      libzip.x86_64 0:0.18.1-8.el7
php.x86_64 0:5.4.16-48.el7      php-ZendFramework.noarch 0:1.12.20-1.el7      php-bcmath.x86_64 0:5.4.16-48.el7
php-cli.x86_64 0:5.4.16-48.el7      php-common.x86_64 0:5.4.16-48.el7      php-gd.x86_64 0:5.4.16-48.el7
php-process.x86_64 0:5.4.16-48.el7      php-xml.x86_64 0:5.4.16-48.el7      t1lib.x86_64 0:5.1.2-14.el7

¡Listo!
[root@localhost ~]#

```

Fuente: El Autor

Se configura el demonio gmond de ganglia en el host master, se añade el nombre del grid que es del *TesisMaster* y se habilita los servicios de ganglia para ingresar al grid desde el navegador web en la dirección <https://localhost.com/ganglia> que se aprecia en el siguiente Gráfico 28.

```

Uso de script de configuración para habilitar receptor único del nodo master
[root@localhost ~]# cp /opt/ohpc/pub/examples/ganglia/gmond.conf /etc/ganglia/gmond.conf
[root@localhost ~]# perl -pi -e "s/<sms>/master/" /etc/ganglia/gmond.conf
Se añade configuración al nodo cómputo y se coloca el nombre del grid
[root@localhost ~]# cp /etc/ganglia/gmond.conf $CHROOT/etc/ganglia/gmond.conf
[root@localhost ~]# echo "gridname TesisMaster..." >> /etc/ganglia/gmetad.conf
Se comienza habilitar los servicios de ganglia
[root@localhost ~]# systemctl enable gmond
[root@localhost ~]# systemctl enable gmetad
[root@localhost ~]# systemctl start gmond
[root@localhost ~]# systemctl start gmetad
[root@localhost ~]# chroot $CHROOT systemctl enable gmond
Se restaura el servidor web
[root@localhost ~]# systemctl try-restart httpd

```

Gráfico 28

Habilitación de los Servicios de Ganglia en Grid TesisMaster

```
[root@localhost ~]# cp /opt/ohpc/pub/examples/ganglia/gmond.conf /etc/ganglia/gmond.conf
cp: ¿sobreescribir «/etc/ganglia/gmond.conf»? (s/n) s
[root@localhost ~]# perl -pi -e "s/<sms>/master/" /etc/ganglia/gmond.conf
[root@localhost ~]# cp /etc/ganglia/gmond.conf $CHROOT/etc/ganglia/gmond.conf
cp: ¿sobreescribir «/opt/ohpc/admin/images/centos7.4/etc/ganglia/gmond.conf»? (s/n) s
[root@localhost ~]# echo "gridname TesisMaster.." >> /etc/ganglia/gmetad.conf
[root@localhost ~]# systemctl enable gmond
Created symlink from /etc/systemd/system/multi-user.target.wants/gmond.service to /usr/lib/systemd/system/gmond.service.
[root@localhost ~]# systemctl enable gmetad
Created symlink from /etc/systemd/system/multi-user.target.wants/gmetad.service to /usr/lib/systemd/system/gmetad.service.
[root@localhost ~]# systemctl start gmond
[root@localhost ~]# systemctl start gmetad
[root@localhost ~]# chroot $CHROOT systemctl enable gmond
Created symlink /etc/systemd/system/multi-user.target.wants/gmond.service, pointing to /usr/lib/systemd/system/gmond.service.
[root@localhost ~]# systemctl try-restart httpd
[root@localhost ~]#
```

Fuente: El Autor

Se instala un *ClusterShell* basado en librería de Python para ejecutar los comandos en paralelo en los nodos del clúster. Esta configuración define el grid compuesto por dos nodos cómputos como se puede visualizar en el siguiente Gráfico 29.

Se instala ClusterShell

```
[root@localhost ~]# yum -y install clustershell-ohpc
```

Se configura la definición del nodo

```
[root@localhost ~]# cd /etc/clustershell/groups.d
```

```
[root@localhost ~]# mv local.cfg local.cfg.orig
```

```
[root@localhost ~]# echo "adm: master" > local.cfg
```

```
[root@localhost ~]# echo "compute: c [1-2]" >> local.cfg
```

```
[root@localhost ~]# echo "all: @adm,@compute" >> local.cfg
```

Gráfico 29
Instalación de Clustershell en Host Master

```
[root@localhost ~]# yum -y install clustershell-ohpc
Complementos cargados:fastestmirror
Loading mirror speeds from cached hostfile
* base: centos.ufms.br
* epel: ftp-chi.osuosl.org
* extras: centos.ufms.br
* updates: centos.ufms.br
El paquete clustershell-ohpc-1.8.2-3.1.ohpc.1.3.9.noarch ya se encuentra instalado con su versión más reciente
Nada para hacer
[root@localhost ~]# cd /etc/clustershell/groups.d
[root@localhost groups.d]# mv local.cfg local.cfg.orig
mv: ¿sobrescribir «local.cfg.orig»? (s/n) s
[root@localhost groups.d]# echo "adm: master" > local.cfg
[root@localhost groups.d]# echo "compute: c[1-2]" >> local.cfg
[root@localhost groups.d]# echo "all: @adm,@compute" >> local.cfg
[root@localhost groups.d]# cd
[root@localhost ~]#
```

Fuente: El Autor

Mediante el comando **“*wwsh node list*”** se muestra la información de la dirección IP y MAC de los nodos cómputo C1 y C2 en el host master que conforman el grid *TesisMaster* que se observa en el siguiente Gráfico 30.

Se añaden los nodos al almacenamiento de datos Warewulf.

```
[root@localhost ~]# wwsh -y node new c1 --ipaddr=192.168.23.131 --
hwaddr=00:0C:29:29:E2:56 -D ens36
[root@localhost ~]# wwsh -y node new c2 --ipaddr=192.168.223.157 --
hwaddr=00:0C:29:C6:E5:C3 -D ens36
[root@localhost ~]# wwsh node list
```

Gráfico 30
Registro de los Nodos C1 y C2

```
[root@localhost ~]# wwsh node list
NAME          GROUPS          IPADDR          HWADDR
-----
c1             UNDEF           192.168.223.131 00:0c:29:29:e2:56
c2             UNDEF           192.168.223.157 00:0c:29:c6:e5:c3
[root@localhost ~]#
```

Fuente: El Autor

Se define la imagen de *VNFS* sistema de archivo de nodo virtual (por sus siglas en ingles Virtual Node File System) que restaura los servicios de ganglia y dhcp para visualizar el grid en el navegador web como se aprecia en el siguiente Gráfico 31.

Se define la imagen VNFS.

```
[root@localhost ~]# wvsh -y provision set "c1" --vnfs=centos7.7 --bootstrap=`uname -r` --files=dynamic_hosts,passwd,group,shadow,slurm.conf,munge.key,network
```

```
[root@localhost ~]# wvsh -y provision set "c2" --vnfs=centos7.7 --bootstrap=`uname -r` --files=dynamic_hosts,passwd,group,shadow,slurm.conf,munge.key,network
```

Se restaura los servicios de ganglia/dhcp.

```
[root@localhost ~]# systemctl restart gmond
```

```
[root@localhost ~]# systemctl restart gmetad
```

```
[root@localhost ~]# systemctl restart dhcpd
```

Gráfico 31

Nodos de Aprovisionamiento C1 y C2

```
[root@localhost ~]# wvsh provision list
NODE          VNFS          BOOTSTRAP     FILES
=====
c1            centos7.7     3.10.0-1160.el7.x86_64 dynamic_hosts,grou...
c2            centos7.7     3.10.0-1160.el7.x86_64 dynamic_hosts,grou...
[root@localhost ~]#
```

Fuente: El Autor

Se verifica en el siguiente Gráfico 32 los servicios de aprovisionamientos de los nodos cómputo registrados en el directorio “*/etc/hosts*” que se encuentran en el host master.

Gráfico 32

Registro de Nodos de Aprovisionamiento

```
127.0.0.1    localhost localhost.localdomain localhost4 localhost4.localdomain4
::1        localhost localhost.localdomain localhost6 localhost6.localdomain6
192.168.223.142 master
### ALL ENTRIES BELOW THIS LINE WILL BE OVERWRITTEN BY WAREWOLF ###
#
# See provision.conf for configuration paramaters

# Node Entry for node: c1 (ID=14)
192.168.223.131    c1.localdomain c1 c1-ens36.localdomain c1-ens36

# Node Entry for node: c2 (ID=15)
192.168.223.157    c2.localdomain c2 c2-ens36.localdomain c2-ens36
```

Fuente: El Autor

En los nodos C1 y C2 se ingresa al directorio de ganglia para luego acceder a la configuración del demonio gmond que se aprecia en el siguiente Gráfico 33.

Acceso al directorio de ganglia.

```
[root@c1 ~]# cd /etc/ganglia/
```

Gráfico 33

Acceso a Ganglia C1 y C2

```
[root@c1 ~]# cd /etc/ganglia/  
[root@c1 ganglia]# ls  
conf.d gmond.conf  
[root@c1 ganglia]#
```

Fuente: El Autor

Se realiza el ingreso a la configuración del demonio gmond en los nodos C1 y C2 para efectuar los cambios en los parámetros en el nombre del clúster que en este caso es el de “*OpenHPC*”, el *udp_send_channel*, *udp_recv_channel* y *tcp_accept_channel*. Debe quedar configurado tal como se muestra en los siguientes Gráficos 34, 35 y 36. Al finalizar se digita el comando :wq para guardar los cambios respectivos.

Acceso a la configuración del demonio gmond.

```
[root@c1 ganglia]# vi gmond.conf
```

Gráfico 34

Nombre del Clúster OpenHPC

```
/*  
 * The cluster attributes specified will be used as part of the <CLUSTER>  
 * tag that will wrap all hosts collected by this instance.  
 */  
cluster {  
    name = "OpenHPC"  
    owner = "unspecified"  
    latlong = "unspecified"  
    url = "unspecified"  
}
```

Fuente: El Autor

En los nodos C1 y C2 se comenta con el signo # los parámetros de *bind_hostname* y *mcast_join*. Donde sólo quede habilitado los parámetros de *host*, *port* y *tll* que se observa en el siguiente Gráfico 35.

Gráfico 35

Vista Parámetro udp_send_channel

```
/* Feel free to specify as many udp_send_channels as you like. Gmond
   used to only support having a single channel */
udp_send_channel {
    #bind_hostname = yes # Highly recommended, soon to be default.
                        # This option tells gmond to use a source address
                        # that resolves to the machine's hostname. Without
                        # this, the metrics may appear to come from any
                        # interface and the DNS names associated with
                        # those IPs will be used to create the RRDs.
    # mcast_join = 239.2.11.71
    host = master
    port = 8649
    ttl = 1
}
```

Fuente: El Autor

Se digita con el signo # los parámetros de *mcast_join*, *bind*, *port*, *retry_bind*, etc en los nodos C1 y C2 que se visualiza en el siguiente Gráfico 36.

Gráfico 36

Vista Parámetro udp_recv_channel

```
/* You can specify as many udp_recv_channels as you like as well. */
udp_recv_channel {
    # mcast_join = 239.2.11.71
    # port = 8649
    # bind = 239.2.11.71
    # retry_bind = true
    # Size of the UDP buffer. If you are handling lots of metrics you really
    # should bump it up to e.g. 10MB or even higher.
    # buffer = 10485760
}
```

Fuente: El Autor

Se aprecia en el siguiente Gráfico 37 como debe quedar digitado con el signo # los parámetros de *port*, *gzip XML* y *gzip_output*.

Gráfico 37

Vista Parámetro tcp_accept_channel

```
/* You can specify as many tcp_accept_channels as you like to share
   an xml description of the state of the cluster */
tcp_accept_channel {
    # port = 8649
    # If you want to gzip XML output
    # gzip_output = no
}
```

Fuente: El Autor

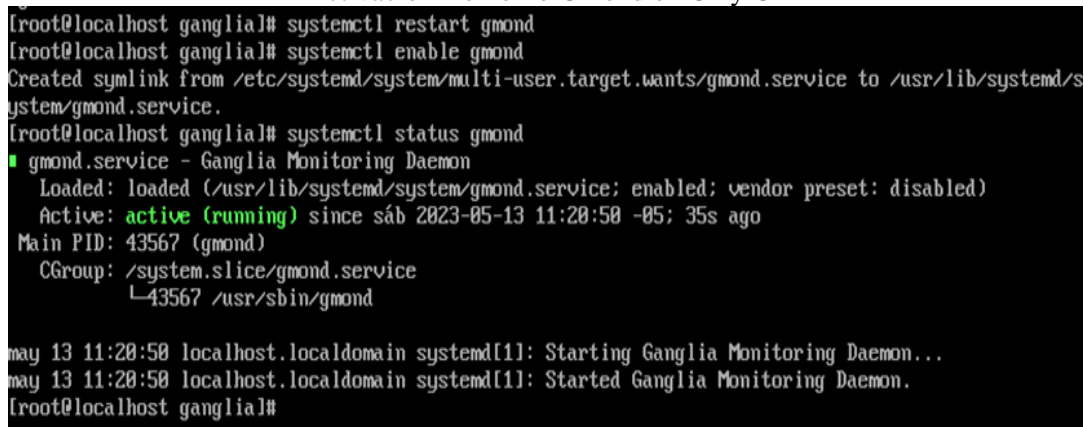
Se observa en el siguiente Gráfico 38 la habilitación del demonio gmond en los nodos C1 y C2 con estado *activo* y pueda ser ejecutado de manera correcta en el navegador web.

Se habilita el demonio gmond.

```
[root@c1 ganglia]# systemctl restart gmond  
[root@c1 ganglia]# systemctl enable gmond  
[root@c1 ganglia]# systemctl status gmond
```

Gráfico 38

Activación Demonio Gmond en C1 y C2



```
[root@localhost ganglia]# systemctl restart gmond  
[root@localhost ganglia]# systemctl enable gmond  
Created symlink from /etc/systemd/system/multi-user.target.wants/gmond.service to /usr/lib/systemd/s  
ystem/gmond.service.  
[root@localhost ganglia]# systemctl status gmond  
■ gmond.service - Ganglia Monitoring Daemon  
   Loaded: loaded (/usr/lib/systemd/system/gmond.service; enabled; vendor preset: disabled)  
   Active: active (running) since sáb 2023-05-13 11:20:50 -05; 35s ago  
     Main PID: 43567 (gmond)  
      CGroup: /system.slice/gmond.service  
             └─43567 /usr/sbin/gmond  
  
may 13 11:20:50 localhost.localdomain systemd[1]: Starting Ganglia Monitoring Daemon...  
may 13 11:20:50 localhost.localdomain systemd[1]: Started Ganglia Monitoring Daemon.  
[root@localhost ganglia]#
```

Fuente: El Autor

Se realiza la instalación del lenguaje R en el host master que se muestra a continuación en el siguiente Gráfico 39.

Se instala el lenguaje R en el nodo master.

```
[root@localhost ~]# yum install R -y
```

Gráfico 39

Instalación de R en Host Master

```
tk.x86_64 1:8.5.13-6.e17
tk-devel.x86_64 1:8.5.13-6.e17
tre.x86_64 0:0.8.0-18.20140228gitc2f5d13.e17
tre-common.noarch 0:0.8.0-18.20140228gitc2f5d13.e17
tre-devel.x86_64 0:0.8.0-18.20140228gitc2f5d13.e17
ttmkfdir.x86_64 0:3.0.9-42.e17
tzdata-java.noarch 0:2023c-1.e17
unzip.x86_64 0:6.0-24.e17_9
urw-base35-bookman-fonts.noarch 0:20170801-10.e17
urw-base35-c059-fonts.noarch 0:20170801-10.e17
urw-base35-d0500001-fonts.noarch 0:20170801-10.e17
urw-base35-fonts.noarch 0:20170801-10.e17
urw-base35-fonts-common.noarch 0:20170801-10.e17
urw-base35-gothic-fonts.noarch 0:20170801-10.e17
urw-base35-nimbus-mono-ps-fonts.noarch 0:20170801-10.e17
urw-base35-nimbus-roman-fonts.noarch 0:20170801-10.e17
urw-base35-nimbus-sans-fonts.noarch 0:20170801-10.e17
urw-base35-p052-fonts.noarch 0:20170801-10.e17
urw-base35-standard-symbols-ps-fonts.noarch 0:20170801-10.e17
urw-base35-z003-fonts.noarch 0:20170801-10.e17
xdg-utils.noarch 0:1.1.0-0.17.20120809git.e17
xorg-x11-font-utils.x86_64 1:7.5-21.e17
xorg-x11-fonts-Type1.noarch 0:7.5-9.e17
xorg-x11-proto-devel.noarch 0:2018.4-1.e17
xorg-x11-server-utils.x86_64 0:7.7-20.e17
xz-devel.x86_64 0:5.2.2-2.e17_9
zip.x86_64 0:3.0-11.e17
zziplib.x86_64 0:0.13.62-12.e17

¡Listo!
root@localhost ~]#
```

Fuente: El Autor

Se procede con la descarga de RStudio Server en el host master con el siguiente comando que se visualiza a continuación en el siguiente Gráfico 40.

Se descarga el entorno RStudio Server en el nodo master.

```
[root@localhost ~]# wget https://download2.rstudio.org/rstudio-server-rhel-1.0.136-x86_64.rpm
```

Gráfico 40

Descarga de RStudio Server en Host Master

```
(root@localhost ~]# wget https://download2.rstudio.org/rstudio-server-rhel-1.0.136-x86_64.rpm
--2023-04-08 13:50:24-- https://download2.rstudio.org/rstudio-server-rhel-1.0.136-x86_64.rpm
Resolviendo download2.rstudio.org (download2.rstudio.org)... 13.226.52.82, 13.226.52.35, 13.226.52.10, ...
Conectando con download2.rstudio.org (download2.rstudio.org)(13.226.52.82):443... conectado.
Petición HTTP enviada, esperando respuesta... 200 OK
Longitud: 41443176 (40M) [application/x-redhat-package-manager]
Grabando a: "rstudio-server-rhel-1.0.136-x86_64.rpm"

100%[=====] 41.443.176 5,34MB/s en 6,6s

2023-04-08 13:50:33 (5,97 MB/s) - "rstudio-server-rhel-1.0.136-x86_64.rpm" guardado [41443176/41443176]
(root@localhost ~]#
```

Fuente: El Autor

Se realiza la instalación de RStudio Server en el nodo master con el correspondiente comando que

se muestra a continuación en el siguiente Gráfico 41.

Se instala el entorno RStudio Server en el nodo master.

```
[root@localhost ~]# yum install --nogpgcheck rstudio-server-rhel-1.0.136-x86_64.rpm -y
```

Gráfico 41

Instalación de RStudio Server en Host Master

```
Instalado:
rstudio-server.x86_64 0:1.0.136-1

Dependencia(s) instalada(s):
psmisc.x86_64 0:22.20-17.el7

¡Listo!
[root@localhost ~]#
```

Fuente: El Autor

Se comprueba que se encuentre en estado activo el servicio de RStudio Server para ser ejecutado en el host master mediante el comando que se refleja en el siguiente Gráfico 42.

Se comprueba RStudio Server.

```
[root@localhost ~]# systemctl status rstudio-server.service
```

Gráfico 42

Estado Activo de RStudio Server

```
[root@localhost ~]# systemctl status rstudio-server.service
■ rstudio-server.service - RStudio Server
   Loaded: loaded (/etc/systemd/system/rstudio-server.service; enabled; vendor preset: disabled)
   Active: active (running) since sáb 2023-04-08 13:53:14 -05; 2min 12s ago
     Process: 38975 ExecStart=/usr/lib/rstudio-server/bin/rsserver (code=exited, status=0/SUCCESS)
    Main PID: 38976 (rsserver)
      CGroup: /system.slice/rstudio-server.service
              └─38976 /usr/lib/rstudio-server/bin/rsserver

abr 08 13:53:13 localhost.localdomain systemd[1]: Starting RStudio Server...
abr 08 13:53:14 localhost.localdomain systemd[1]: Started RStudio Server.
[root@localhost ~]# systemctl enable rstudio-server.service
```

Fuente: El Autor

4.1.4. Script de aproximación del número Pi

El script fue facilitado por la División Estadística del Departamento de Población y Ciencias de la

Salud Pública (USC Biostatistics) de la Universidad del Sureste de California disponible en su repositorio de GitHub <https://github.com/USCbiostats/slurmr-workshop>. Utiliza una versión paralela de `mclapply` que devuelve una lista de la misma longitud, donde cada elemento es el resultado correspondiente de la simulación. (Yon, 2021). Se presenta a continuación en la Tabla 8 el script del *número Pi* desarrollado en lenguaje R donde muestra sus parámetros de modelos, la función a simular y los métodos de aproximación con el uso de `mclapply`.

Tabla 8
Script Aproximación *Número Pi*

```
02-mclapply.R
# Model parameters
nsims <- 1e3
n <- 1e4
ncores <- 4L

# Function to simulate pi
simpi <- function(i) {

  p <- matrix(runif(n*2, -1, 1), ncol = 2)
  mean(sqrt(rowSums(p^2)) <= 1) * 4

}

# Approximation
set.seed(12322)
ans <- parallel::mclapply(1:nsims, simpi, mc.cores = ncores)
ans <- unlist(ans)

message("Pi: ", mean(ans))

saveRDS(ans, "02-mclpplly.rds")
```

Fuente: (USCbiostats, 2021)

4.2. Presentación de la Plataforma HPC y entorno del script del *número Pi*

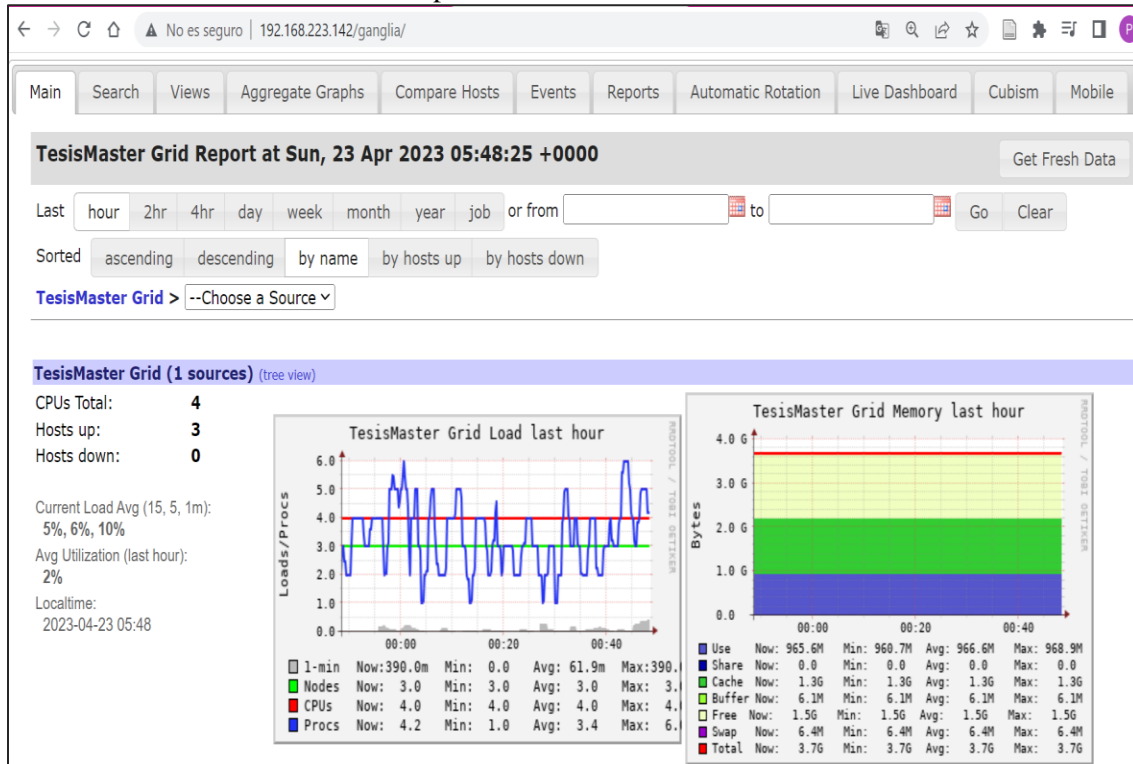
Se presenta el clúster OpenHPC con el grid TesisMaster mediante la aplicación de Ganglia para monitorear su estado de desempeño. Se procede con la ejecución del script de aproximación del *número Pi* en el entorno RStudio Server, donde se verifica los resultados de su simulación y se realiza el análisis de la plataforma HPC.

4.2.1. Ganglia Monitoring para OpenHPC

Ganglia Monitoring es una herramienta que monitorea el estado de desempeño de un clúster HPC

compuesto por cada uno de los nodos que muestra el comportamiento del grid instalado en el nodo master. Se divisa en el siguiente Gráfico 43 el entorno general de Ganglia del grid TesisMaster con sus métricas de carga de trabajo y red.

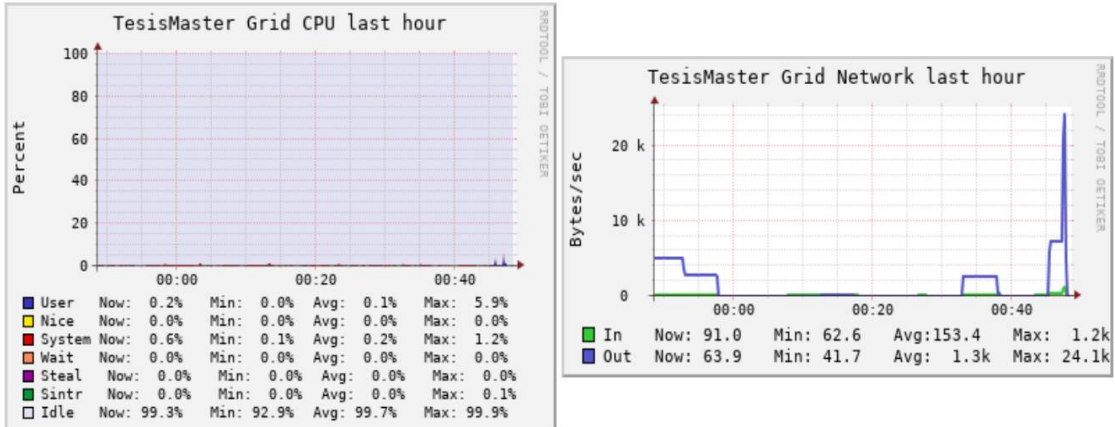
Gráfico 43
Reporte del Grid TesisMaster



Fuente: El Autor

Se visualiza en el Gráfico 44 el comportamiento de las métricas de reportes del CPU y envío de datos en la red del grid TesisMaster.

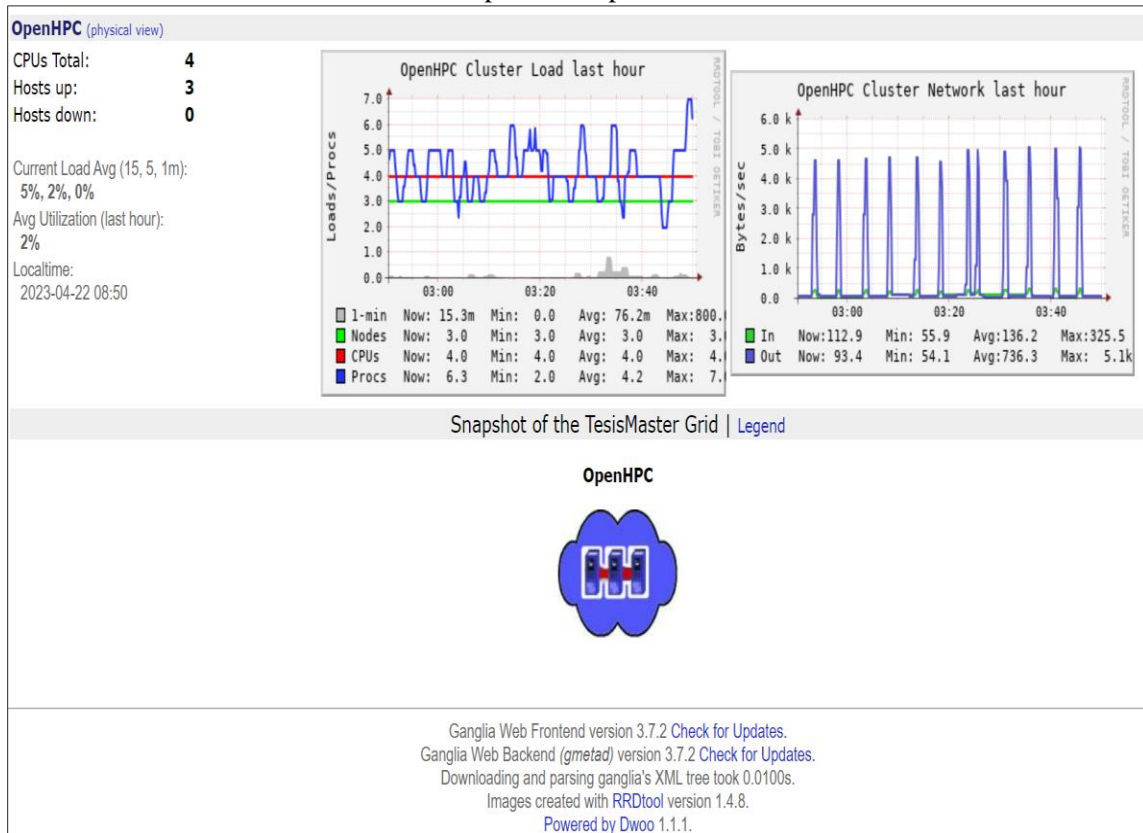
Gráfico 44
Reporte de CPU y Red



Fuente: El Autor

Posteriormente se aprecia en el Gráfico 45 el reporte de carga de trabajo y tráfico de red del clúster físico de OpenHPC.

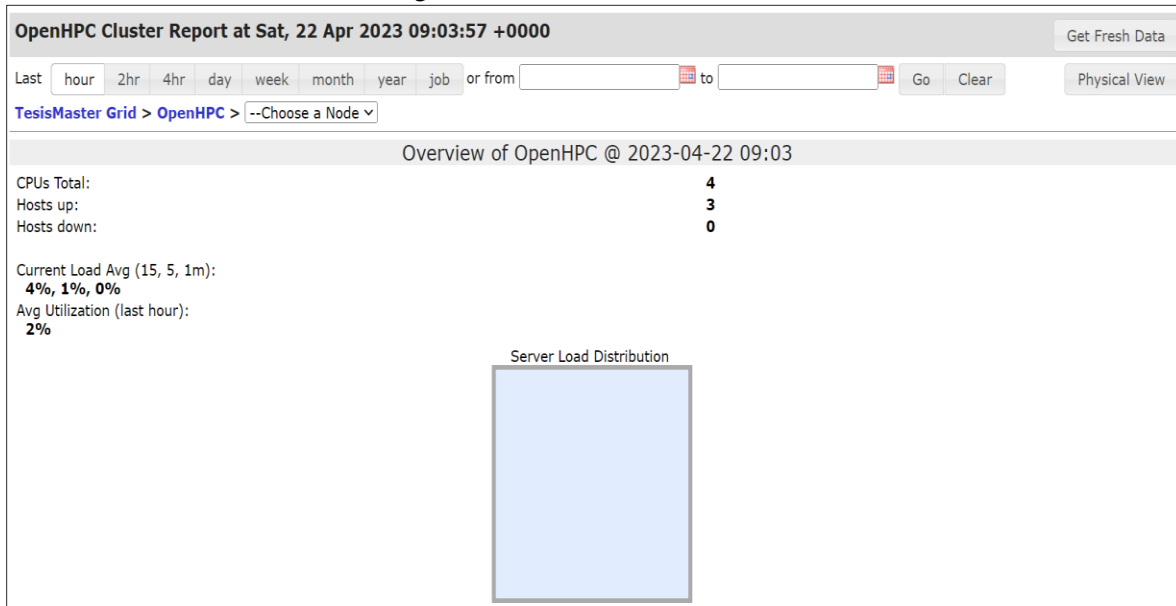
Gráfico 45
Reporte de OpenHPC



Fuente: El Autor

Se aprecia en el siguiente Gráfico 46 la distribución de carga del servidor del grid TesisMaster en el clúster OpenHPC donde muestra su porcentaje de promedio de carga actual y de utilización.

Gráfico 46
Carga Promedio del Grid TesisMaster



Fuente: El Autor

Se presenta un resumen sobre el consumo de carga única del clúster OpenHPC para el grid TesisMaster conformados por los nodos master, C1 y C2 que se visualizan en el siguiente Gráfico 47.

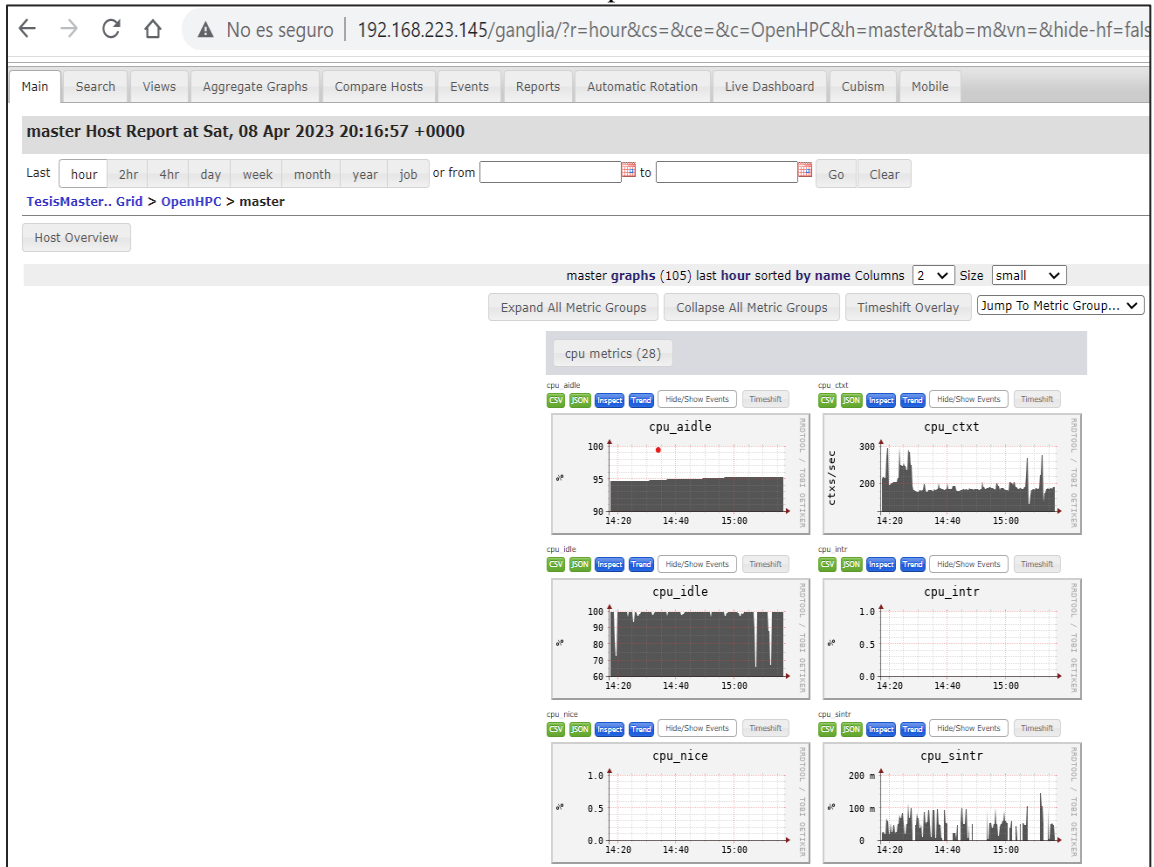
Gráfico 47
Promedio de Carga de OpenHPC



Fuente: El Autor

Por último, Se muestra en el Gráfico 48 un resumen de las métricas de procesos del grid TesisMaster para el clúster físico OpenHPC en el nodo master, lo que servirá como base para el análisis de la plataforma HPC.

Gráfico 48
Métricas de Open HPC



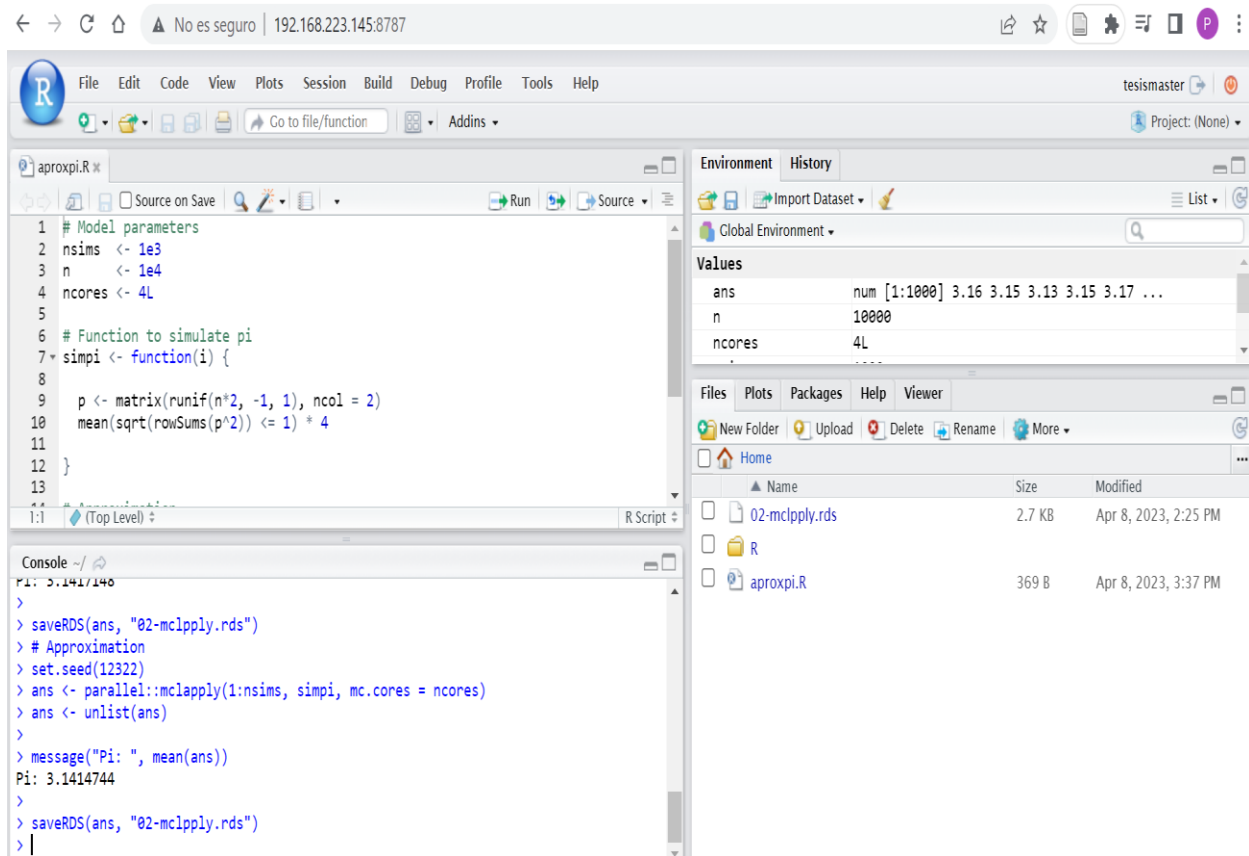
Fuente: El Autor

4.2.2. Script de aproximación del número π en RStudio Server

Se realizó la instrucción de copiar-pegar del script de aproximación del *número Pi* en el entorno RStudio Server para luego proceder con las ejecuciones y obtener los resultados de las pruebas de la simulación. El procedimiento de instalación y configuración del entorno RStudio Server en el nodo master se lo encuentra en el apartado de ANEXO 4.

Se visualiza en el Gráfico 49 el entorno general de RStudio Server que está compuesto básicamente de un entorno global de desarrollo, gestor de archivos y consola.

Gráfico 49
Entorno RStudio Server



Fuente: El Autor

4.3. Análisis de Desempeño y Pruebas de la Plataforma HPC

En el análisis de desempeño se realiza la ejecución del script de aproximación del *número Pi* en el entorno RStudio Server y se procede con el análisis del clúster OpenHPC en la plataforma web de Ganglia Monitoring que proporciona un resumen general de los nodos que conforman el grid TesisMaster.

4.3.1. Ejecución del Script del número Pi

La ejecución del script de aproximación del *número Pi* se puede realizar en dos entornos como el de RStudio Server o en la terminal de CentOS. Para llevar a cabo la simulación se ejecuta la librería

paralela mclapply en los entornos planteados. Se muestra en la siguiente Tabla 9 el método de la librería mclapply que presenta el resultado aproximado del *número Pi*.

Tabla 9
Librería Paralela Mclapply

```
ans <- parallel::mclapply(1:nsims, simpi, mc.cores = ncores)
ans <- unlist(ans)
message("Pi: ", mean(ans))
```

Fuente: (USCbiostats, 2021)

Se visualiza en el siguiente Gráfico 50 la ejecución de la librería paralela mclapply en la terminal del nodo master que se observa el resultado de dos ejecuciones para la simulación del aproximado *número Pi*.

Gráfico 50
Ejecución de mclapply en terminal CentOS

```
> ans <- parallel::mclapply(1:nsims, simpi, mc.cores = ncores)
ans <- unlist(ans)
message("Pi: ", mean(ans))> ans <- unlist(ans)
>
> message("Pi: ", mean(ans))
Pi: 3.1409716
> ans <- parallel::mclapply(1:nsims, simpi, mc.cores = ncores)
ans <- unlist(ans)
message("Pi: ", mean(ans))> ans <- unlist(ans)
>
> message("Pi: ", mean(ans))
Pi: 3.1418596
>
```

Fuente: El Autor

Se muestra en la siguiente Tabla 10 un resumen de cada una de las variables y funciones del script del *número Pi* con los parámetros de tipo, longitud, tamaño y valor.

Tabla 10
Resumen de Variables y Funciones

Nombre	Tipo	Longitud	Tamaño	Valor
ans	Numérico	1000	7.9 KB	Num [1:1000]
n	Numérico	1	56 B	10000
ncores	Entero	1	56 B	4L
nsims	Numérico	1	56 B	1000

simpi	Función	1	30.2 KB	Función (i)
--------------	---------	---	---------	-------------

Fuente: El Autor

Por medio de la consola de RStudio Server se presenta la ejecución del cálculo aproximado del *número Pi* con uso de la librería *mclapply* que se observa en el siguiente Gráfico 51.

Gráfico 51

Resultado de Simulación del número pi en RStudio Server

```

Console ~/
> ans <- parallel::mclapply(1:nsims, simpi, mc.cores = ncores)
> ans <- unlist(ans)
>
> message("Pi: ", mean(ans))
Pi: 3.1406872
> ans <- parallel::mclapply(1:nsims, simpi, mc.cores = ncores)
> ans <- unlist(ans)
>
> message("Pi: ", mean(ans))
Pi: 3.1415224
>

```

Fuente: El Autor

Se señala en la siguiente Tabla 11 el resumen de treinta ejecuciones del script *número Pi* en el entorno de RStudio Server que servirá para el análisis de desempeño del grid TesisMaster en el clúster OpenHPC.

Tabla 11

Resumen de Ejecución de la Simulación del número Pi

Número de Ejecución	Número de Simulaciones	Resultado Aproximado
1	[1:1000]	3.1406872
2	[1:1000]	3.1415224
3	[1:1000]	3.142086
4	[1:1000]	3.141432
5	[1:1000]	3.1417396
...
30	[1:1000]	3.1429675

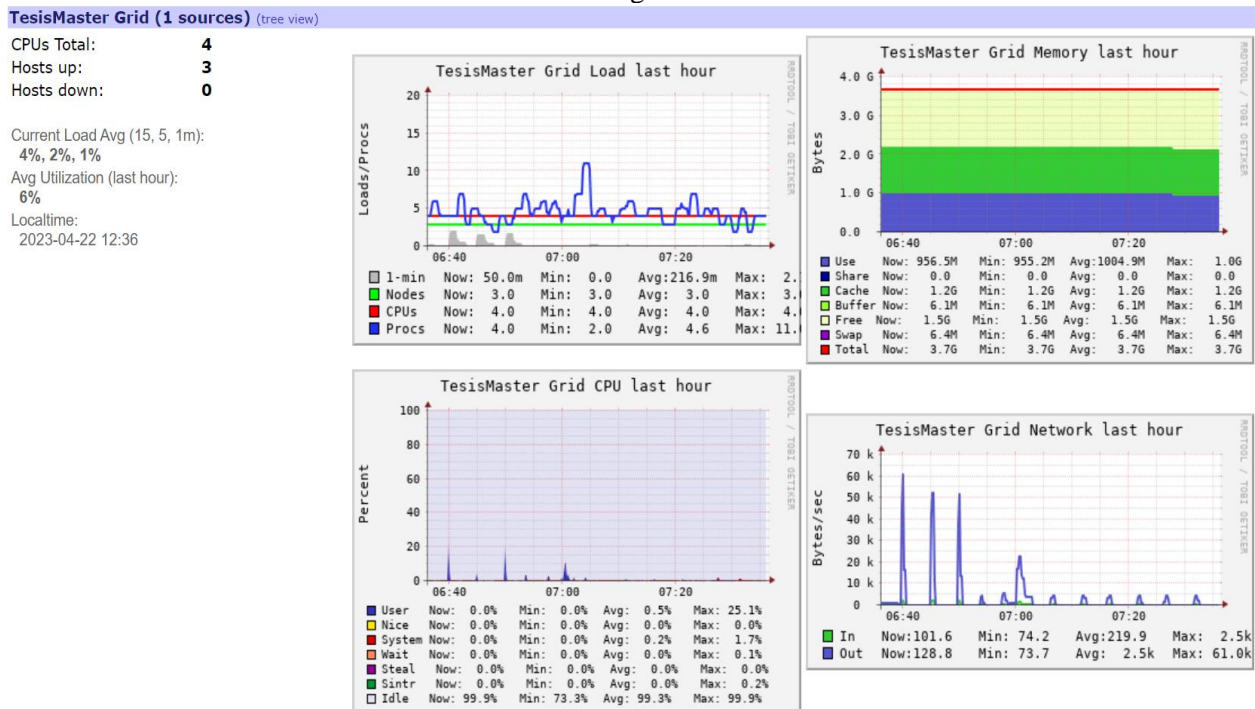
Fuente: El Autor

4.3.2. Análisis de Desempeño del Clúster

En este correspondiente análisis de desempeño se tomará como referencia la métrica de **carga general** del grid *TesisMaster* que obtiene una vision general del comportamiento de cada uno de los nodos que conforman el clúster OpenHPC.

Se analiza el comportamiento del grid con los parametros de consumo de memoria, carga de red y carga de procesamiento que se visualiza en el siguiente Gráfico 52 el consumo de recursos del grid en el clúster OpenHPC.

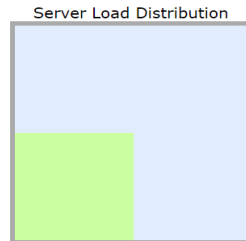
Gráfico 52
Análisis General de Carga del Grid TesisMaster



Fuente: El Autor

La distribución de carga del servidor refleja un promedio de carga del 24% que denota en *color fosforescente*, para una carga promedio actual del 12% en el reporte de actualización de última hora de uso que se divide en el siguiente Gráfico 53.

Gráfico 53 Distribución de carga del servidor

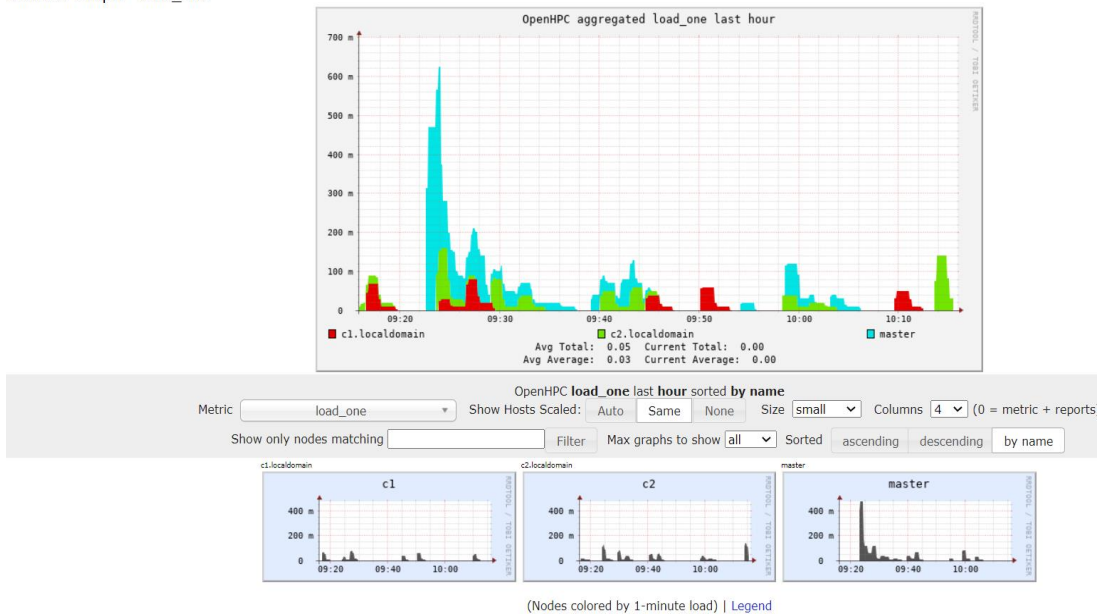


Fuente: El Autor

Se aprecia la carga de los nodos agrupados en el siguiente Gráfico 54 donde el nodo master proporciona una mayor carga debido a que distribuye la información a los demás nodos. También porque aloja la configuración del clúster OpenHPC y el entorno de RStudio Server.

Gráfico 54 Nodos agrupados de carga única

Stacked Graph - load_one

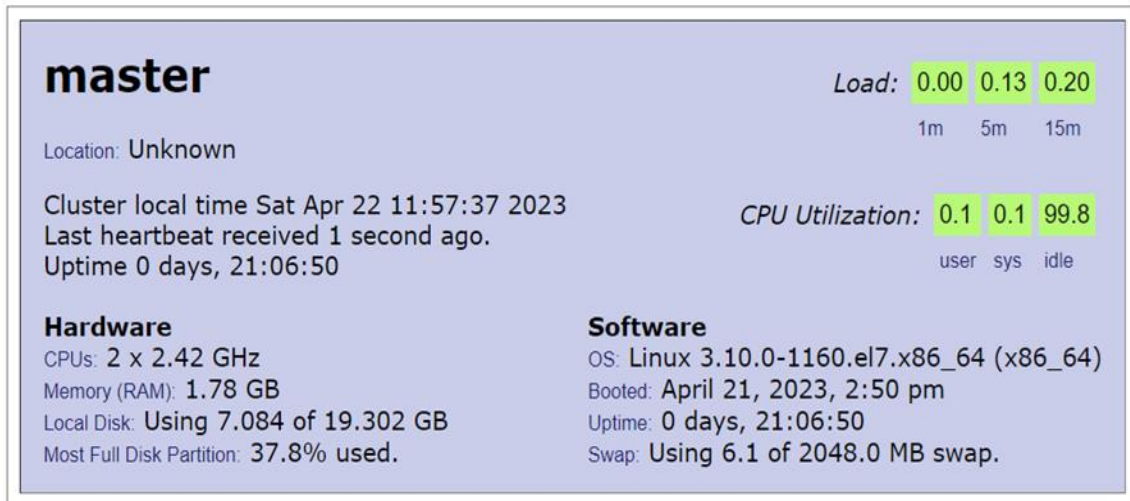


Fuente: El Autor

Se presenta en el siguiente Gráfico 55 un resumen general de las características del nodo master como el hardware, software, carga y uso del CPU. Se aprecia también el reporte referente a la

carga y uso de procesamiento que monitorea en tiempo real el desempeño del clúster con la finalidad de poder brindar una distribución de carga óptima a través del grid.

Gráfico 55
Resumen de Carga del Nodo Master



[Physical View](#) | [Reload](#)

Fuente: El Autor

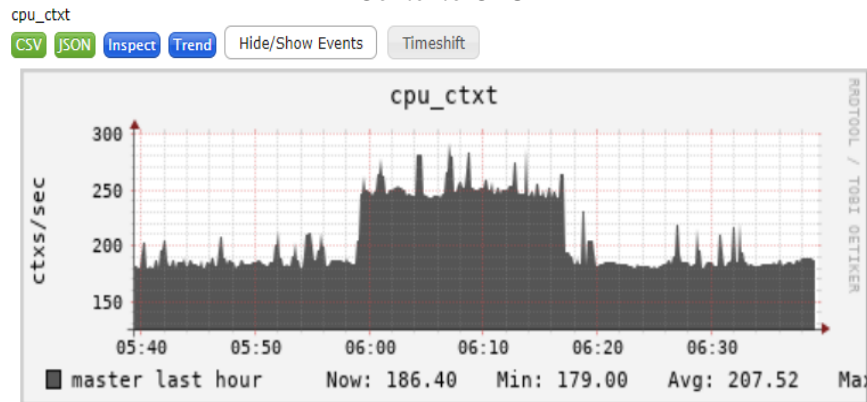
4.3.3. Análisis de métricas de desempeño de carga única del nodo master

Con los datos obtenidos de las métricas de procesamiento, disco, memoria y red se analiza el desempeño del nodo master para monitorear el comportamiento de carga que requiere una atención oportuna en el clúster. A continuación, se presenta cada una de las métricas del nodo master del grid *TesisMaster*.

Métricas de CPU.

La presente métrica refleja el contexto de carga que almacena o restaura el estado del CPU en el que se comparten los multiprocesos de manera única en el CPU del nodo master. En este caso la carga máxima de multiprocesos alcanza el intervalo promedio de 207.52 ctxts/seg que se muestra en el siguiente Gráfico 56.

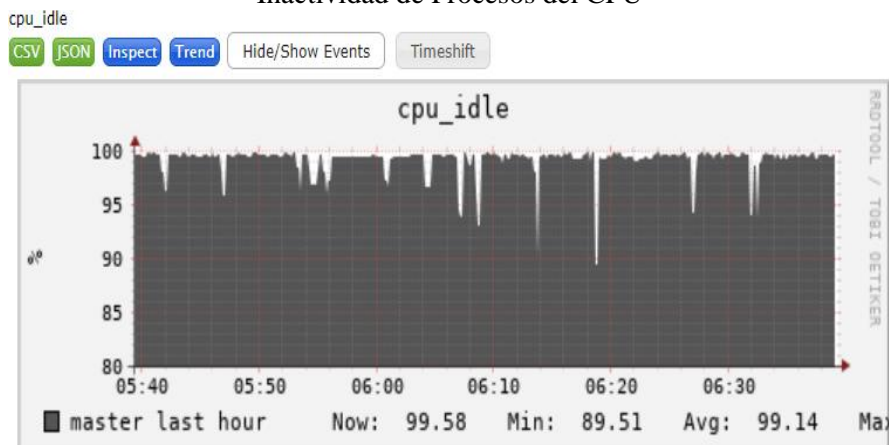
Gráfico 56
Contexto CPU



Fuente: El Autor

Se observa en el siguiente Gráfico 57 que hay un 99.14% de carga en baja prioridad para que no genere conflicto con los procesos que requieran ejecuciones en prioridad normal, lo que facilita un desempeño óptimo sobre los otros procesos.

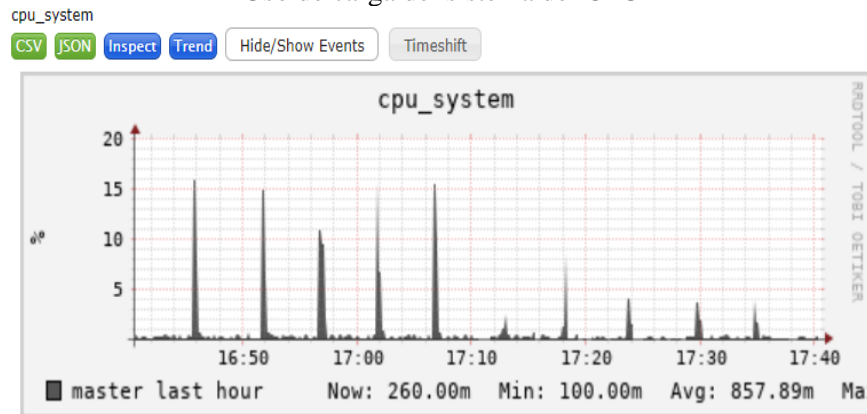
Gráfico 57
Inactividad de Procesos del CPU



Fuente: El Autor

Se analiza en el siguiente Gráfico 58 que el uso de carga de 857.89m refleja un comportamiento de ejecución de procesos del 16%, lo que favorece un desempeño fluido en la carga del sistema.

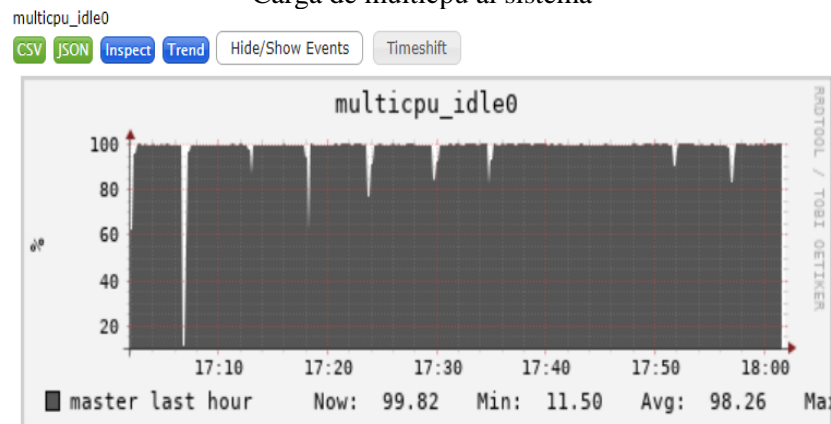
Gráfico 58
Uso de carga del sistema del CPU



Fuente: El Autor

Se divisa en el siguiente Gráfico 59 una ocurrencia de carga del 98.26% de multiprocesos en prioridad baja para dar prioridad a los multiprocesos que requieran prioridad de ejecución alta.

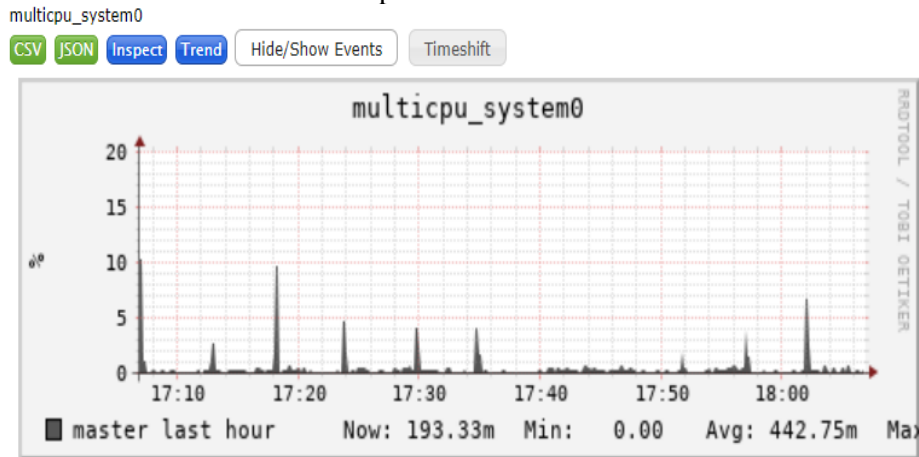
Gráfico 59
Carga de multicpu al sistema



Fuente: El Autor

Se refleja en el siguiente Gráfico 60 una carga de multiprocesos de 442.75m con un porcentaje de uso del 11% en las ejecuciones a nivel de sistema.

Gráfico 60
Multicpu a nivel de sistema

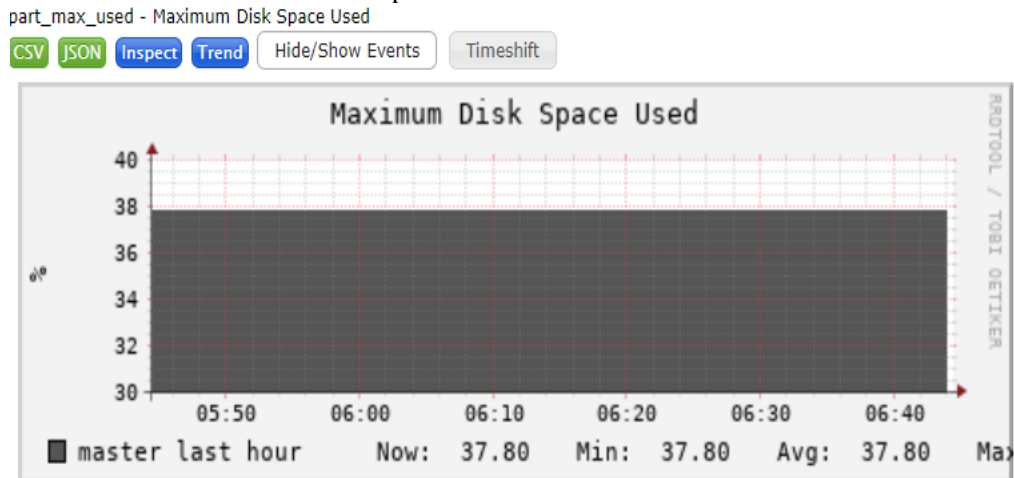


Fuente: El Autor

Métricas de Disco

En esta métrica se analiza que el máximo usado de almacenamiento en el host master es del 37.8% como se puede visualizar en el siguiente Gráfico 61.

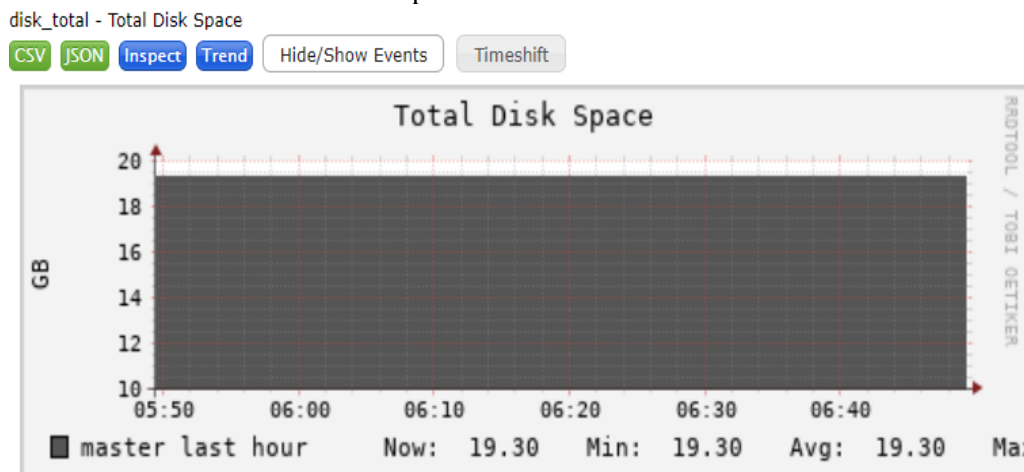
Gráfico 61
Espacio usado en el disco



Fuente: El Autor

Se observa en el siguiente Gráfico 62 que el total de espacio disponible del disco que es de 19 GB en el nodo master.

Gráfico 62
Espacio Total del disco

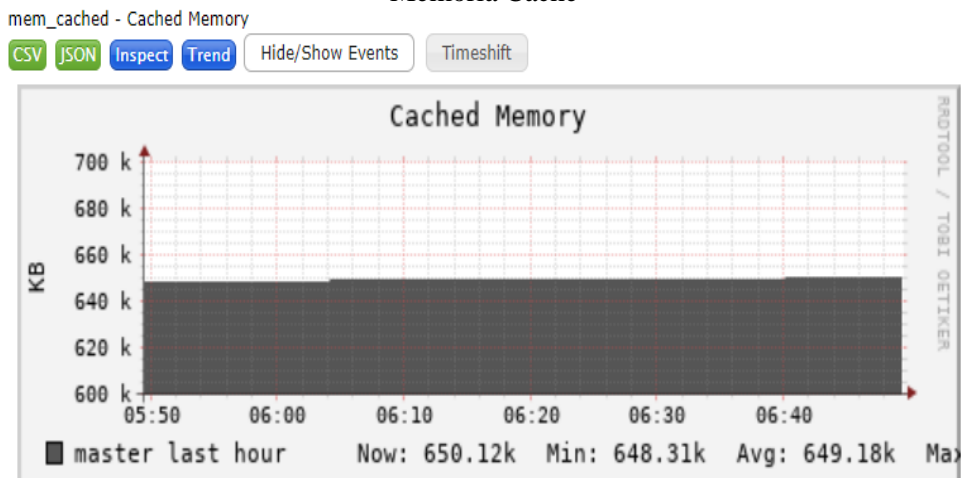


Fuente: El Autor

Métricas de Memoria

Se analiza que la carga de memoria cache almacenada de datos es de promedio 649.18 KB como se puede visualizar en el siguiente Gráfico 63.

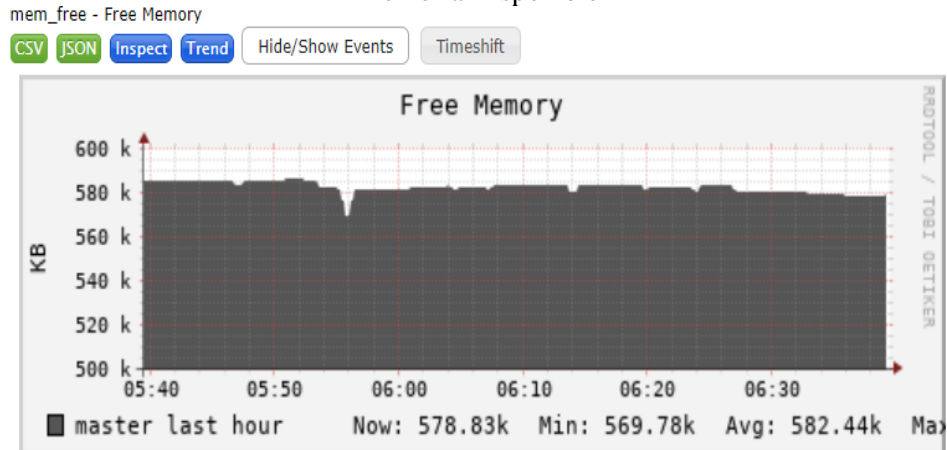
Gráfico 63
Memoria Cache



Fuente: El Autor

Se examina en el siguiente Gráfico 64 que la cantidad de memoria ram disponible es de 582.44 K, esto favorece el aprovechamiento al máximo del desempeño del grid.

Gráfico 64
Memoria Disponible

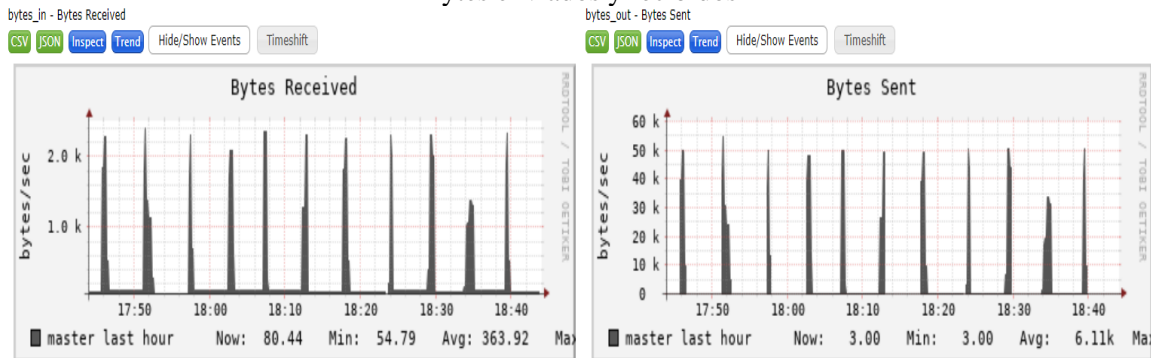


Fuente: El Autor

Métricas de Red

Se aprecia en el siguiente Gráfico 65 que el tráfico de carga en bytes enviados y recibidos en el nodo master son alrededor 55 KB/seg y 2.3 KB/seg respectivamente. Lo que muestra una latencia de tráfico estándar en el grid para los bytes que se envían y reciben.

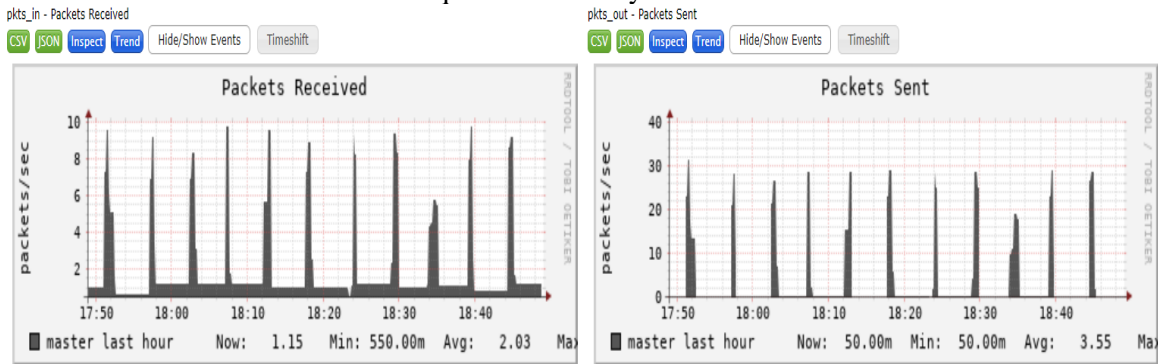
Gráfico 65
Bytes enviados y recibidos



Fuente: El Autor

Se analiza que el tráfico de paquetes es de 3.55 paquetes enviados y 2.03 paquetes recibidos respectivamente, lo que muestra en el Gráfico 66 un comportamiento equilibrado de envío y recibido paquetes.

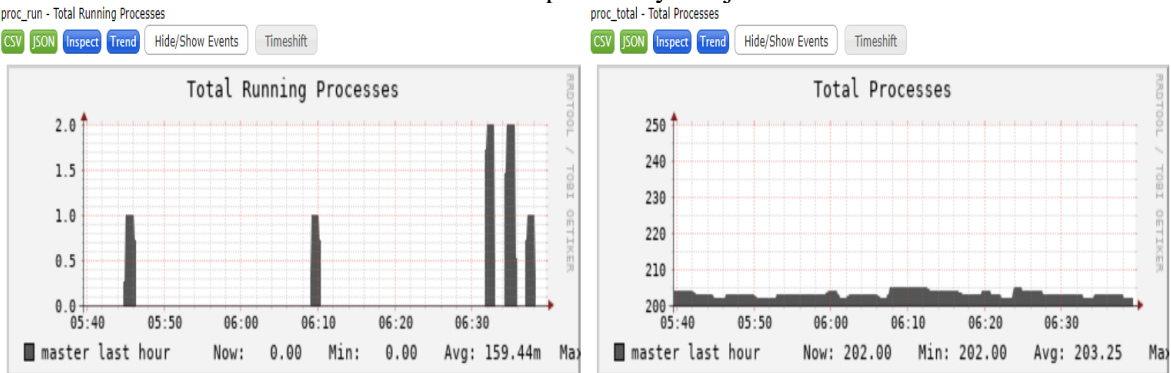
Gráfico 66
Paquetes enviados y recibidos



Fuente: El Autor

Se observa en el siguiente Gráfico 67 que la cantidad de procesos ejecutándose es 159.44m de un total de 203.25m, lo que denota un desempeño eficiente en el comportamiento del grid.

Gráfico 67
Total de procesos y de ejecución



Fuente: El Autor

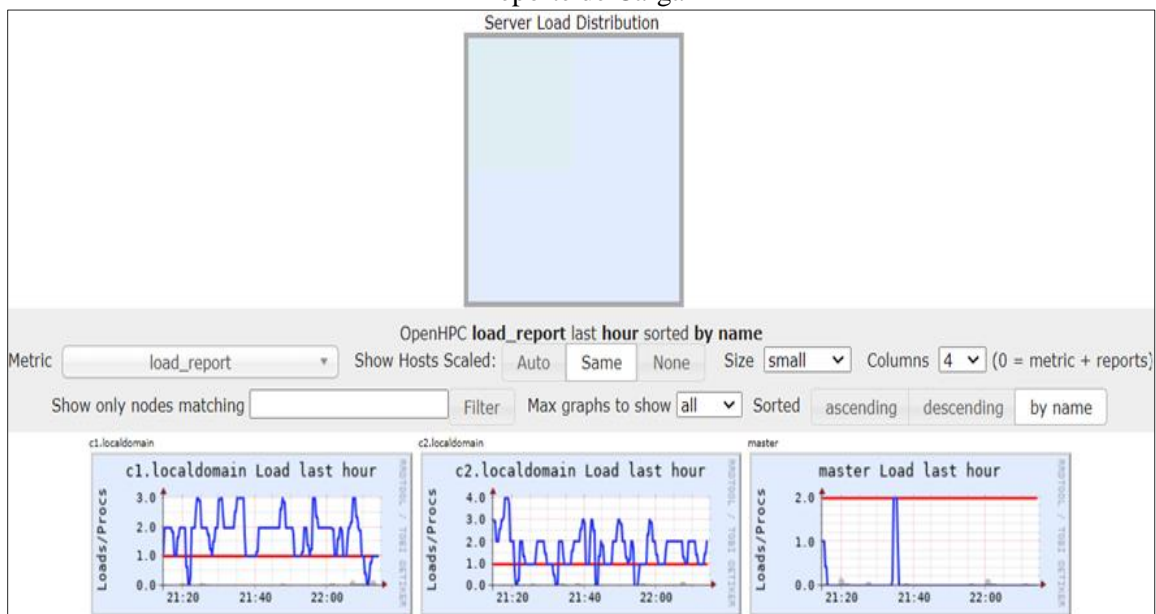
CAPÍTULO V: ANÁLISIS DE RESULTADOS

En el presente apartado se procede con el análisis de los resultados que arrojó las métricas de reportes del grid *TesisMaster*. Los datos de la muestra de estudio de la plataforma HPC estuvo conformada por cada uno de los nodos que conforman el grid construido con la herramienta OpenHPC y gestionada por el entorno de Ganglia.

5.1. Reporte de Carga

El reporte de carga en el Gráfico 68 refleja un ligero incremento en las cargas de trabajo en el nodo C2 con referencia al nodo C1. Donde ambos nodos C1 y C2 comparten la misma cantidad de procesos para un desempeño constante gestionados por el nodo master que realiza a manera de ráfaga. Lo que implica una sobrecarga perpendicular leve en los nodos C1 y C2 respectivamente.

Gráfico 68
Reporte de Carga



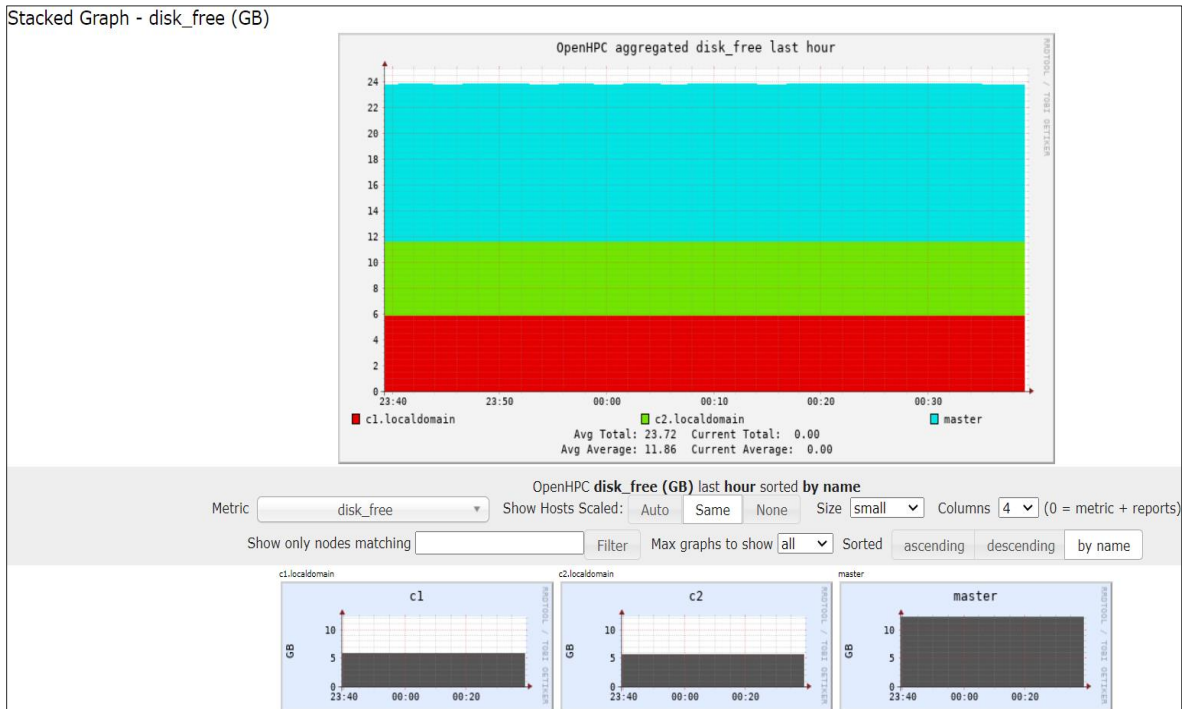
Fuente: El Autor

5.2. Espacio libre en Almacenamiento

Se visualiza en el siguiente Gráfico 69 un total de almacenamiento de 36 GB en todo el grid luego de realizadas las respectivas configuraciones de instalación, se deduce un total disponible de 23.72

GB con un promedio libre de 11.86 GB. El nodo master requiere mayor disponibilidad de almacenamiento por ser el que realiza las ejecuciones del script de aproximación del *número Pi* en el entorno RStudio Server y donde se aloja la plataforma de Ganglia.

Gráfico 69
Almacenamiento libre

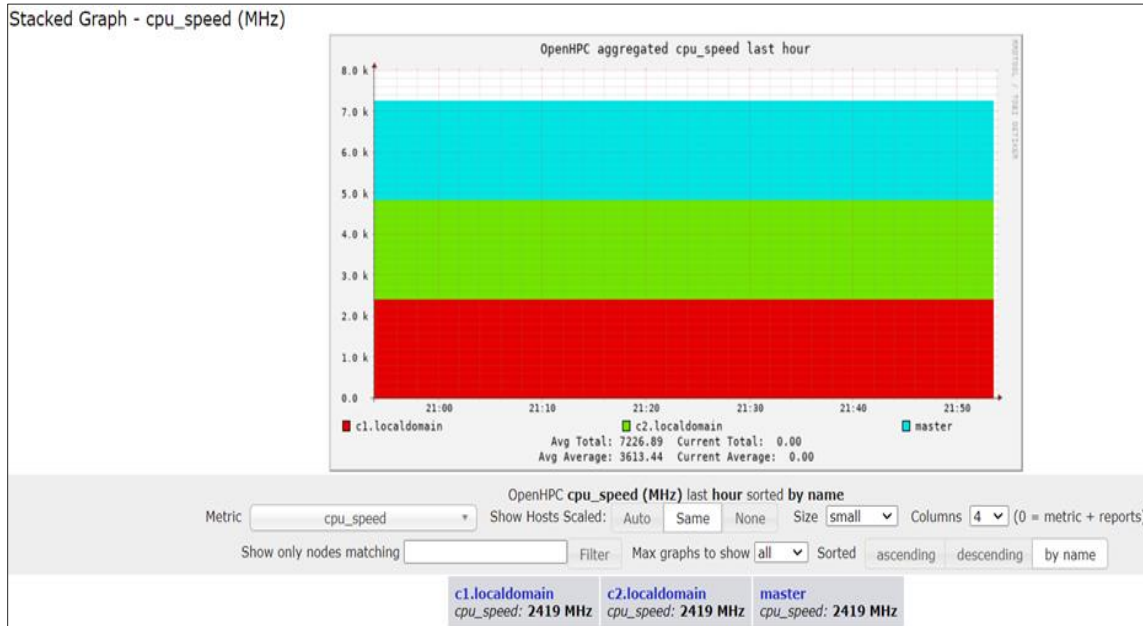


Fuente: El Autor

5.3. Velocidad de Procesamiento

Se refleja un total de velocidad de procesamiento de 7226.89 MHz para todo el grid, donde cada uno de los nodos posee una velocidad estándar de 2419 MHz, lo que facilita el aprovechamiento al máximo de los recursos del host master. Se aprovecha al máximo los recursos porque tiende un comportamiento de aumento en el uso del procesamiento en las cargas de trabajo como se observa en el siguiente Gráfico 70.

Gráfico 70
Velocidad del CPU

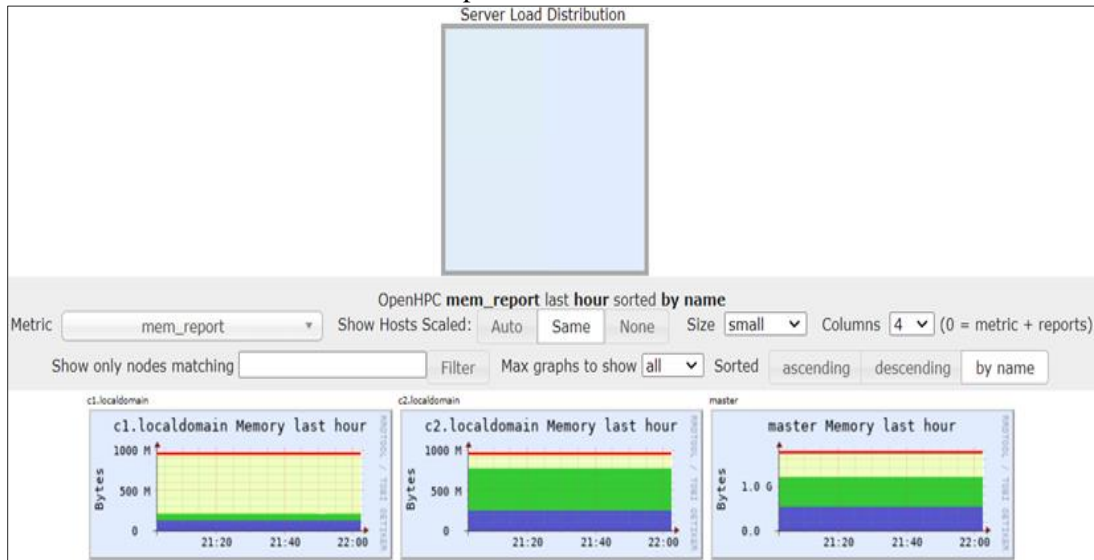


Fuente: El Autor

5.4. Reporte de Memoria

Se muestra en el Gráfico 71 un comportamiento de memoria compartida equitativa en el nodo master para facilitar el almacenamiento de información en la ejecución de procesos, lo que representa un ligero aumento en su memoria cache considerable en el nodo C2. Refleja un compartimiento de información ligeramente reducido al nodo master porque recibe mayor cantidad de información. En contraste, el nodo C1 tiende una mayor disponibilidad de memoria libre y uso compartido para una carga de trabajo reducida en referencia al nodo C2.

Gráfico 71
Reporte de Memoria

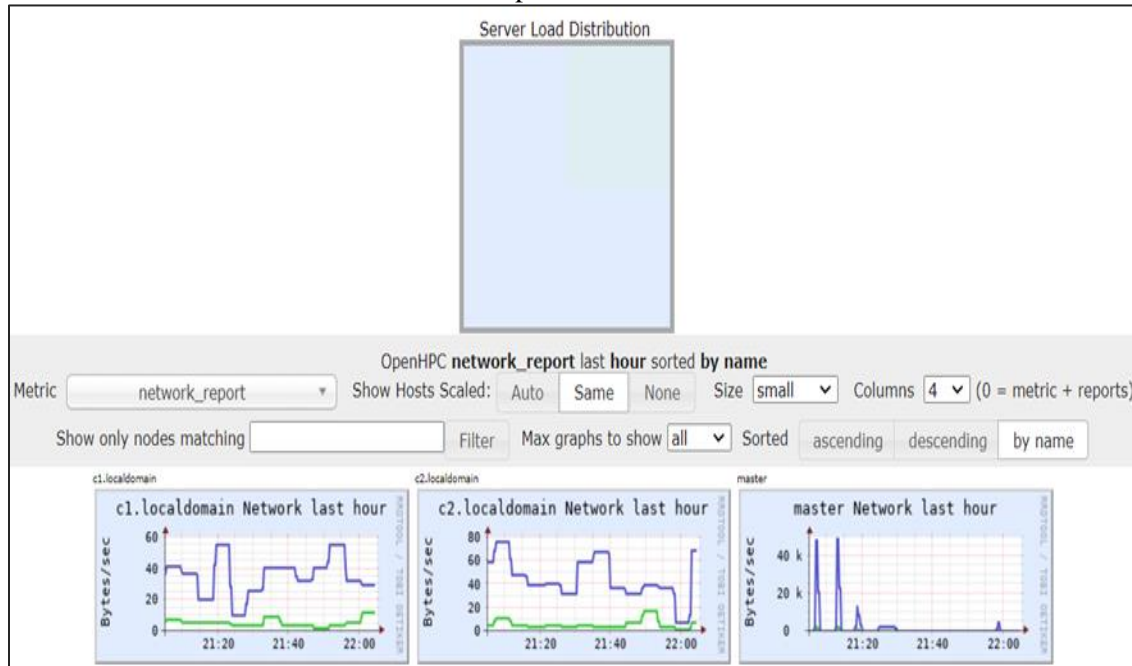


Fuente: El Autor

5.5. Reporte de Red

La red del grid refleja un comportamiento de transferencia de bytes constante entre los nodos C1 y C2 que muestra una mayor tasa de transferencia de 60 Kb/s en el nodo C2 con respecto al nodo C1 que realiza una transferencia de 40 Kb/s. Mientras en el nodo master se visualiza un envío de datos descendente, pero con un ligero incremento conforme avanza el envío de bytes que se observa en el siguiente Gráfico 72.

Gráfico 72
Reporte de Red

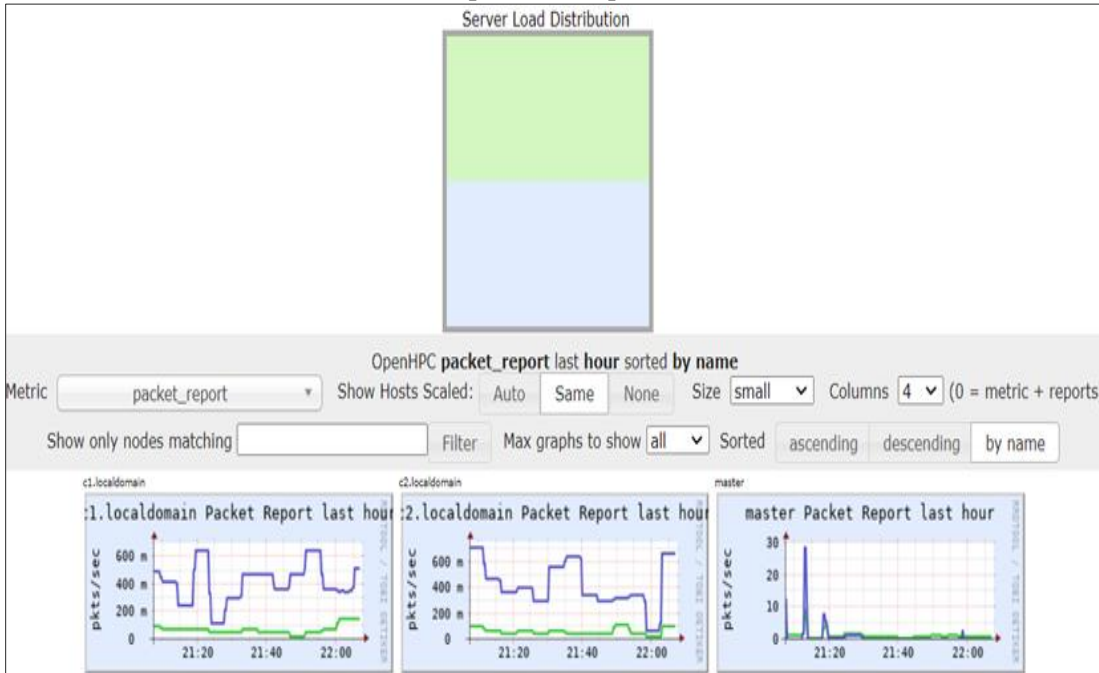


Fuente: El Autor

5.6. Reporte de Paquetes

La transferencia de bytes reflejado en el Gráfico 72 se compara de manera perpendicular con la recepción de paquetes. Arroja una ligera variación descendente de paquetes en el nodo C1 con respecto al nodo C2, pero con una relevante recuperación en el envío de paquetes. El nodo master tiende a un envío de paquetes de manera reducida hacia los nodos C1 y C2 que se puede divisar en el Gráfico 73.

Gráfico 73
Reporte de Paquetes



Fuente: El Autor

CONCLUSIONES Y RECOMENDACIONES

Conclusiones

- La HPC motiva a implementar centros de alto rendimiento en las distintas organizaciones a nivel mundial porque proporciona una ventaja competitiva en el área de investigación científica. Realiza velozmente mejoras en la ejecución de tareas debido a su procesamiento paralelo. La implementación de un centro HPC implica un grado de inversión alta en recursos en el plano económico y profesional, lo que compromete un aprendizaje constante en el manejo de un gran volumen de datos que las organizaciones deben considerar.
- Con la información recabada se concluye que las plataformas HPC poseen servidores de cómputo conectados en red que se llaman nodos, sus requerimientos de computación, red y almacenamiento proveen datos hacia y desde los servidores. Su alto rendimiento influye en la ejecución de tareas en computación paralela desde servidor hacia los nodos que conforman el clúster. Genera un beneficio significativo en la reducción de tiempo en la ejecución de cargas de trabajo, prontitud en los cálculos matemáticos que deben realizarse para optimizar los recursos con la finalidad de aplicarlo en el campo manufacturero, gubernamental, medico, empresarial, etc.
- Mediante la tecnología de virtualización se consiguió aprovechar la ejecución de varias máquinas virtuales en un solo procesador. Con la herramienta OpenHPC que provee una serie de componentes se pudo construir un clúster que facilitó el acceso para gestionar herramientas de aprovisionamiento y monitoreo la plataforma HPC. Con los componentes facilitados por OpenHPC se logró hacer uso de la aplicación Ganglia que sirvió para el análisis de desempeño del grid TesisMaster.
- A través de la aplicación Ganglia Monitoring se consiguió obtener los resultados para

realizar el análisis de desempeño de la plataforma HPC y supervisar el comportamiento del grid. Lo que permitió verificar las estadísticas presentadas en los parámetros de almacenamiento, red y procesamiento. Con Ganglia también se hizo un análisis minucioso sobre un resumen de métricas proporcionadas por la aplicación porque favorece a las organizaciones que poseen sistemas HPC para monitorear y evaluar el desempeño de sus clústeres.

- Con la ejecución del script de *número Pi* se logró la simulación de aproximación del punto flotante en el desempeño de la plataforma HPC. El entorno RStudio server facilitó su verificación de aproximación mediante su librería paralela mclapply para proceder con el análisis de desempeño del grid en la plataforma de Ganglia.

Recomendaciones

- Con el avance tecnológico de información que se incrementa de manera exponencial, se recomienda a las organizaciones de investigación en Latinoamérica y Ecuador implementar sistemas de HPC para fomentar el avance tecnológico en el ámbito investigativo y científico a fin de brindar soluciones óptimas en favor de la humanidad en general.
- Es recomendable considerar que las implementaciones en sistemas HPC conlleva una inversión económica muy significativa de recursos. Pero a su vez, las organizaciones que logren su implementación, generarán una ventaja competitiva en el campo científico y tecnológico que se podrá reflejar en las soluciones HPC que brinden a la comunidad.
- Se recomienda optar por la informática HPC en RHEL debido a que brinda una plataforma confiable y eficiente al momento de acceder a las diversas herramientas que ofrece OpenHPC porque implica un ahorro de coste considerable al momento de construir un clúster en una herramienta opensource.
- Es recomendable recurrir a la aplicación de Ganglia Monitoring porque permite supervisar y evaluar de manera oportuna el desempeño del grid, con la finalidad de realizar un análisis sobre que nodo se encuentra disponible o está haciendo uso de recursos de cpu y memoria. Con los datos proporcionados por Ganglia se puede obtener un estado de comportamiento del grid en el clúster de OpenHPC.
- Se recomienda el uso de RStudio Server porque ofrece una interfaz amigable para el usuario y poder realizar simulaciones de algoritmos basados en HPC. De manera adicional se puede optar por la simulación en la consola de comandos de CentOS para verificar la aproximación del *número Pi*.

TRABAJOS A FUTURO

En un entorno físico óptimo donde se instale un centro HPC se propondría plantear un modelo de servidores de almacenamiento para cargas de trabajo que pueda ser usado para futuras consultas o referencias para trabajos en HPC de la PUCE.

Mediante la proyección de la HPC se la podría implementar en un centro HPC de la PUCE con las debidas planificaciones que conlleva en la inversión de recursos económicos y tecnológicos para su puesta en marcha que se requiera. Se deberá adquirir diversos equipos de hardware y software que se ofertan en el mercado tales como, servidores HPC, chasis de rack, equipos de interconexión de redes, procesadores y aceleradores gráficos RAM y equipos de almacenamiento.

Los proyectos en HPC podrían incorporar herramientas de monitoreo como ganglia u otras herramientas disponibles en el mercado para evaluar minuciosamente en el comportamiento de los clústeres en tiempo real. Con esta herramienta se alcanzaría a realizar un análisis para la recolección de datos sobre el comportamiento de los grid que se vayan a implementar a futuro. Al ser una plataforma HPC escalable se podrían añadir más nodos conforme siga expandiéndose el desempeño del grid.

Con los conocimientos adquiridos sobre servidores HPC los desarrolladores de proyectos de software podrían realizar pruebas y administrar los cálculos científicos de alto rendimiento. Se podría implementar clústeres de servidores HPC para generar aportes significativos a la comunidad científica en los diversos campos de aplicación que requiera su uso.

REFERENCIAS

Alvear, J. O. (13 de 07 de 2018). *HPC con R para Investigadores*.

<https://bookdown.org/content/98faea5e-842f-47ba-be83-493572e28e7b/paralelizacion-con-r-en-el-cluster-parallel.html>

Andrés, B. A. (2021). Solving Scheduling Problems with Ant Colony Optimization

Metaheuristic and High Performance Computing. *Solving scheduling problems with ant colony optimization metaheuristic and high performance computing*. Universidad YACHAY TECH , Urcuqui , Ecuador .

<https://doi.org/http://repositorio.yachaytech.edu.ec/handle/123456789/375>

CARLA. (2023). *La Conferencia Latinoamericana de Computación de Alto Rendimiento llega a Colombia*. <https://www.carla2023.org/>

Corral García, J. (2021). *Paralelización automática y estrategias de desarrollo del código eficiente para aumentar el rendimiento en centros de supercomputación [Tesis Doctoral, Universidad de Extremadura]*. Repositorio Institucional.

<http://hdl.handle.net/10662/12693>

DataCenterMarket. (5 de 1 de 2022). *Conoce el laboratorio de innovación de HPC e IA de Dell Technologies*. <https://www.datacentermarket.es/mercado/hpc/1130512032609/conoce-laboratorio-de-innovacion-de-hpc-ia-de-dell-technologies.1.html>

Fabián Bernal, C. A. (2020). *Programación Paralela*. http://ferestrepoca.github.io/paradigmas-de-programacion/paralela/paralela_teoría/

Fabián Bernal, C. A. (2021). *Programación Paralela*. http://ferestrepoca.github.io/paradigmas-de-programacion/paralela/paralela_teoría/

IBM. (2023). *¿Qué es la computación de alto rendimiento (HPC)?* <https://www.ibm.com/es-es/topics/hpc>

InsideHPC. (2023). *Archives for Industry Segments*. <https://insidehpc.com/category/industry-segments/>

James A. Ang, D. J. (2022). New Horizons for High-Performance Computing. *The IEEE Computer Society*, 7. <https://doi.org/10.1109/MC.2022.3200859>

NLHPC. (2023). *Estado del cluster*. <https://dashboard.nlhpc.cl/>

NVIDIA DEVELOPER. (2023). *Ganglia Monitoring System*. <https://developer.nvidia.cn/ganglia-monitoring-system>

openHPC. (17 de 07 de 2020). *Community building*. <https://openhpc.community/>

Oracle . (2023). *¿Qué es la computación de alto rendimiento, o HPC?* <https://www.oracle.com/cl/cloud/hpc/what-is-hpc/>

RCAB. (2023). *High Performance Computing (HPC)*. <https://about.illinoisstate.edu/rcab/hpc/>

RCAB. (2023). *High Performance Computing (HPC)*. <https://about.illinoisstate.edu/rcab/>

RedCLARA. (2023). *Historia de RedCLARA*. <https://redclara.net/index.php/es/somos/redclara-la-organizacion/historia-de-redclara>

Rivera, B. L. (2017). Análisis de rendimiento de un clúster HPC y, arquitecturas manycore y multicore. *Repositorio Institucional* . UNIVERSIDAD DE CUENCA, Cuenca, Azuay, Ecuador. <https://doi.org/http://dspace.ucuenca.edu.ec/handle/123456789/28554>

TOP 500. (2022). *INTRODUCTION AND OBJECTIVES*. <https://www.top500.org/project/introduction/>

Top500. (11 de 2022). *List of November 2022*. <https://www.top500.org/lists/top500/2022/11/>

USCbiostats. (18 de 02 de 2021). *USC Division of Biostatistics*.

<https://github.com/USCbiostats/slurmr-workshop/blob/master/02-mclapply.R>

Velazquez, J. A. (2017). *Construcción y diseño de un clúster tipo HPC virtualizado [Tesis de maestría, Instituto Politecnico Nacional]*. Repositorio Institucional.

<http://tesis.ipn.mx/handle/123456789/23630>

vmWARE. (2023). *Virtualización de informática de alto rendimiento (HPC)*.

<https://www.vmware.com/es/solutions/high-performance-computing.html>

Yon, G. G. (19 de 03 de 2021). *Workshop on HPC with Slurm, R, and the slurmr package*.

USCbiostats: <https://github.com/USCbiostats/slurmr-workshop>

Yuankun Fu, Y. F. (2022). *Virtualizing High Performance Computing (HPC) on VMware vSphere® 7 Using Intel® Select Solution for HPC*.

<https://core.vmware.com/resource/virtualizing-high-performance-computing-hpc-vmware-vsphere%C2%AE-7-using-intel%C2%AE-select-solution#overview>

ANEXOS

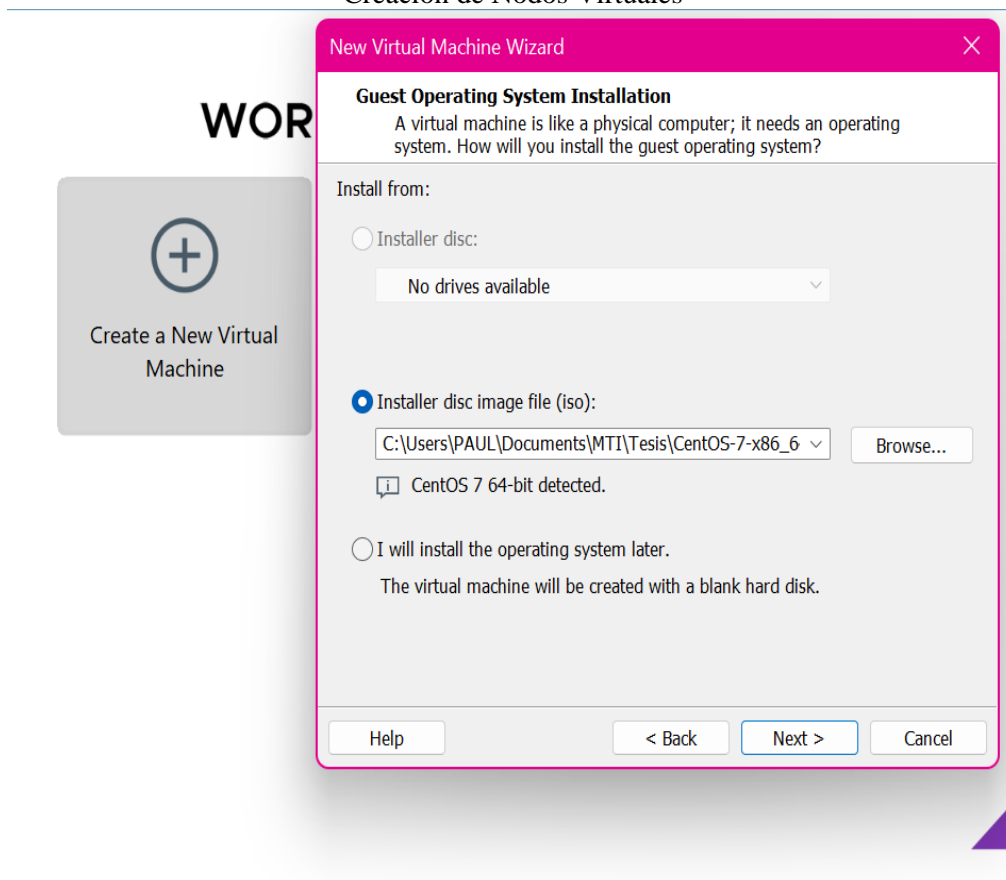
ANEXO 1. Instalación del SO CentOS 7 en vmWARE Workstation Pro 17

En este apartado de ANEXO 1 se procede con los siguientes pasos principales para la instalación del SO CentOS 7 en los nodos TesisMaster, C1 y C2 en las máquinas virtuales.

En la página principal del vmWARE se da click en el botón de **“Create a New Virtual Machine”**.

Luego se busca la imagen iso del correspondiente SO que en este caso es CentOS 7 versión x86_64 Minimal y click en **“Next”** para continuar con la instalación como se observa en el siguiente Gráfico 74.

Gráfico 74
Creación de Nodos Virtuales



Fuente: El Autor

Luego se da nombre a la máquina virtual, como referencia se toma la instalación para el nodo

TesisMaster, posterior se da click en el botón **“Next”** para continuar con la instalación, como se

puede apreciar en el siguiente Gráfico 75.

Gráfico 75
Nombre del Nodo Virtual

New Virtual Machine Wizard

Name the Virtual Machine
What name would you like to use for this virtual machine?

Virtual machine name:
TesisMaster

Location:
C:\Users\PAUL\Documents\Virtual Machines\TesisMaster Browse...

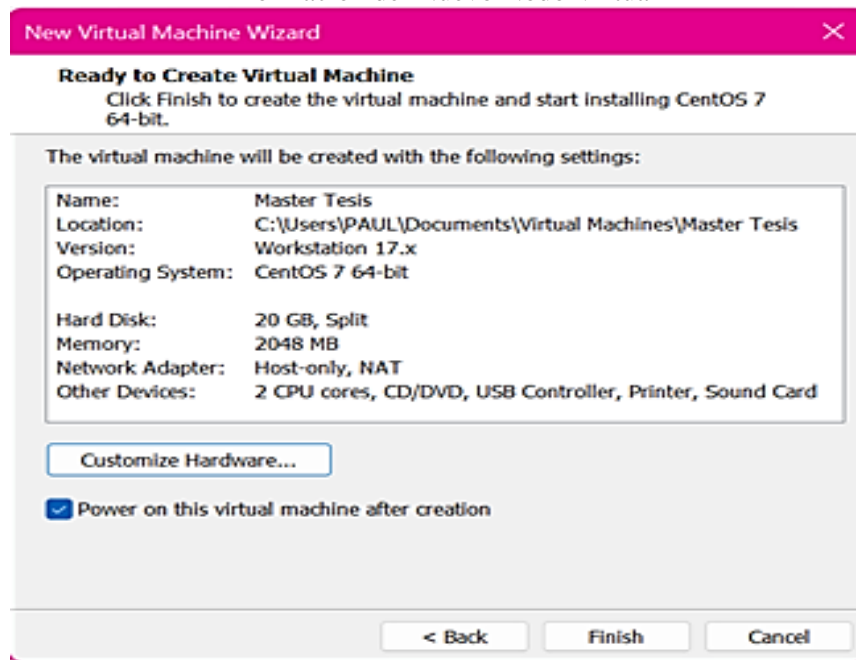
The default location can be changed at Edit > Preferences.

< Back Next > Cancel

Fuente: El Autor

Una vez digitado el nombre de la máquina virtual, se puede visualizar las configuraciones de la misma para luego dar click en **“Finish”** y proceder con la instalación del SO como se puede visualizar en el siguiente Gráfico 76.

Gráfico 76
Información del Nuevo Nodo Virtual



Fuente: El Autor

Ya iniciado el proceso de instalación se realiza la elección del respectivo idioma que en este caso es el *español* y se da click en el botón “*Continuar*” como se puede divisar en el siguiente Gráfico 77.

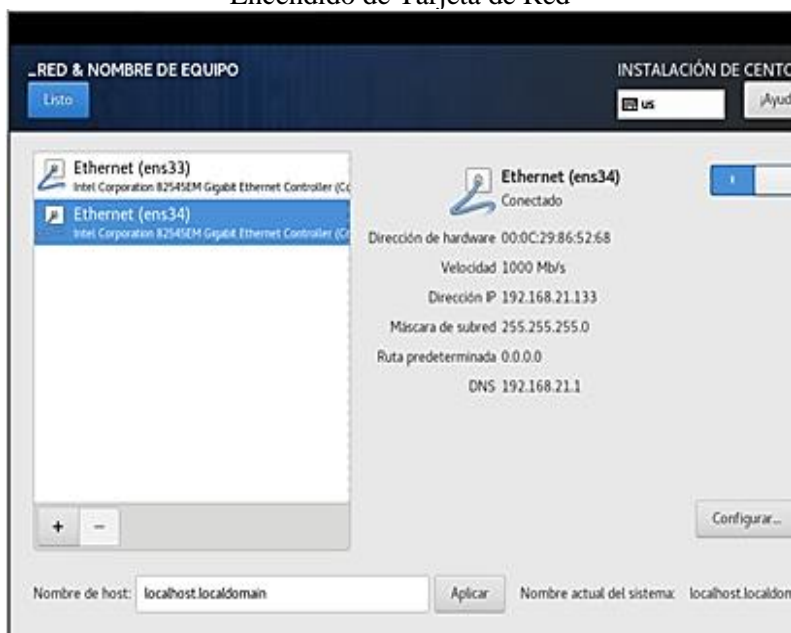
Gráfico 77
Página de Bienvenida CentOS 7



Fuente: El Autor

En la parte correspondiente a **“Resumen de la Instalación”** se puede elegir las opciones de configuración de **“Red & Nombre del Equipo”** para proseguir al encendido de la tarjeta de la red como se puede visualizar en el siguiente Gráfico 78.

Gráfico 78
Encendido de Tarjeta de Red



Fuente: El Autor

Luego se verifica que cada uno de los parámetros de **“Fecha y Hora”**, **“Teclado”** y **“Destino de Instalación”** estén correctamente seleccionados, posterior se da click en el botón **“Empezar Instalación”** como se visualiza en las siguientes imágenes como se puede visualizar en el siguiente Gráfico 79.

Gráfico 79
Resumen Instalación CentOS 7



Fuente: El Autor

Para finalizar la instalación del SO CentOS 7 se digita las credenciales de **“Creación de Usuario”** y **“Contraseña de ROOT”** para el inicio de sesión que finaliza con la instalación de todos los componentes del SO como se puede divisar en el siguiente Gráfico 80.

Gráfico 80
Configuración de CentOS 7



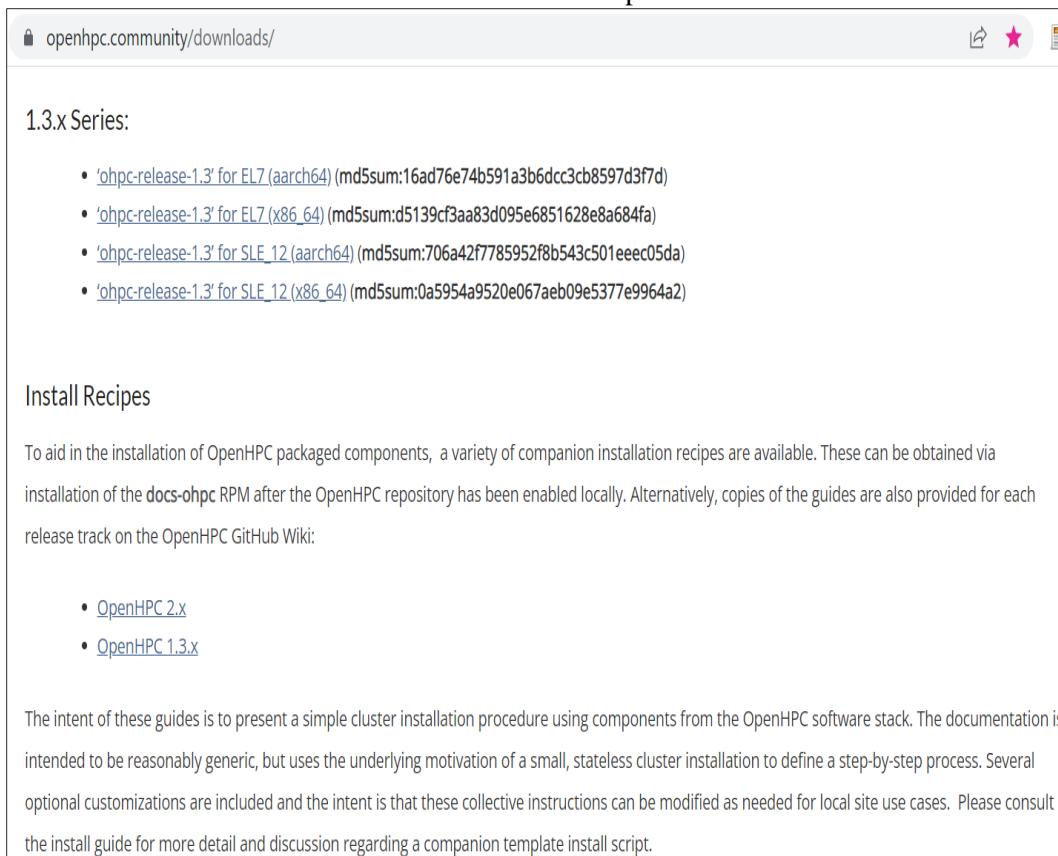
Fuente: El Autor

El mismo procedimiento correspondiente se realiza para los nodos cómputos de *C1* y *C2*, la respectiva configuración del clúster se detalla en el siguiente apartado de ANEXO 2.

ANEXO 2. Instalación y Configuración de OpenHPC

Para este apartado del ANEXO 2 se realiza la instalación y configuración del cluster con el sistema OpenHPC desarrollado en distribución Red Hat Enterprise Linux que se encuentra disponible en la dirección <https://openhpc.community/downloads/>, para el desarrollo del presente proyecto de titulación se trabaja con la versión Open HPC 1.3.9, se da click en la parte de **“OpenHPC 1.3x”** para acceder al manual de instalación como se aprecia en el siguiente Gráfico 81.

Gráfico 81
Selección de versión OpenHPC



Fuente: El Autor

De referencia para la siguiente guía de instalación que se encuentra alojada en el recipiente de GitHub <https://github.com/openhpc/ohpc/wiki/1.3.X> se seleccionó para la versión del SO CentOS 7.7 el archivo en pdf de **“Install Guide (with Warewulf + Slurm)”** como se puede observar en el siguiente Gráfico 82.

Gráfico 82

Selección de Versión de Arquitectura de SO



Fuente: El Autor

La presente guía muestra el procedimiento de instalación de un cluster simple con los componentes sistema Open HPC. Esto representa una serie de comandos requeridos para gestionar el clúster OpenHPC Linux con herramientas y recursos que se detallan a continuación.

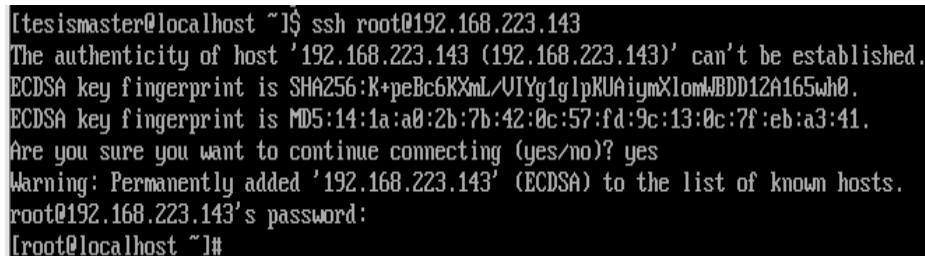
Mediante conexión de *SSH (Secure Shell)* que es un protocolo de seguridad para gestionar el control a través de internet por medio de acceso de autenticación, para la presente configuración se accede a la dirección ip 192.168.223.143 que tiene salida a internet por el NAT como se puede divisar en el siguiente Gráfico 83.

Se accede al ip publica por SSH para realizar la configuración

```
[tesismaster@localhost ~]# ssh root@ 192.168.223.143
```

Gráfico 83

Acceso SSH al Nodo Master



Fuente: El Autor

Para comenzar con la instalación de OpenHPC, primero se define la dirección ip interna del nodo

Se deshabilita el firewall del SO

```
[root@localhost ~]# systemctl disable firewalld  
[root@localhost ~]# systemctl stop firewalld
```

Gráfico 86

Deshabilitación del Firewall

```
[root@localhost ~]# systemctl disable firewalld  
Removed symlink /etc/systemd/system/multi-user.target.wants/firewalld.service.  
Removed symlink /etc/systemd/system/dbus-org.fedoraproject.FirewallD1.service.  
[root@localhost ~]# systemctl stop firewalld  
[root@localhost ~]#
```

Fuente: El Autor

Antes de instalar el repositorio se recomienda actualizar el SO y obtener nuevas actualizaciones mediante los siguientes comandos que se muestran en el siguiente Gráfico 87.

Se actualiza el SO

```
[root@localhost ~]# yum -y update  
[root@localhost ~]# yum -y install wget
```

Gráfico 87

Actualización del SO CentOS 7

```
Dependencias resueltas  
-----  
Package Architecture Versión Repositorio Tamaño  
-----  
Instalando:  
wget x86_64 1.14-18.el7_6.1 base 547 k  
Resumen de la transacción  
-----  
Instalar 1 Paquete  
Tamaño total de la descarga: 547 k  
Tamaño instalado: 2.0 M  
Downloading packages:  
wget-1.14-18.el7_6.1.x86_64.rpm | 547 kB 00:00:02  
Running transaction check  
Running transaction test  
Transaction test succeeded  
Running transaction  
Instalando : wget-1.14-18.el7_6.1.x86_64 1/1  
Comprobando : wget-1.14-18.el7_6.1.x86_64 1/1  
Instalado:  
wget.x86_64 0:1.14-18.el7_6.1  
¡Listo!  
[root@localhost ~]#
```

Fuente: El Autor

Se procede con la instalación del repositorio de OpenHPC que requiere acceso al nodo master por medio del siguiente comando y su proceso completado que se puede observar en el siguiente Gráfico 88.

Se instala OpenHPC en el nodo master

```
[root@localhost ~]# yum -y install
http://build.openhpc.community/OpenHPC:/1.3/CentOS\_7/x86\_64/ohpc-release-1.31.el7.x86\_64.rpm
```

Gráfico 88
Instalación de OpenHPC en el Nodo Master

```
Dependencias resueltas
=====
Package                Arquitectura      Versión          Repositorio      Tamaño
=====
Instalando:
ohpc-release           x86_64           1.3-1.el7       /ohpc-release-1.3-1.el7.x86_64  1.4 k
Instalando para las dependencias:
epel-release           noarch           7-11            extras            15 k
=====
Resumen de la transacción
=====
Instalar 1 Paquete (+1 Paquete dependiente)

Tamaño total: 16 k
Tamaño total de la descarga: 15 k
Tamaño instalado: 26 k
Downloading packages:
epel-release-7-11.noarch.rpm | 15 kB 00:00:00
Running transaction check
Running transaction test
Transaction test succeeded
Running transaction
  Instalando : epel-release-7-11.noarch | 1/2
  Instalando : ohpc-release-1.3-1.el7.x86_64 | 2/2
  Comprobando : ohpc-release-1.3-1.el7.x86_64 | 1/2
  Comprobando : epel-release-7-11.noarch | 2/2

Instalado:
ohpc-release.x86_64 0:1.3-1.el7

Dependencia(s) instalada(s):
epel-release.noarch 0:7-11

¡Listo!
[root@localhost ~]#
```

Fuente: El Autor

Se añade los servicios de aprovisionamiento en el nodo master, este repositorio provee una gama de componentes que servirán de ayuda para el proceso de configuración del clúster. Se lo realiza con los siguientes comandos y su instalación completa se muestra en el siguiente Gráfico 89.

Se instala el aprovisionamiento en el nodo master

```
[root@localhost ~]# yum -y install ohpc-base
[root@localhost ~]# yum -y install ohpc-warewulf
```

Gráfico 89

Instalación de Aprovisionamiento de OpenHPC

```

Instalado:
ohpc-warewolf.x86_64 0:1.3.0-3.1.ohpc.1.3.0

Dependencia(s) instalada(s):
apr.x86_64 0:1.4.0-7.e17
audit-libs-python.x86_64 0:2.8.5-4.e17
dhcp.x86_64 12:4.2.5-83.e17.centos.1
glibc-devel.x86_64 0:2.17-326.e17_9
httpd.x86_64 0:2.4.6-98.e17.centos.7
kernel-headers.x86_64 0:3.10.0-1160.08.1.e17
libdb-devel.x86_64 0:5.3.21-25.e17
libsemanage-python.x86_64 0:2.5-14.e17
mariadb-server.x86_64 1:5.5.68-1.e17
perl-BSD-Resource.x86_64 0:1.29.07-1.e17
perl-DBD-MySQL.x86_64 0:4.023-6.e17
perl-ExtUtils-Install.noarch 0:1.58-299.e17_9
perl-ExtUtils-Manifest.noarch 0:1.61-244.e17
perl-FCGI.x86_64 1:0.74-8.e17
perl-Term-ReadLine-Gnu.x86_64 0:1.26-2.e17
perl-devel.x86_64 4:5.16.3-299.e17_9
pigz.x86_64 0:2.3.4-1.e17
postgresql-libs.x86_64 0:9.2.24-8.e17_9
python-IPy.noarch 0:0.75-6.e17
systemtap-sdt-devel.x86_64 0:4.0-13.e17
tftp-server.x86_64 0:5.2-22.e17
warewolf-common-ohpc.x86_64 0:3.8.1-14.2.ohpc.1.3.6
warewolf-provision-initramfs-x86_64-ohpc.noarch 0:3.8.1-56.1.ohpc.1.3.9
warewolf-provision-server-ipxe-x86_64-ohpc.noarch 0:3.8.1-56.1.ohpc.1.3.9
warewolf-vmf-ohpc.x86_64 0:3.8.1-33.1.ohpc.1.3.7
apr-util.x86_64 0:1.5.2-6.e17
checkpolicy.x86_64 0:2.5-8.e17
gdbm-devel.x86_64 0:1.10-8.e17
glibc-headers.x86_64 0:2.17-326.e17_9
httpd-tools.x86_64 0:2.4.6-98.e17.centos.7
libgroup.x86_64 0:0.41-21.e17
libpcap.x86_64 14:1.5.3-13.e17_9
mariadb.x86_64 1:5.5.68-1.e17
mod_perl.x86_64 0:2.0.11-1.e17
perl-CGI.noarch 0:3.63-4.e17
perl-DBD-Pg.x86_64 0:2.19.3-5.e17_9
perl-ExtUtils-MakeMaker.noarch 0:6.68-3.e17
perl-ExtUtils-ParseXS.noarch 1:3.18-3.e17
perl-Linux-Pid.x86_64 0:0.04-18.e17
perl-Test-Harness.noarch 0:3.28-3.e17
perl-version.x86_64 3:0.99.07-6.e17
policycoreutils-python.x86_64 0:2.5-34.e17
pyparsing.noarch 0:1.5.6-9.e17
setools-libs.x86_64 0:3.3.8-4.e17
tcpdump.x86_64 14:4.9.2-4.e17_7.1
warewolf-cluster-ohpc.x86_64 0:3.8.1-10.5.ohpc.1.3.6
warewolf-ipmi-ohpc.x86_64 0:3.8.1-12.3.ohpc.1.3.6
warewolf-provision-ohpc.x86_64 0:3.8.1-56.1.ohpc.1.3.9
warewolf-provision-server-ohpc.x86_64 0:3.8.1-56.1.ohpc.1.3.9
xinetd.x86_64 2:2.3.15-14.e17

```

Fuente: El Autor

La plataforma HPC necesita sincronizar los relojes mediante el protocolo NTP (por sus siglas en ingles Network Time Protocol) en el enrutamiento de paquetes en la red, para ello se habilita el servicio NTP con el servidor time.haii.or.th en el host master con los siguientes comandos que se muestran en el siguiente Gráfico 90.

```

Se habilita el servicio NTP en el nodo master
[root@localhost ~]# systemctl enable ntpd.service
[root@localhost ~]# echo "server time.haii.or.th" >> /etc/ntp.conf
[root@localhost ~]# systemctl restart ntpd

```

Gráfico 90

Habilitación del Servicio NTP

```

[root@localhost ~]# systemctl enable ntpd.service
Created symlink from /etc/systemd/system/multi-user.target.wants/ntpd.service to /usr/lib/systemd/system/ntpd.service.
[root@localhost ~]# echo "server time.haii.or.th" >> /etc/ntp.conf
[root@localhost ~]# systemctl restart ntpd
[root@localhost ~]#

```

Fuente: El Autor

Se añade los servicios de gestión de recursos en el nodo master, para ello se lo realiza por medio del servidor gestor de cargas de trabajo Slurm para luego añadir una imagen de cómputo mediante

los siguientes comandos que se pueden observar en el siguiente Gráfico 91.

Se añade los servicios de gestión de recursos en el nodo master.

```
[root@localhost ~]# yum -y install ohpc-slurm-server
[root@localhost ~]# perl -pi -e "s/ControlMachine=\S+/ControlMachine=master/"
/etc/slurm/slurm.conf
```

Gráfico 91

Instalación de Gestión de Recursos

```
Instalado:
  ohpc-slurm-server.x86_64 0:1.3.8-3.1.ohpc.1.3.8

Dependencia(s) instalada(s):
hwloc-libs.x86_64 0:1.11.8-4.el7
munge-devel-ohpc.x86_64 0:0.5.13-7.1.ohpc.1.3.7
munge-ohpc.x86_64 0:0.5.13-7.1.ohpc.1.3.7
pmix-ohpc.x86_64 0:2.2.2-9.1.ohpc.1.3.7
slurm-example-configs-ohpc.x86_64 0:18.08.8-4.1.ohpc.1.3.8.1
slurm-perlapi-ohpc.x86_64 0:18.08.8-4.1.ohpc.1.3.8.1
slurm-slurmdbd-ohpc.x86_64 0:18.08.8-4.1.ohpc.1.3.8.1
libtool-ltdl.x86_64 0:2.4.2-22.el7_3
munge-libs-ohpc.x86_64 0:0.5.13-7.1.ohpc.1.3.7
pdsh-mod-slurm-ohpc.x86_64 0:2.33-97.1.ohpc.1.3.7
slurm-devel-ohpc.x86_64 0:18.08.8-4.1.ohpc.1.3.8.1
slurm-ohpc.x86_64 0:18.08.8-4.1.ohpc.1.3.8.1
slurm-slurmctld-ohpc.x86_64 0:18.08.8-4.1.ohpc.1.3.8.1

¡Listo!
[root@localhost ~]# perl -pi -e "s/ControlMachine=\S+/ControlMachine=master/" /etc/slurm/slurm.conf
[root@localhost ~]#
```

Fuente: El Autor

Se actualiza los archivos de configuración de Warewulf para que trabaje en CentOS 7, luego se configura la interfaz de red interna del nodo master y habilitarla para su aprovisionamiento como se detalla con los siguientes comandos en el siguiente Gráfico 92.

Configuración de interfaz interna.

```
[root@localhost ~]# perl -pi -e "s/device = eth1/device = ens33/" /etc/warewulf/provision.conf
```

Habilitar el servicio tftp para la distribución de imagen en el nodo de cómputo.

```
[root@localhost ~]# perl -pi -e "s/^\s+disable\s+= yes/ disable = no/" /etc/xinetd.d/tftp
```

Habilitar la interfaz interna para aprovisionamiento.

```
[root@localhost ~]# ifconfig ens33 192.168.223.142 netmask 255.255.255.0 up
```

Gráfico 92

Configuración de Interfaz de Red

```
[root@localhost ~]# perl -pi -e "s/device = eth1/device = emp0s3/" /etc/warewulf/provision.conf
[root@localhost ~]# perl -pi -e "s/^\s+disable\s+= yes/ disable = no/" /etc/xinetd.d/tftp
[root@localhost ~]# ifconfig ens33 192.168.223.142 netmask 255.255.255.0 up
```

Fuente: El Autor

Se restaura y habilita los servicios de apoyo para aprovisionamiento mediante los siguientes comandos que se puede apreciar en el siguiente Gráfico 93.

Gráfico 93
Restauración y Habilitación de Aprovisionamiento

```
[root@localhost ~]# systemctl restart xinetd
[root@localhost ~]# systemctl enable mariadb.service
[root@localhost ~]# systemctl restart mariadb
[root@localhost ~]# systemctl enable httpd.service
[root@localhost ~]# systemctl restart httpd
[root@localhost ~]# systemctl enable dhcpd.service
Created symlink from /etc/systemd/system/multi-user.target.wants/dhcpd.service to /usr/lib/systemd/system/dhcpd.service.
[root@localhost ~]#
```

Fuente: El Autor

Con los siguientes comandos se define la locación de chroot la versión del CentOS 7.7 para acceder al repositorio externo mirror.centos.org durante el proceso de `wwmkchroot`, una vez finalizada la configuración se puede divisar en el siguiente Gráfico 94.

Define la locación chroot.

```
[root@localhost ~]# export CHROOT=/opt/ohpc/admin/images/centos7.7
```

Construcción inicial de la imagen chroot.

```
[root@localhost ~]# wwmkchroot centos-7 $CHROOT
```

Gráfico 94 Construcción de Imagen CHROOT

```

libdb-utils.x86_64 0:5.3.21-25.e17
libevent.x86_64 0:2.0.21-4.e17
libgcc.x86_64 0:4.8.5-44.e17
libidn.x86_64 0:1.28-4.e17
libmount.x86_64 0:2.23.2-65.e17
libnfsidmap.x86_64 0:0.25-19.e17
libref_array.x86_64 0:0.1.5-32.e17
libsepol.x86_64 0:2.5-10.e17
libssh2.x86_64 0:1.8.0-4.e17
libtirpc.x86_64 0:0.2.4-0.16.e17
libuuid.x86_64 0:2.23.2-65.e17
libxml2.x86_64 0:2.9.1-6.e17.5
lz4.x86_64 0:1.8.3-1.e17
ncurses-libs.x86_64 0:5.9-14.20130511.e17_4
nss-pem.x86_64 0:1.0.3-7.e17
nss-sysinit.x86_64 0:3.44.0-7.e17_7
openldap.x86_64 0:2.4.44-22.e17
p11-kit.x86_64 0:0.23.5-3.e17
pcre.x86_64 0:8.32-17.e17
procps-ng.x86_64 0:3.3.10-28.e17
qrencode-libs.x86_64 0:3.4.1-3.e17
readline.x86_64 0:6.2-11.e17
rpm-libs.x86_64 0:4.11.3-45.e17
systemd.x86_64 0:219-78.e17
sysvinit-tools.x86_64 0:2.88-14.dsfl.e17
xz.x86_64 0:5.2.2-1.e17
libedit.x86_64 0:3.0-12.20121213cvs.e17
libfastjson.x86_64 0:0.99.4-3.e17
libgcrypt.x86_64 0:1.5.3-14.e17
libini_config.x86_64 0:1.3.1-32.e17
libnetfilter_comtrack.x86_64 0:1.0.6-1.e17_3
libpath_utils.x86_64 0:0.2.1-32.e17
libselinux.x86_64 0:2.5-15.e17
libsmartcols.x86_64 0:2.23.2-65.e17
libstdc++.x86_64 0:4.8.5-44.e17
libuser.x86_64 0:0.60-9.e17
libverto.x86_64 0:0.2.5-4.e17
logrotate.x86_64 0:3.8.6-19.e17
ncurses.x86_64 0:5.9-14.20130511.e17_4
nspr.x86_64 0:4.21.0-1.e17
nss-softokn.x86_64 0:3.44.0-8.e17_7
nss-tools.x86_64 0:3.44.0-7.e17_7
openssh.x86_64 0:7.4p1-21.e17
p11-kit-trust.x86_64 0:0.23.5-3.e17
pkgconfig.x86_64 1:0.27.1-4.e17
python.x86_64 0:2.7.5-89.e17
quota.x86_64 1:4.01-19.e17
rpcbind.x86_64 0:0.2.0-49.e17
shared-mime-info.x86_64 0:1.8-5.e17
systemd-libs.x86_64 0:219-78.e17
tcp_wrappers-libs.x86_64 0:7.6-77.e17
xz-libs.x86_64 0:5.2.2-1.e17
libestr.x86_64 0:0.1.9-2.e17
libffi.x86_64 0:3.0.13-19.e17
libgpg-error.x86_64 0:1.12-3.e17
libmnl.x86_64 0:1.0.3-7.e17
libnfnetwork.x86_64 0:1.0.1-4.e17
libpwquality.x86_64 0:1.2.3-5.e17
libsemanage.x86_64 0:2.5-14.e17
libss.x86_64 0:1.42.9-19.e17
libtasn1.x86_64 0:4.10-1.e17
libutempter.x86_64 0:1.1.6-4.e17
libverto-libevent.x86_64 0:0.2.5-4.e17
lua.x86_64 0:5.1.4-15.e17
ncurses-base.noarch 0:5.9-14.20130511.e17_4
nss.x86_64 0:3.44.0-7.e17_7
nss-softokn-freebl.x86_64 0:3.44.0-8.e17_7
nss-util.x86_64 0:3.44.0-4.e17_7
openssl-libs.x86_64 1:1.0.2k-19.e17
pciutils-libs.x86_64 0:3.5.1-3.e17
popt.x86_64 0:1.13-16.e17
python-libs.x86_64 0:2.7.5-89.e17
quota-nls.noarch 1:4.01-19.e17
rpm.x86_64 0:4.11.3-45.e17
sqlite.x86_64 0:3.7.17-8.e17_7.1
systemd-sysv.x86_64 0:219-78.e17
ustr.x86_64 0:1.0.4-16.e17

```

iListo!
[root@localhost ~]#

Fuente: El Autor

Se procede a añadir los componentes de OpenHPC para que el cliente acceda a los recursos de gestión de servicios en el entorno de OpenHPC. La base de chroot instalada es ejecutada por wwmkchroot para modificar la base de aprovisionamiento y acceder a los repositorios, una vez finalizada la instalación se puede apreciar en el siguiente Gráfico 95.

Se instala la base meta-package en el nodo compute.

```
[root@localhost ~]# yum -y --installroot=$CHROOT install ohpc-base-compute
```


Se incluyen módulos en el entorno usuario.

```
[root@localhost ~]# yum -y --installroot=$CHROOT install lmod-ohpc
```

Gráfico 96
Instalación Paquete Slurm

```
Instalado:
ohpc-slurm-client.x86_64 0:1.3.8-3.1.ohpc.1.3.8

Dependencia(s) instalada(s):
hwloc-libs.x86_64 0:1.11.8-4.e17
mariadb-libs.x86_64 1:5.5.68-1.e17
munge-ohpc.x86_64 0:0.5.13-7.1.ohpc.1.3.7
perl.x86_64 4:5.16.3-299.e17_9
perl-Encode.x86_64 0:2.51-7.e17
perl-File-Path.noarch 0:2.09-2.e17
perl-Filter.x86_64 0:1.49-3.e17
perl-HTTP-Tiny.noarch 0:0.833-3.e17
perl-Pod-Escapes.noarch 1:1.04-299.e17_9
perl-Pod-Simple.noarch 1:3.28-4.e17
perl-Scalar-List-Utils.x86_64 0:1.27-248.e17
perl-Storable.x86_64 0:2.45-3.e17
perl-Time-HiRes.x86_64 4:1.9725-3.e17
perl-constant.noarch 0:1.27-2.e17
perl-macros.x86_64 4:5.16.3-299.e17_9
perl-podlators.noarch 0:2.5.1-3.e17
perl-threads-shared.x86_64 0:1.43-6.e17
slurm-contribs-ohpc.x86_64 0:18.08.8-4.1.ohpc.1.3.8.1
slurm-ohpc.x86_64 0:18.08.8-4.1.ohpc.1.3.8.1
slurm-perlapi-ohpc.x86_64 0:18.08.8-4.1.ohpc.1.3.8.1
libtool-ltdl.x86_64 0:2.4.2-22.e17_3
munge-libs-ohpc.x86_64 0:0.5.13-7.1.ohpc.1.3.7
ohpc-filesystem.noarch 0:1.3-26.1.ohpc.1.3.6
perl-Carp.noarch 0:1.26-244.e17
perl-Exporter.noarch 0:5.68-3.e17
perl-File-Temp.noarch 0:0.23.01-3.e17
perl-Getopt-Long.noarch 0:2.48-3.e17
perl-PathTools.x86_64 0:3.40-5.e17
perl-Pod-Perldoc.noarch 0:3.28-4.e17
perl-Pod-Usage.noarch 0:1.63-3.e17
perl-Socket.x86_64 0:2.010-5.e17
perl-Text-ParseWords.noarch 0:3.29-4.e17
perl-Time-Local.noarch 0:1.2300-2.e17
perl-libs.x86_64 4:5.16.3-299.e17_9
perl-parent.noarch 1:0.225-244.e17
perl-threads.x86_64 0:1.87-4.e17
pmix-ohpc.x86_64 0:2.2.2-9.1.ohpc.1.3.7
slurm-example-configs-ohpc.x86_64 0:18.08.8-4.1.ohpc.1.3.8.1
slurm-pam_slurm-ohpc.x86_64 0:18.08.8-4.1.ohpc.1.3.8.1
slurm-slurmd-ohpc.x86_64 0:18.08.8-4.1.ohpc.1.3.8.1

¡Listo!
[root@localhost ~]#
```

Fuente: El Autor

Se añade los drivers al kernel que facilita la comunicación entre los procesos y el hardware de los nodos, como se puede observar en el siguiente Gráfico 97.

Gráfico 97
Instalación del Kernel

```
Instalado:
kernel.x86_64 0:3.10.0-1160.08.1.e17

Dependencia(s) instalada(s):
grubby.x86_64 0:8.28-26.e17
linux-firmware.noarch 0:20200421-00.git78c0348.e17_9

¡Listo!
[root@localhost ~]#
```

Fuente: El Autor

Se instalan los módulos de usuario que permite la carga del software para ejecutarse en el clúster que se visualiza en el siguiente Gráfico 98.

Gráfico 98
Instalación de Módulos de Usuario

```

Instalado:
 lua-bit-ohpc.x86_64 0:8.1.18-6.1.ohpc.1.3.9

Dependencia(s) instalada(s):
 lua-bit-ohpc.x86_64 0:1.0.2-1.1      lua-filesystem-ohpc.x86_64 0:1.6.3-4.1      lua-posix-ohpc.x86_64 0:33.2.1-4.1      tc1.x86_64 1:8.5.13-0.el7
 tcsh.x86_64 0:6.18.01-17.el7_9.1

¡Listo!
[root@localhost ~]#

```

Fuente: El Autor

Se inicializa los servicios de la base de datos para añadir credenciales de acceso ssh por Warewulf al acceso remoto con los siguientes comandos que se pueden apreciar en el siguiente Gráfico 99.

Se inicializa base de datos Warewulf y accesos ssh.

```

[root@localhost ~]# wwininit database
[root@localhost ~]# wwininit ssh_keys

```

Gráfico 99
Iniciación de BD y Credenciales

```

¡Listo!
[root@localhost ~]# wwininit database
database:      Checking to see if RPM 'mysql-server' is installed      NO
database:      Checking to see if RPM 'mariadb-server' is installed    OK
database:      Activating Systemd unit: mariadb
database:      + /bin/systemctl -q enable mariadb.service                OK
database:      + /bin/systemctl -q restart mariadb.service                OK
database:      + mysqladmin --defaults-extra-file=/tmp/0.RPeNMseD5wZX/my.cnf  OK
database:      Database version: UNDEF (need to create database)
database:      + mysql --defaults-extra-file=/tmp/0.RPeNMseD5wZX/my.cnf ware OK
database:      + mysql --defaults-extra-file=/tmp/0.RPeNMseD5wZX/my.cnf ware OK
database:      + mysql --defaults-extra-file=/tmp/0.RPeNMseD5wZX/my.cnf ware OK
database:      Checking binstore kind                                     SUCCESS
Done.
[root@localhost ~]# wwininit ssh_keys
ssh_keys:      Checking ssh keys for root                                  OK
ssh_keys:      Checking root's ssh config                                OK
ssh_keys:      Checking for default RSA host key for nodes              NO
ssh_keys:      Creating default node ssh_host_rsa_key:
ssh_keys:      + ssh-keygen -q -t rsa -f /etc/warewulf/unfs/ssh/ssh_host_rsa OK
ssh_keys:      Checking for default DSA host key for nodes              NO
ssh_keys:      Creating default node ssh_host_dsa_key:
ssh_keys:      + ssh-keygen -q -t dsa -f /etc/warewulf/unfs/ssh/ssh_host_dsa OK
ssh_keys:      Checking for default ECDSA host key for nodes            NO
ssh_keys:      Creating default node ssh_host_ecdsa_key:
ssh_keys:      Checking for default Ed25519 host key for nodes          OK
ssh_keys:      Creating default node ssh_host_ed25519_key:
ssh_keys:      Done.
ssh_keys:      OK
[root@localhost ~]#

```

Fuente: El Autor

Se añade el cliente NFS (por sus siglas en ingles Network File System) que sirve para almacenar archivos en la red, como se observa en el siguiente Gráfico 100.

Se añade cliente NFS de /home y /opt/ohpc/pub a la imagen base

```
[root@localhost ~]# echo "192.168.223.142:/home /home nfs nfsvers=3,nodev,nosuid,noatime 0 0" >> $CHROOT/etc/fstab
[root@localhost ~]# echo "192.168.21.142:/opt/ohpc/pub /opt/ohpc/pub nfs nfsvers=3,nodev,noatime 0 0" >> $CHROOT/etc/fstab
```

Gráfico 100

Incorporación de Cliente NFS

```
[root@master ~]# echo "192.168.223.142:/home /home nfs nfsvers=3,nodev,nosuid,noatime 0 0" >> $CHROOT/etc/fstab
[root@master ~]# echo "192.168.223.142:/opt/ohpc/pub /opt/ohpc/pub nfs nfsvers=3,nodev,noatime 0 0" >> $CHROOT/etc/fstab
[root@master ~]#
```

Fuente: El Autor

Ahora se procede con crear el servidor NFS para que el usuario acceda a los archivos y directorios ubicados en el clúster OpenHPC, como se aprecia en el siguiente Gráfico 101.

Se crea NFS server para compartir el directorio de /home y /opt/ohpc/pub en el nodo master

```
[root@localhost ~]# echo "/home *(rw,no_subtree_check,fsid=10,no_root_squash)" >> /etc/exports
[root@localhost ~]# echo "/opt/ohpc/pub *(ro,no_subtree_check,fsid=11)" >> /etc/exports
[root@localhost ~]# exportfs -a
[root@localhost ~]# systemctl restart nfs-server
[root@localhost ~]# systemctl enable nfs-server
```

Gráfico 101

Creación del Servidor NFS

```
[root@localhost ~]# echo "/home *(rw,no_subtree_check,fsid=10,no_root_squash)" >> /etc/exports
[root@localhost ~]# echo "/opt/ohpc/pub *(ro,no_subtree_check,fsid=11)" >> /etc/exports
[root@localhost ~]# exportfs -a
[root@localhost ~]# systemctl restart nfs-server
[root@localhost ~]# systemctl enable nfs-server
Created symlink from /etc/systemd/system/multi-user.target.wants/nfs-server.service to /usr/lib/systemd/system/nfs-server.service.
[root@localhost ~]#
```

Fuente: El Autor

Se añade el servidor NTP en el nodo master para obtener información en tiempo real del clúster OpenHPC que se puede visualizar en el siguiente Gráfico 102.

Se añade servidor NTP del nodo master hacia los nodos cómputos

```
[root@localhost ~]# echo "server 192.168.223.142" >> $CHROOT/etc/ntp.conf
[root@localhost ~]# chroot $CHROOT systemctl enable ntpd
```

Gráfico 102
Adición de Servidor NTP

```
[root@master ~]# echo "server 192.168.223.142" >> $CHROOT/etc/ntp.conf
[root@master ~]#
```

Fuente: El Autor

Se configura el script perl en los nodos c1 y c2 en los procesos del nombre, particiones, núcleos, etc; para luego habilitar e inicializar los servicios de munge en los demonios de ganglia y slurmctld para gestionarlos, lo que se muestra en el siguiente Gráfico 103.

```
[root@localhost ~]# perl -pi -e "s/^NodeName=(\S+)/NodeName=c[1-2]/" /etc/slurm/slurm.conf
[root@localhost ~]# perl -pi -e "s/^PartitionName=normal Nodes=(\S+)/PartitionName=normal
Nodes=c[1-2]/" /etc/slurm/slurm.conf
[root@localhost ~]# perl -pi -e "s/^Sockets=(\S+)/Sockets=1/" /etc/slurm/slurm.conf
[root@localhost ~]# perl -pi -e "s/^CoresPerSocket=(\S+)/CoresPerSocket=2/"
/etc/slurm/slurm.conf
[root@localhost ~]# perl -pi -e "s/^ThreadsPerCore=(\S+)/ThreadsPerCore=1/"
/etc/slurm/slurm.conf

[root@localhost ~]# perl -pi -e "s/^NodeName=(\S+)/NodeName=c[1-2]/"
$CHROOT/etc/slurm/slurm.conf
[root@localhost ~]# perl -pi -e "s/^PartitionName=normal Nodes=(\S+)/PartitionName=normal
Nodes=c[1-2]/" $CHROOT/etc/slurm/slurm.conf
[root@localhost ~]# perl -pi -e "s/^Sockets=(\S+)/Sockets=1/" $CHROOT/etc/slurm/slurm.conf
[root@localhost ~]# perl -pi -e "s/^CoresPerSocket=(\S+)/CoresPerSocket=2/"
$CHROOT/etc/slurm/slurm.conf
[root@localhost ~]# perl -pi -e "s/^ThreadsPerCore=(\S+)/ThreadsPerCore=1/"
$CHROOT/etc/slurm/slurm.conf

[root@localhost ~]# systemctl enable munge
[root@localhost ~]# systemctl enable slurmctld
[root@localhost ~]# systemctl start munge
[root@localhost ~]# systemctl start slurmctld
[root@localhost ~]# chroot $CHROOT systemctl enable slurmd
```

Gráfico 103
Configuración del Script Perl

```
[root@localhost ~]# perl -pi -e "s/^NodeName=(\S+)/NodeName=c[1-21]/" /etc/slurm/slurm.conf
[root@localhost ~]# perl -pi -e "s/^PartitionName=normal Nodes=(\S+)/PartitionName=normal Nodes=c[1-21]/" /etc/slurm/slurm.conf
[root@localhost ~]# perl -pi -e "s/^Sockets=(\S+)/Sockets=1/" /etc/slurm/slurm.conf
Substitution replacement not terminated at -e line 1.
[root@localhost ~]# perl -pi -e "s/^Sockets=(\S+)/Sockets=1/" /etc/slurm/slurm.conf
[root@localhost ~]# perl -pi -e "s/^CoresPerSocket=(\S+)/CoresPerSocket=2/" /etc/slurm/slurm.conf
[root@localhost ~]# perl -pi -e "s/^ThreadsPerSocket=(\S+)/ThreadsPerSocket=1/" /etc/slurm/slurm.conf
[root@localhost ~]# perl -pi -e "s/^NodeName=(\S+)/NodeName=c[1-21]/" ${CHROOT}/etc/slurm/slurm.conf
[root@localhost ~]# perl -pi -e "s/^PartitionName=normal Nodes=(\S+)/PartitionName=normal Nodes=c[1-21]/" ${CHROOT}/etc/slurm/slurm.conf
[root@localhost ~]# perl -pi -e "s/^Sockets=(\S+)/Sockets=1/" ${CHROOT}/etc/slurm/slurm.conf
[root@localhost ~]# perl -pi -e "s/^CoresPerSocket=(\S+)/CoresPerSocket=2/" ${CHROOT}/etc/slurm/slurm.conf
[root@localhost ~]# perl -pi -e "s/^ThreadsPerCore=(\S+)/ThreadsPerCore=1/" /etc/slurm/slurm.conf
[root@localhost ~]# perl -pi -e "s/^ThreadsPerCore=(\S+)/ThreadsPerCore=1/" ${CHROOT}/etc/slurm/slurm.conf
[root@localhost ~]# systemctl enable munge
[root@localhost ~]# systemctl enable slurmctld
Created symlink from /etc/systemd/system/multi-user.target.wants/slurmctld.service to /usr/lib/systemd/system/slurmctld.service.
[root@localhost ~]# systemctl start munge
[root@localhost ~]# systemctl start slurmctld
[root@localhost ~]# chroot ${CHROOT} systemctl enable slurmd
Created symlink /etc/systemd/system/multi-user.target.wants/slurmd.service, pointing to /usr/lib/systemd/system/slurmd.service.
[root@localhost ~]#
```

Fuente: El Autor

Se incrementa los límites de memoria con la finalidad de mejorar la velocidad de interconexión en las aplicaciones de los usuarios. Estos procesos que se presentan sirven para una mejor ejecución desde el host master hacia los nodos cómputos, también se habilita el módulo Slurm Pam como se puede apreciar en el siguiente Gráfico 104.

Se crea NFS server para compartir el directorio de /home y /opt/ohpc/pub en el nodo master

```
[root@localhost ~]# perl -pi -e 's/# End of file/* soft memlock unlimited\n$&/s' /etc/security/limits.conf
[root@localhost ~]# perl -pi -e 's/# End of file/* hard memlock unlimited\n$&/s' /etc/security/limits.conf
[root@localhost ~]# perl -pi -e 's/# End of file/* soft memlock unlimited\n$&/s' ${CHROOT}/etc/security/limits.conf
[root@localhost ~]# perl -pi -e 's/# End of file/* hard memlock unlimited\n$&/s' ${CHROOT}/etc/security/limits.conf
[root@localhost ~]# echo "account required pam_slurm.so" >> ${CHROOT}/etc/pam.d/ssh
```

Gráfico 104
Servidor NFS para Memoria

```
[root@localhost ~]# perl -pi -e 's/# End of file/* soft memlock unlimited\n$&&/s' /etc/security/limits.conf
[root@localhost ~]# perl -pi -e 's/# End of file/* hard memlock unlimited\n$&&/s' /etc/security/limits.conf
[root@localhost ~]# perl -pi -e 's/# End of file/* soft memlock unlimited\n$&&/s' $CHROOT/etc/security/limits.conf
[root@localhost ~]# perl -pi -e 's/# End of file/* hard memlock unlimited\n$&&/s' $CHROOT/etc/security/limits.conf
[root@localhost ~]# echo "account required pam_slurm.so" >> $CHROOT/etc/pam.d/ssh
[root@localhost ~]#
```

Fuente: El Autor

Se habilita el reenvío de registros del sistema para garantizar el envío de información para que el clúster provea el acceso fácil a los datos y reducir el impacto de almacenamiento en los nodos cómputos como se puede divisar en el siguiente Gráfico 105.

Se realiza la configuración para el nodo master

```
[root@localhost ~]# perl -pi -e "s/^\#\$\$ModLoad imudp/^\#\$ModLoad imudp/" /etc/rsyslog.conf
[root@localhost ~]# perl -pi -e "s/^\#\$\$UDPServerRun 514/^\#\$UDPServerRun 514/"
/etc/rsyslog.conf
[root@localhost ~]# systemctl restart rsyslog
[root@localhost ~]# echo "*.* @192.168.223.142:514" >> $CHROOT/etc/rsyslog.conf
[root@localhost ~]# perl -pi -e "s/^\*\.info/^\*\\.info/" $CHROOT/etc/rsyslog.conf
[root@localhost ~]# perl -pi -e "s/^\authpriv/^\#authpriv/" $CHROOT/etc/rsyslog.conf
[root@localhost ~]# perl -pi -e "s/^\mail/^\#mail/" $CHROOT/etc/rsyslog.conf
[root@localhost ~]# perl -pi -e "s/^\cron/^\#cron/" $CHROOT/etc/rsyslog.conf
[root@localhost ~]# perl -pi -e "s/^\uucp/^\#uucp/" $CHROOT/etc/rsyslog.conf
```

Gráfico 105
Habilitación de Registros del Sistema

```
[root@localhost ~]# perl -pi -e "s/^\#\$\$ModLoad imudp/^\#\$ModLoad imudp/" /etc/rsyslog.conf
[root@localhost ~]# perl -pi -e "s/^\#\$\$UDPServerRun 514/^\#\$UDPServerRun 514/" /etc/rsyslog.conf
[root@localhost ~]# systemctl restart rsyslog
[root@localhost ~]# echo "*.* @192.168.21.141:514" >> $CHROOT/etc/rsyslog.conf
[root@localhost ~]# perl -pi -e "s/^\*\.info/^\*\\.info/" $CHROOT/etc/rsyslog.conf
[root@localhost ~]# perl -pi -e "s/^\authpriv/^\#authpriv/" $CHROOT/etc/rsyslog.conf
[root@localhost ~]# perl -pi -e "s/^\mail/^\#mail/" $CHROOT/etc/rsyslog.conf
[root@localhost ~]# perl -pi -e "s/^\cron/^\#cron/" $CHROOT/etc/rsyslog.conf
[root@localhost ~]# perl -pi -e "s/^\uucp/^\#uucp/" $CHROOT/etc/rsyslog.conf
[root@localhost ~]#
```

Fuente: El Autor

Se procede con la instalación del paquete de Ganglia que monitorea el desempeño del clúster en el nodo master que se aprecia en el siguiente Gráfico 106.

Se instala Ganglia meta-package en el nodo master

```
[root@localhost ~]# yum -y install ohpc-ganglia
```

Se instala Ganglia en los nodos computo

```
[root@localhost ~]# yum -y --installroot=$CHROOT install ganglia-gmond-ohpc
```

Gráfico 106
instalación de Paquetes de Ganglia

```
Instalado:
  ganglia-gmond-ohpc.x86_64 0:3.7.2-26.1.ohpc.1.3.7

Dependencia(s) instalada(s):
  apr.x86_64 0:1.4.8-7.e17                ganglia-ohpc.x86_64 0:3.7.2-26.1.ohpc.1.3.7                libconfuse.x86_64 0:2.7-7.e17

¡Listo!
[root@localhost ~]#
```

Fuente: El Autor

Se instala el demonio gmond de OpenHPC de ganglia en el nodo master que se divide en el siguiente Gráfico 107.

Gráfico 107
Instalación de los Demonios de Ganglia

```
Instalado:
  ohpc-ganglia.x86_64 0:1.3.8-3.1.ohpc.1.3.8

Dependencia(s) instalada(s):
  ganglia-devel-ohpc.x86_64 0:3.7.2-26.1.ohpc.1.3.7      ganglia-gmetad-ohpc.x86_64 0:3.7.2-26.1.ohpc.1.3.7      ganglia-gmond-ohpc.x86_64 0:3.7.2-26.1.ohpc.1.3.7
  ganglia-gmond-python-ohpc.x86_64 0:3.7.2-26.1.ohpc.1.3.7  ganglia-ohpc.x86_64 0:3.7.2-26.1.ohpc.1.3.7      ganglia-web-ohpc.x86_64 0:3.7.2-26.1.ohpc.1.3.7
  libXpm.x86_64 0:3.5.12-2.e17_9                            libconfuse.x86_64 0:2.7-7.e17                        libjpeg-turbo.x86_64 0:1.2.90-8.e17
  libmencached.x86_64 0:1.0.16-5.e17                       libxslt.x86_64 0:1.1.28-6.e17                        libzip.x86_64 0:0.10.1-8.e17
  php.x86_64 0:5.4.16-48.e17                               php-ZendFramework.noarch 0:1.12.20-1.e17             php-bcmath.x86_64 0:5.4.16-48.e17
  php-cli.x86_64 0:5.4.16-48.e17                          php-common.x86_64 0:5.4.16-48.e17                   php-gd.x86_64 0:5.4.16-48.e17
  php-process.x86_64 0:5.4.16-48.e17                     php-xml.x86_64 0:5.4.16-48.e17                       t1lib.x86_64 0:5.1.2-14.e17

¡Listo!
[root@localhost ~]#
```

Fuente: El Autor

Se configura el receptor del demonio gmond de ganglia, luego se añade el nombre del grid que es del TesisMaster y se habilita los servicios de los demonios de ganglia para ultimo ingresar desde el navegador web con la ip publica <https://localhost.com/ganglia> que se aprecia en el siguiente Gráfico 108.

Uso de script de configuración para habilitar receptor único del nodo master

```
[root@localhost ~]# cp /opt/ohpc/pub/examples/ganglia/gmond.conf /etc/ganglia/gmond.conf
```

```
[root@localhost ~]# perl -pi -e "s/<sms>/master/" /etc/ganglia/gmond.conf
```

Se añade configuración al nodo cómputo y se coloca el nombre del grid

```
[root@localhost ~]# cp /etc/ganglia/gmond.conf $CHROOT/etc/ganglia/gmond.conf
```

```
[root@localhost ~]# echo "gridname TesisMaster..." >> /etc/ganglia/gmetad.conf
```

Se comienza habilitar los servicios de ganglia

```
[root@localhost ~]# systemctl enable gmond
[root@localhost ~]# systemctl enable gmetad
[root@localhost ~]# systemctl start gmond
[root@localhost ~]# systemctl start gmetad
[root@localhost ~]# chroot $CHROOT systemctl enable gmond
```

Se restaura el servidor web

```
[root@localhost ~]# systemctl try-restart httpd
```

Gráfico 108**Habilitación de los Servicios de Ganglia**

```
[root@localhost ~]# cp /opt/ohpc/pub/examples/ganglia/gmond.conf /etc/ganglia/gmond.conf
cp: ¿sobreescribir «/etc/ganglia/gmond.conf»? (s/n) s
[root@localhost ~]# perl -pi -e "s/<sms>/master/" /etc/ganglia/gmond.conf
[root@localhost ~]# cp /etc/ganglia/gmond.conf $CHROOT/etc/ganglia/gmond.conf
cp: ¿sobreescribir «/opt/ohpc/admin/images/centos7.4/etc/ganglia/gmond.conf»? (s/n) s
[root@localhost ~]# echo "gridname TesisMaster.." >> /etc/ganglia/gmetad.conf
[root@localhost ~]# systemctl enable gmond
Created symlink from /etc/systemd/system/multi-user.target.wants/gmond.service to /usr/lib/systemd/system/gmond.service.
[root@localhost ~]# systemctl enable gmetad
Created symlink from /etc/systemd/system/multi-user.target.wants/gmetad.service to /usr/lib/systemd/system/gmetad.service.
[root@localhost ~]# systemctl start gmond
[root@localhost ~]# systemctl start gmetad
[root@localhost ~]# chroot $CHROOT systemctl enable gmond
Created symlink /etc/systemd/system/multi-user.target.wants/gmond.service, pointing to /usr/lib/systemd/system/gmond.service.
[root@localhost ~]# systemctl try-restart httpd
[root@localhost ~]#
```

Fuente: El Autor

Se añade el ClusterShell basado en librería de Python para poder ejecutar comandos in paralelo a través de los nodos del clúster. Esta configuración define el grid de tres nodos que son el administrador y los nodos cómputos como se puede visualizar en el siguiente Gráfico 109.

Se instala ClusterShell

```
[root@localhost ~]# yum -y install clustershell-ohpc
```

Se configura la definición del nodo

```
[root@localhost ~]# cd /etc/clustershell/groups.d
[root@localhost ~]# mv local.cfg local.cfg.orig
[root@localhost ~]# echo "adm: master" > local.cfg
[root@localhost ~]# echo "compute: c [1-2]" >> local.cfg
[root@localhost ~]# echo "all: @adm,@compute" >> local.cfg
```

Gráfico 109
Instalación de Clustershell

```
[root@localhost ~]# yum -y install clustershell-ohpc
Complementos cargados:fastestmirror
Loading mirror speeds from cached hostfile
* base: centos.ufms.br
* epel: ftp-chi.osuosl.org
* extras: centos.ufms.br
* updates: centos.ufms.br
El paquete clustershell-ohpc-1.8.2-3.1.ohpc.1.3.9.noarch ya se encuentra instalado con su versión más reciente
Nada para hacer
[root@localhost ~]# cd /etc/clustershell/groups.d
[root@localhost groups.d]# mv local.cfg local.cfg.orig
mv: ¿sobrescribir «local.cfg.orig»? (s/n) s
[root@localhost groups.d]# echo "adm: master" > local.cfg
[root@localhost groups.d]# echo "compute: c[1-2]" >> local.cfg
[root@localhost groups.d]# echo "all: @adm,@compute" >> local.cfg
[root@localhost groups.d]# cd
[root@localhost ~]#
```

Fuente: El Autor

Se incluyen los archivos de importación para distribuir las credenciales de usuario a los nodos cómputos como se puede apreciar con los comandos en el siguiente Gráfico 110.

Se añade archivo de configuración de Slurm y credencial criptográfica para la autenticación.

```
[root@localhost ~]# wwsh file import /etc/passwd
[root@localhost ~]# wwsh file import /etc/group
[root@localhost ~]# wwsh file import /etc/shadow
[root@localhost ~]# wwsh file import /etc/slurm/slurm.conf
[root@localhost ~]# wwsh file import /etc/munge/munge.key
```

Gráfico 110
Archivos de Credenciales de Usuario

```
[root@localhost ~]# wwsh file import /etc/passwd
[root@localhost ~]# wwsh file import /etc/group
[root@localhost ~]# wwsh file import /etc/shadow
[root@localhost ~]# wwsh file import /etc/slurm/slurm.conf
[root@localhost ~]# wwsh file import /etc/munge/munge.key
[root@localhost ~]# wwsh file list
group           : rw-r--r-- 1 root root          684 /etc/group
munge.key       : r----- 1 munge munge      1024 /etc/munge/munge.key
passwd          : rw-r--r-- 1 root root          1628 /etc/passwd
shadow          : rw-r----- 1 root root           982 /etc/shadow
slurm.conf      : rw-r--r-- 1 root root          2148 /etc/slurm/slurm.conf
[root@localhost ~]#
```

Fuente: El Autor

Se añade una imagen Bootstrap para el kernel en tiempo de ejecución con procesos de aprovisionamiento por medio de scripts simples, se requieren incluir drivers para la creación del

Bootstrap como se puede divisar en el siguiente Gráfico 111.

Se actualiza drivers desde el kernel.

```
[root@localhost ~]# export WW_CONF=/etc/warewulf/bootstrap.conf
```

```
[root@localhost ~]# echo "drivers += updates/kernel/" >> $WW_CONF
```

Se incluyen drivers overlay.

```
[root@localhost ~]# echo "drivers += overlay" >> $WW_CONF
```

Se construye la imagen bootstrap.

```
[root@localhost ~]# wwbootstrap `uname -r`
```

Gráfico 111

Actualización del Kernel

```
[root@localhost ~]# export WW_CONF=/etc/warewulf/bootstrap.conf
[root@localhost ~]# echo "drivers += updates/kernel/" >> $WW_CONF
[root@localhost ~]# echo "drivers += overlay/" >> $WW_CONF
[root@localhost ~]# wwbootstrap `uname -r`
Number of drivers included in bootstrap: 542
Number of firmware images included in bootstrap: 102
Building and compressing bootstrap
Integrating the Warewulf bootstrap: 3.10.0-1160.88.1.el7.x86_64
Including capability: provision-adhoc
Including capability: provision-files
Including capability: provision-selinux
Including capability: provision-vnfs
Including capability: setup-filestystems
Including capability: setup-ipmi
Including capability: transport-http
Compressing the initramfs
Locating the kernel object
Bootstrap image '3.10.0-1160.88.1.el7.x86_64' is ready
Done.
```

Fuente: El Autor

Se arma una imagen de sistema de archivo de nodo virtual (VNFS por sus siglas en ingles Virtual Node File System) para encapsular el entorno chroot como se aprecia en el siguiente Gráfico 112.

Se añade imagen de sistema de nodo virtual.

```
[root@localhost ~]# wwvnfs -chroot $CHROOT
```

Gráfico 112
Imagen de Archivo VNFS

```
[root@localhost ~]# wwnfs --chroot $CHROOT
Using 'centos7.4' as the VNFS name
Creating VNFS image from centos7.4
Compiling hybridization link tree           : 0.25 s
Building file list                          : 0.77 s
Compiling and compressing VNFS             : 220.27 s
Adding image to datastore                   : 30.75 s
Wrote a new configuration file at: /etc/warewulf/vnfs/centos7.4.conf
Total elapsed time                         : 252.04 s
[root@localhost ~]#
```

Fuente: El Autor

Se registran los archivos en los nodos de aprovisionamiento que define el clúster a través del dispositivo de traducción de información GATEWAYDEV que se observa en el siguiente Gráfico 113.

Se configura la interfaz de aprovisionamiento como dispositivo de red por defecto.

```
[root@localhost ~]# echo "GATEWAYDEV=ens36" > /tmp/network.$$
[root@localhost ~]# wwsh -y file import /tmp/network.$$ --name network
[root@localhost ~]# wwsh -y file set network --path /etc/sysconfig/network --mode=0644 --uid=0
```

Gráfico 113
Configuración de Interfaz de Aprovisionamiento

```
[root@localhost ~]# echo "GATEWAYDEV=ens36" > /tmp/network.$$
[root@localhost ~]# wwsh -y file import /tmp/network.$$ --name network
[root@localhost ~]# wwsh -y file set network --path /etc/sysconfig/network --mode=0644 --uid=0
About to apply 3 action(s) to 1 file(s):

    SET: PATH           = /etc/sysconfig/network
    SET: MODE           = 0644
    SET: UID            = 0

Proceed?
[root@localhost ~]# wwsh file list
group           : rw-r--r-- 1 root root      684 /etc/group
munge.key       : r----- 1 munge munge  1024 /etc/munge/munge.key
network         : rw-r--r-- 1 root root        17 /etc/sysconfig/network
passwd          : rw-r--r-- 1 root root     1628 /etc/passwd
shadow         : rw-r----- 1 root root      982 /etc/shadow
slurm.conf      : rw-r--r-- 1 root root     2148 /etc/slurm/slurm.conf
[root@localhost ~]#
```

Fuente: El Autor

Se añade cada uno de los nodos cómputo C1 y C2 con sus respectivas direcciones ip y mac para que se registren en el grid TesisMaster que se observa en el siguiente Gráfico 114.

Se añaden los nodos al almacenamiento de datos Warewulf.

```
[root@localhost ~]# wwsh -y node new c1 --ipaddr=192.168.23.131 --hwaddr=00:0C:29:29:E2:56 -D ens36
[root@localhost ~]# wwsh -y node new c2 --ipaddr=192.168.223.157 --hwaddr=00:0C:29:C6:E5:C3 -D ens36
[root@localhost ~]# wwsh node list
```

Gráfico 114

Adición de los Nodos Computo



NAME	GROUPS	IPADDR	HWADDR
c1	UNDEF	192.168.223.131	00:0c:29:29:e2:56
c2	UNDEF	192.168.223.157	00:0c:29:c6:e5:c3

Fuente: El Autor

Se define la imagen VNFS, se restaura los servicios de ganglia y dhcp con la finalidad de visualizar el grid TesisMaster en el navegador web como se aprecia en el siguiente Gráfico 115.

Se define la imagen VNFS.

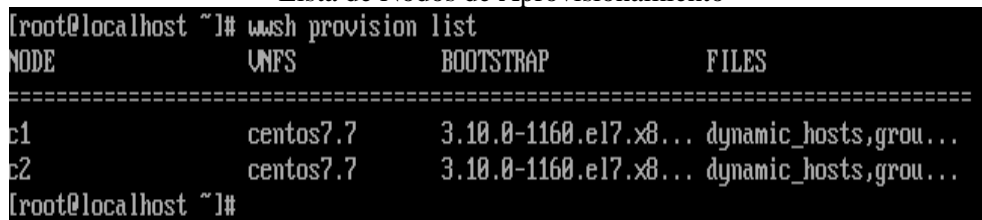
```
[root@localhost ~]# wwsh -y provision set "c1" --vnfs=centos7.7 --bootstrap=`uname -r` --files=dynamic_hosts,passwd,group,shadow,slurm.conf,munge.key,network
[root@localhost ~]# wwsh -y provision set "c2" --vnfs=centos7.7 --bootstrap=`uname -r` --files=dynamic_hosts,passwd,group,shadow,slurm.conf,munge.key,network
```

Se restaura los servicios de ganglia/dhcp.

```
[root@localhost ~]# systemctl restart gmond
[root@localhost ~]# systemctl restart gmetad
[root@localhost ~]# systemctl restart dhcpd
```

Gráfico 115

Lista de Nodos de Aprovisionamiento



NODE	VNFS	BOOTSTRAP	FILES
c1	centos7.7	3.10.0-1160.el7.x86...	dynamic_hosts,grou...
c2	centos7.7	3.10.0-1160.el7.x86...	dynamic_hosts,grou...

Fuente: El Autor

Se verifica los servicios de aprovisionamientos de los nodos registrados en el directorio /etc/hosts que se encuentran en el nodo master como se puede visualizar en el siguiente Gráfico 116.

Gráfico 116

Vista de Nodos de Aprovisionamiento

```
127.0.0.1 localhost localhost.localdomain localhost4 localhost4.localdomain4
::1 localhost localhost.localdomain localhost6 localhost6.localdomain6
192.168.223.142 master
### ALL ENTRIES BELOW THIS LINE WILL BE OVERWRITTEN BY WAREWOLF ###
#
# See provision.conf for configuration paramaters

# Node Entry for node: c1 (ID=14)
192.168.223.131 c1.localdomain c1 c1-ens36.localdomain c1-ens36

# Node Entry for node: c2 (ID=15)
192.168.223.157 c2.localdomain c2 c2-ens36.localdomain c2-ens36
```

Fuente: El Autor

Se crea un usuario de prueba para habilitar trabajos de ejecución en el host master para sincronizar automáticamente los nodos cómputos como se muestra en el siguiente Gráfico 117.

Se crea un usuario de prueba.

```
[root@localhost ~]# useradd -m test
[root@localhost ~]# passwd test
[root@localhost ~]# wvsh file resync
[root@localhost ~]# updatenode compute -F
```

Gráfico 117

Creación de Usuario de Prueba

```
[root@localhost ~]# useradd -m test
[root@localhost ~]# passwd test
Cambiando la contraseña del usuario test.
Nueva contraseña:
Vuelva a escribir la nueva contraseña:
passwd: todos los símbolos de autenticación se actualizaron con éxito.
[root@localhost ~]# wvsh file resync
[root@localhost ~]# updatenode compute -F
```

Fuente: El Autor

Se procede con la instalación de los compiladores de desarrollo MPICC que provee OpenHPC por medio del siguiente comando que se puede ver finalizada su instalación en el siguiente Gráfico 118.

Se instalan compiladores mpicc.

```
[root@localhost ~]# yum -y install openmpi3-gnu7-ohpc mpich-gnu7-ohpc lmod-defaults-gnu7-openmpi3-ohpc
```

Gráfico 118
Instalación de Compiladores

```
Instalado:
  lmod-defaults-gnu7-openmpi3-ohpc.noarch 0:1.3.3-3.2      mpich-gnu7-ohpc.x86_64 0:3.2.1-4.4      openmpi3-gnu7-ohpc.x86_64 0:3.1.0-5.1

Dependencia(s) instalada(s):
  compat-opensm-libs.x86_64 0:3.3.15-3.e17      gnu7-compilers-ohpc.x86_64 0:7.3.0-43.1      infinipath-psm.x86_64 0:3.3-26_g604758e_open.2.e17
  libibmad.x86_64 0:22.4-6.e17_9              libibverbs.x86_64 0:22.4-6.e17_9          libpsm2.x86_64 0:11.2.78-1.e17
  librdmacm.x86_64 0:22.4-6.e17_9             pciutils.x86_64 0:3.5.1-3.e17            prun-ohpc.noarch 0:1.3-4.1.ohpc.1.3.7
  rdma-core.x86_64 0:22.4-6.e17_9

¡Listo!
[root@localhost ~]#
```

Fuente: El Autor

Se procede con la compilación de prueba Hello World que demuestra los procesos enviados por el nodo master hacia los otros nodos. Se accede al clúster en modo superusuario a la prueba que se llama *test*. Como se observa en el siguiente Gráfico 119 mediante los siguientes comandos se realiza el envío de procesos desde host master que se instaló en el proceso de configuración del clúster OpenHPC.

Gráfico 119
Compilación de Prueba Test

```
[root@localhost ~]# su - test
Configuring SSH for cluster access
[test@localhost ~]# mpicc -O3 /opt/ohpc/pub/examples/mpi/hello.c
[test@localhost ~]# prun ./a.out
[prun] Master compute host = localhost
[prun] Resource manager = slurm
[prun] Launch cmd = mpirun ./a.out (family=openmpi3)

Hello, world (2 procs total)
--> Process # 0 of 2 is alive. -> localhost.localdomain
--> Process # 1 of 2 is alive. -> localhost.localdomain
[test@localhost ~]#
```

Fuente: El Autor

ANEXO 3. Configuración de los nodos C1 y C2

En el presente apartado de ANEXO 3 se procede con la configuración de los nodos C1 y C2 para visualizar el desempeño del clúster en la plataforma de Ganglia. El procedimiento de configuración es de igual manera para los nodos C1 y C2.

Se realiza la conexión vía SSH para comenzar con la configuración de los nodos como se observa en el siguiente Gráfico 120.

Se realiza la conexión vía ssh.

```
[C1@c1]# ssh root@192.168.223.131
```

Gráfico 120

Acceso SSH al nodo C1

```
[C1@c1 ~]# ssh root@192.168.223.131
root@192.168.223.131's password:
Last login: Sat May 13 11:49:32 2023 from c1
[root@c1 ~]#
```

Fuente: El Autor

Se procede con la actualización del sistema operativo CentOS 7 con los siguientes comandos que se observa en el siguiente Gráfico 121.

Actualización de CentOS 7.

```
[root@c1 ~]# yum -y update
[root@c1 ~]# yum -y install epel-release
```


Se deshabilita el firewall en los nodos con los siguientes comandos que se muestran a continuación en el Gráfico 123.

Deshabilita el firewall.

```
[root@c1 ~]# systemctl stop firewalld  
[root@c1 ~]# systemctl disable firewalld
```

Gráfico 123

Deshabilitación de Firewall en C1

```
[root@localhost ~]# systemctl disable firewalld  
Removed symlink /etc/systemd/system/multi-user.target.wants/firewalld.service.  
Removed symlink /etc/systemd/system/dbus-org.fedoraproject.FirewallD1.service.  
[root@localhost ~]# systemctl stop firewalld  
[root@localhost ~]#
```

Fuente: El Autor

Se instala el demonio gmond de Ganglia en cada uno de los nodos C1 y C2 con el siguiente comando que se observa en el siguiente Gráfico 124.

Se instala el demonio de gmond.

```
[root@c1 ~]# yum install ganglia-gmond
```

Gráfico 124

Instalación Demonio Gmond en C1

```
Instalado:  
ganglia-gmond.x86_64 0:3.7.2-40.e17  
  
Dependencia(s) instalada(s):  
apr.x86_64 0:1.4.8-7.e17          ganglia.x86_64 0:3.7.2-40.e17          libconfuse.x86_64 0:2.7-7.e17  
  
¡Listo!  
[root@localhost ~]#
```

Fuente: El Autor

Se ingresa al directorio de ganglia para luego acceder a la configuración del demonio gmond por medio del siguiente comando que se aprecia en el siguiente Gráfico 125.

Acceso al directorio de ganglia.

```
[root@c1 ~]# cd /etc/ganglia/
```

Gráfico 125

Ingreso al directorio de Ganglia

```
[root@c1 ~]# cd /etc/ganglia/  
[root@c1 ganglia]# ls  
conf.d gmond.conf  
[root@c1 ganglia]#
```

Fuente: El Autor

Se realiza el ingreso a la configuración del demonio gmond para realizar los cambios en los parámetros en el nombre del clúster que en este caso es el de *OpenHPC*, el `udp_send_channel`, el `udp_rcv_channel` y el `tcp_accept_channel`. Lo cual debe quedar de la siguiente manera como se muestra en los siguientes Gráficos 126, 127 y 128. Se digita el comando `:wq` para guardar los cambios respectivos.

Acceso a la configuración del demonio gmond.

```
[root@c1 ganglia]# vi gmond.conf
```

Gráfico 126

Nombre del Clúster

```
/*  
 * The cluster attributes specified will be used as part of the <CLUSTER>  
 * tag that will wrap all hosts collected by this instance.  
 */  
cluster {  
    name = "OpenHPC"  
    owner = "unspecified"  
    latlong = "unspecified"  
    url = "unspecified"  
}
```

Fuente: El Autor

Se comenta con el signo `#` los parámetros de `bind_hostname` y `mcast_join` para que solo quede habilitado los parámetros de `host`, `port` y `ttd` como se observa en el siguiente Gráfico 127.

Gráfico 127

Configuración Parámetro udp_send_channel

```
/* Feel free to specify as many udp_send_channels as you like. Gmond
   used to only support having a single channel */
udp_send_channel {
    #bind_hostname = yes # Highly recommended, soon to be default.
                        # This option tells gmond to use a source address
                        # that resolves to the machine's hostname. Without
                        # this, the metrics may appear to come from any
                        # interface and the DNS names associated with
                        # those IPs will be used to create the RRDs.
    # mcast_join = 239.2.11.71
    host = master
    port = 8649
    ttl = 1
}
```

Fuente: El Autor

Se comenta con el signo # los parámetros de mcast_join, bind, port, retry_bind, etc como se visualiza en el siguiente Gráfico 128.

Gráfico 128

Configuración Parámetro udp_rcv_channel

```
/* You can specify as many udp_rcv_channels as you like as well. */
udp_rcv_channel {
    # mcast_join = 239.2.11.71
    # port = 8649
    # bind = 239.2.11.71
    # retry_bind = true
    # Size of the UDP buffer. If you are handling lots of metrics you really
    # should bump it up to e.g. 10MB or even higher.
    # buffer = 10485760
}
```

Fuente: El Autor

Se comenta con el signo # los parámetros de port, gzip XML y gzip_output como se aprecia en el siguiente Gráfico 129.

Gráfico 129

Configuración Parámetro tcp_accept_channel

```
/* You can specify as many tcp_accept_channels as you like to share
   an xml description of the state of the cluster */
tcp_accept_channel {
    # port = 8649
    # If you want to gzip XML output
    # gzip_output = no
}
```

Fuente: El Autor

Se habilita el demonio gmond para luego verificar el estado del demonio que se ejecutando de manera correcta como se muestra en el siguiente Gráfico 130.

Se habilita el demonio gmond.

```
[root@c1 ganglia]# systemctl restart gmond  
[root@c1 ganglia]# systemctl enable gmond  
[root@c1 ganglia]# systemctl status gmond
```

Gráfico 130

Activación Demonio Gmond en C1

```
[root@localhost ganglia]# systemctl restart gmond  
[root@localhost ganglia]# systemctl enable gmond  
Created symlink from /etc/systemd/system/multi-user.target.wants/gmond.service to /usr/lib/systemd/s  
ystem/gmond.service.  
[root@localhost ganglia]# systemctl status gmond  
■ gmond.service - Ganglia Monitoring Daemon  
   Loaded: loaded (/usr/lib/systemd/system/gmond.service; enabled; vendor preset: disabled)  
   Active: active (running) since sáb 2023-05-13 11:28:58 -05; 35s ago  
 Main PID: 43567 (gmond)  
   CGroup: /system.slice/gmond.service  
           └─43567 /usr/sbin/gmond  
  
may 13 11:28:58 localhost.localdomain systemd[1]: Starting Ganglia Monitoring Daemon...  
may 13 11:28:58 localhost.localdomain systemd[1]: Started Ganglia Monitoring Daemon.  
[root@localhost ganglia]#
```

Fuente: El Autor

ANEXO 4. Instalación y Configuración de RStudio Server

Para el presente apartado del ANEXO 4 se procede con la instalación y configuración de RStudio Server en el nodo master que servirá como entorno de ejecución para el script de aproximación del número pi desarrollado en lenguaje R. A continuación, se presente los siguientes procesos con los respectivos comandos de instalación.

Previo a la instalación de R se recomienda proceder con la actualización del sistema operativo para que obtenga los paquetes más recientes para una interacción con el IDE de RStudio mediante el siguiente comando mostrado a continuación en el Gráfico 131.

Se actualiza el sistema operativo CentOS 7.

```
[root@localhost ~]# yum install epel-release
```

Gráfico 131
Actualización SO CentOS 7

```
Dependencias resueltas
=====
Package                Arquitectura      Versión           Repositorio       Tamaño
=====
Actualizando:
epel-release           noarch           7-14             epel               15 k
=====
Resumen de la transacción
=====
Actualizar 1 Paquete

Tamaño total de la descarga: 15 k
Is this ok [y/d/N]: y
Downloading packages:
Delta RPMs disabled because /usr/bin/applydeltarpm not installed.
epel-release-7-14.noarch.rpm                | 15 kB  00:00:05
Running transaction check
Running transaction test
Transaction test succeeded
Running transaction
  Actualizando : epel-release-7-14.noarch                1/2
  Limpieza     : epel-release-7-11.noarch                2/2
  Comprobando  : epel-release-7-14.noarch                1/2
  Comprobando  : epel-release-7-11.noarch                2/2
Actualizado:
epel-release.noarch 0:7-14

¡listo!
[root@localhost ~]#
```

Fuente: El Autor

Se realiza la correspondiente instalación del lenguaje R por medio del respectivo comando que se muestra a continuación en el siguiente Gráfico 132.

Se instala el lenguaje R en el nodo master.

```
[root@localhost ~]# yum install R -y
```

Gráfico 132
Instalación de R

```
tk.x86_64 1:8.5.13-6.e17
tk-devel.x86_64 1:8.5.13-6.e17
tre.x86_64 0:0.8.0-18.20140228gitc2f5d13.e17
tre-common.noarch 0:0.8.0-18.20140228gitc2f5d13.e17
tre-devel.x86_64 0:0.8.0-18.20140228gitc2f5d13.e17
ttmkfdir.x86_64 0:3.0.9-42.e17
tzdata-java.noarch 0:2023c-1.e17
unzip.x86_64 0:6.0-24.e17_9
urw-base35-bookman-fonts.noarch 0:20170801-10.e17
urw-base35-c059-fonts.noarch 0:20170801-10.e17
urw-base35-d0500001-fonts.noarch 0:20170801-10.e17
urw-base35-fonts.noarch 0:20170801-10.e17
urw-base35-fonts-common.noarch 0:20170801-10.e17
urw-base35-gothic-fonts.noarch 0:20170801-10.e17
urw-base35-nimbus-mono-ps-fonts.noarch 0:20170801-10.e17
urw-base35-nimbus-roman-fonts.noarch 0:20170801-10.e17
urw-base35-nimbus-sans-fonts.noarch 0:20170801-10.e17
urw-base35-p052-fonts.noarch 0:20170801-10.e17
urw-base35-standard-symbols-ps-fonts.noarch 0:20170801-10.e17
urw-base35-z003-fonts.noarch 0:20170801-10.e17
xdg-utils.noarch 0:1.1.0-0.17.20120809git.e17
xorg-x11-font-utils.x86_64 1:7.5-21.e17
xorg-x11-fonts-Type1.noarch 0:7.5-9.e17
xorg-x11-proto-devel.noarch 0:2018.4-1.e17
xorg-x11-server-utils.x86_64 0:7.7-20.e17
xz-devel.x86_64 0:5.2.2-2.e17_9
zip.x86_64 0:3.0-11.e17
zliblib.x86_64 0:0.13.62-12.e17

¡Listo!
[root@localhost ~]#
```

Fuente: El Autor

Se procede con la descarga del IDE RStudio Server para facilitar una mejor usabilidad del entorno más interactivo con el siguiente comando que se muestra a continuación en el siguiente Gráfico 133.

Se descarga el entorno RStudio Server en el nodo master.

```
[root@localhost ~]# wget https://download2.rstudio.org/rstudio-server-rhel-1.0.136-x86_64.rpm
```

Gráfico 133
Descarga de RStudio Server

```
(root@localhost ~)# wget https://download2.rstudio.org/rstudio-server-rhel-1.0.136-x86_64.rpm
--2023-04-08 13:50:24-- https://download2.rstudio.org/rstudio-server-rhel-1.0.136-x86_64.rpm
Resolviendo download2.rstudio.org (download2.rstudio.org)... 13.226.52.82, 13.226.52.35, 13.226.52.10, ...
Conectando con download2.rstudio.org (download2.rstudio.org)(13.226.52.82):443... conectado.
Petición HTTP enviada, esperando respuesta... 200 OK
Longitud: 41443176 (40M) [application/x-redhat-package-manager]
Grabando a: "rstudio-server-rhel-1.0.136-x86_64.rpm"

100%[=====] 41.443.176 5,34MB/s en 6,6s

2023-04-08 13:50:33 (5,97 MB/s) - "rstudio-server-rhel-1.0.136-x86_64.rpm" guardado [41443176/41443176]

(root@localhost ~)#
```

Fuente: El Autor

Se realiza con la instalación de RStudio Server en el nodo master con el correspondiente comando que se muestra a continuación en el siguiente Gráfico 134.

Se instala el entorno RStudio Server en el nodo master.

```
[root@localhost ~]# yum install --nogpgcheck rstudio-server-rhel-1.0.136-x86_64.rpm -y
```

Gráfico 134
Instalación de RStudio Server

```
Instalado:
  rstudio-server.x86_64 0:1.0.136-1

Dependencia(s) instalada(s):
  psmisc.x86_64 0:22.20-17.e17

¡Listo!
[root@localhost ~]#
```

Fuente: El Autor

Se comprueba que el estado del servicio de RStudio server mediante el siguiente comando que puede visualizarse en el siguiente Gráfico 135.

Se comprueba RStudio Server.

```
[root@localhost ~]# systemctl status rstudio-server.service
```

Gráfico 135
Estado de RStudio Server

```
[root@localhost ~]# systemctl status rstudio-server.service
■ rstudio-server.service - RStudio Server
   Loaded: loaded (/etc/systemd/system/rstudio-server.service; enabled; vendor preset: disabled)
   Active: active (running) since sáb 2023-04-08 13:53:14 -05; 2min 12s ago
   Process: 38975 ExecStart=/usr/lib/rstudio-server/bin/rsrver (code=exited, status=0/SUCCESS)
  Main PID: 38976 (rsrver)
   CGroup: /system.slice/rstudio-server.service
           └─38976 /usr/lib/rstudio-server/bin/rsrver

abr 08 13:53:13 localhost.localdomain systemd[1]: Starting RStudio Server...
abr 08 13:53:14 localhost.localdomain systemd[1]: Started RStudio Server.
[root@localhost ~]# systemctl enable rstudio-server.service
```

Fuente: El Autor

Nota: En caso de que el servicio de RStudio server no es activado se procede para habilitarlo junto con la apertura del puerto 8787 que es del protocolo de control de transmisión TCP mediante los siguientes comandos.

Se habilita RStudio Server.

```
[root@localhost ~]# systemctl enable rstudio-server.service
[root@localhost ~]# firewallcmd --permanent --zone=public --add-port=8787/tcp && firewall-
cmd --reload
```

Se realiza la descarga del paquete de herramientas de desarrollo para R con el siguiente comando que se muestra a continuación en el Gráfico 136.

Descarga de herramientas de desarrollo.

```
[root@localhost ~]# yum groupinstall "Development Tools" -y
```

Gráfico 136
Descarga de Herramientas de R

```
Instalado:
autoconf.noarch 0:2.69-11.e17      automake.noarch 0:1.13.4-3.e17      bison.x86_64 0:3.0.4-2.e17      byacc.x86_64 0:1.9.20130304-3.e17
cscope.x86_64 0:15.8-10.e17      ctags.x86_64 0:5.8-13.e17         diffstat.x86_64 0:1.57-4.e17    doxygen.x86_64 1:1.8.5-4.e17
elfutils.x86_64 0:0.176-5.e17     flex.x86_64 0:2.5.37-6.e17       git.x86_64 0:1.8.3.1-24.e17_9   indent.x86_64 0:2.2.11-13.e17
intltool.noarch 0:0.50.2-7.e17    libtool.x86_64 0:2.4.2-22.e17_3  patch.x86_64 0:2.7.1-12.e17_7  patchutils.x86_64 0:0.3.3-5.e17_9
rcs.x86_64 0:5.9.0-7.e17         rpm-build.x86_64 0:4.11.3-40.e17_9 rpm-sign.x86_64 0:4.11.3-40.e17_9 subversion.x86_64 0:1.7.14-16.e17
swig.x86_64 0:2.0.10-5.e17       systemtap.x86_64 0:4.0-13.e17

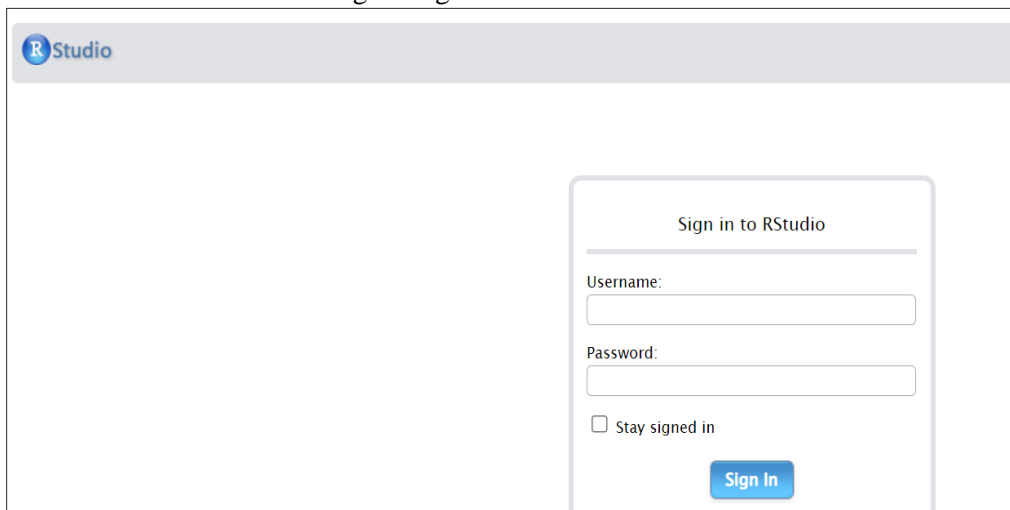
Dependencia(s) instalada(s):
boost-date-time.x86_64 0:1.53.0-20.e17  boost-system.x86_64 0:1.53.0-20.e17  boost-thread.x86_64 0:1.53.0-20.e17
bzip2.x86_64 0:1.0.6-13.e17            dyninst.x86_64 0:9.3.1-3.e17        elfivar-libs.x86_64 0:36-12.e17
gettext-common-devel.noarch 0:0.19.8.1-3.e17  gettext-devel.x86_64 0:0.19.8.1-3.e17  kernel-debug-devel.x86_64 0:3.10.0-1160.08.1.e17
libdwarf.x86_64 0:20130207-4.e17        libmodman.x86_64 0:2.0.1-0.e17       libproxy.x86_64 0:0.4.11-11.e17
m4.x86_64 0:1.4.16-10.e17             mokutil.x86_64 0:15-0.e17          neon.x86_64 0:0.30.0-4.e17
pakchois.x86_64 0:0.4-10.e17           perl-Error.noarch 1:0.17020-2.e17                  perl-Git.noarch 0:1.8.3.1-24.e17_9
perl-TermReadKey.x86_64 0:2.30-20.e17    perl-Thread-Queue.noarch 0:3.02-2.e17                    rsync.x86_64 0:3.1.2-12.e17_9
subversion-libs.x86_64 0:1.7.14-16.e17  systemtap-client.x86_64 0:4.0-13.e17    systemtap-devel.x86_64 0:4.0-13.e17
systemtap-runtime.x86_64 0:4.0-13.e17

¡Listo!
[root@localhost ~]#
```

Fuente: El Autor

Para acceder a RStudio Server desde el nodo master se digita en el navegador web con la dirección <https://192.168.223.142:8787>. Se digita las credenciales de username y password para acceder al entorno de RStudio Server como se muestra a continuación en el siguiente Gráfico 137.

Gráfico 137
Página Ingreso a RStudio Server



Fuente: El Autor